

閱覽用  
ISSN 1346-7328  
国総研資料 第225号  
平成17年1月

# 国土技術政策総合研究所資料

TECHNICAL NOTE of  
National Institute for Land and Infrastructure Management

No.225

January 2005

## がけ崩れによる家屋被災範囲の設定手法に関する研究

小山内信智  
内田 太郎  
曾我部匡敏  
寺田 秀樹

Research on a method of estimating the area of shallow landslide damage to houses

Nobutomo OSANAI  
Taro UCHIDA  
Masatoshi SOKABE  
Hideki TERADA

国土交通省 国土技術政策総合研究所

National Institute for Land and Infrastructure Management  
Ministry of Land, Infrastructure and Transport, Japan

## がけ崩れによる家屋被災範囲の設定手法に関する研究

小山内信智\* 内田太郎\*\* 曽我部匡敏\*\* 寺田秀樹\*\*\*

## Research on a method of estimating the area of shallow landslide damage to houses

Nobutomo OSANAI\*, Taro UCHIDA\*\*, Masatoshi SOKABE\*\*, Hideki TERADA\*\*\*

### 概要

本研究では平成15年に発生したがけ崩れ災害発生箇所のうち15箇所の事例を用いて、がけ崩れにより家屋に被災が生じる範囲(以下、「家屋被災範囲」と呼ぶ)の設定手法を検討した。その結果、被災した家屋の93%が、「土砂災害警戒区域等における土砂災害防止対策の推進に関する法律施行令第2条第2号の規定に基づき国土交通大臣が定める方法等を定める告示」(平成13年3月28日国土交通省告示第332号)に基づいて設定したがけ崩れによる「家屋被災範囲」に含まれることが明らかになった。

キーワード：がけ崩れ、家屋被災範囲、推定手法

### Synopsis

This report studied a method of designing the range of shallow landslide damage to houses using data from 15 actual shallow landslides that occurred in 2003. In this report, the ranges of shallow landslide damage to houses were designed based on the methods stipulated in Ministry of Land, Infrastructure and Management Notification No. 332 (March 28, 2001). This report shows that 93% of houses actually damaged by a shallow landslide were inside the design range.

Keywords: Shallow landslide on steep slopes, Range of shallow landslide damage to houses, estimation method

\* 危機管理技術研究センター砂防研究室室長, Head, Erosion and Sediment Control Division Research Center for Disaster Risk Management

\*\* 危機管理技術研究センター砂防研究室, Erosion and Sediment Control Division Research Center for Disaster Risk Management

\*\*\*国土交通省砂防部保全課保全調整官, Sabo Department, Ministry of Land, Infrastructure and Transport (前 砂防研究室室長,)



## 目 次

|                          |    |
|--------------------------|----|
| 1. はじめに                  | 1  |
| 2. 家屋被災範囲の算出手法           | 2  |
| 3. 災害実態を用いた家屋被災範囲の妥当性の検討 | 7  |
| 4. 結論                    | 16 |
| 卷末資料                     | 18 |

## 1. はじめに

土砂災害の防止・軽減を図るために対策を実施することは緊急の課題である。昭和 57 年から平成 14 年までの土砂災害による死者・行方不明者の合計は 1099 名で、そのうちがけ崩れによる死者・行方不明者は 587 名である(社団法人全国治水砂防協会、2003)。一方、全国でがけ崩れによる災害発生の危険がある急傾斜地崩壊危険箇所は 33 万箇所あまりある(社団法人全国治水砂防協会、2003)。そこで、がけ崩れによる被害を防止・軽減するためには、構造物による「ハード対策」とがけ崩れによる危険場所からの避難といった「ソフト対策」を組み合わせていくことが重要となる。

平成 13 年には、「土砂災害警戒区域等における土砂災害防止対策の推進に関する法律」が施行され、土石流等によって建築物の損壊が生じ住民等の身体に危害が生じるおそれのある土地の区域において一定の開発行為の制限や建築物の構造が規制されるようになった。このような開発行為の制限や建築物の構造の規制をするにあたっては、がけ崩れなどの土砂移動により建築物の損壊の恐れのある範囲を特定する必要がある。これまで、がけ崩れの土砂の到達範囲に関しては、実績データに基づく統計的研究(反町、1977; 門間ら、1999 など)や物理的な崩壊土砂の運動機構に準拠した方法(芦田ら、1984; 宮本、2002; 若井ら、2004 など)などの手法が提案されてきた。一方、全国にある膨大な危険箇所において、がけ崩れによる土砂移動により建築物の損壊の恐れのある範囲を設定するに当たっては、「手法の簡易さ」と「精度の高さ」を併せ持つ必要がある。このような観点から、「土砂災害警戒区域等における土砂災害防止対策の推進に関する法律施行令第 2 条第 2 号の規定に基づき国土交通大臣が定める方法等を定める告示」(平成 13 年 3 月 28 日国土交通省告示第 332 号)(以下、「告示」という)がなされ、現在、土砂災害警戒区域・特別警戒区域図が作成されつつある(例えば、広島県 <http://www.sabo.pref.hiroshima.jp/>)。

そこで、本資料では、平成 15 年度に発生したがけ崩れ災害の事例に対し、告示に基づきがけ崩れによる家屋の被災範囲を推定し、同手法を用いる上での留意点等の整理を行った結果を報告する。

## 2. 家屋被災範囲の算出手法

本資料では、寺田・水野(2003)（土石流による家屋被災範囲の設定手法に関する研究、国土技術政策総合研究所資料、70、146pp.）に従い、土砂災害の恐れのある地域の中で家屋が被災する区域を「家屋被災範囲」とする。また、本資料では、「家屋被災範囲」の設定は、告示に基づき行うこととする。

### 2.1 がけ崩れによる家屋被災範囲の設定の流れ

家屋被災範囲を設定するにあたって検討する力（急傾斜地の崩壊により建築物に作用する力）は、図2.1に示すように土石等の移動により建築物に作用すると想定される力（以下「移動による力」という）と土石等の堆積によって生ずる力（以下「堆積による力」という）の2つである。この2つの力のうち、いずれか1つでも、建築物が住民等の生命又は身体に著しい危害が生ずるおそれのある破損を生ずることなく崩壊土砂の移動又は堆積による力に耐えることのできる力（以下、「建築物の耐力」）を上回る区域を「家屋被災範囲」とする。

なお、建築物の耐力は土石等の移動又は堆積による力が建築物に作用する場合の土石等の高さに応じて決まるものである。また、急傾斜地の崩壊の場合、作用する力の分布の形は、移動の力は矩形（深さ方向に等分布）、堆積の力は三角形となる。このため、通常の建築物の耐力は、移動の場合と堆積の場合で各々作用する土石等の高さに応じて異なることとなる。

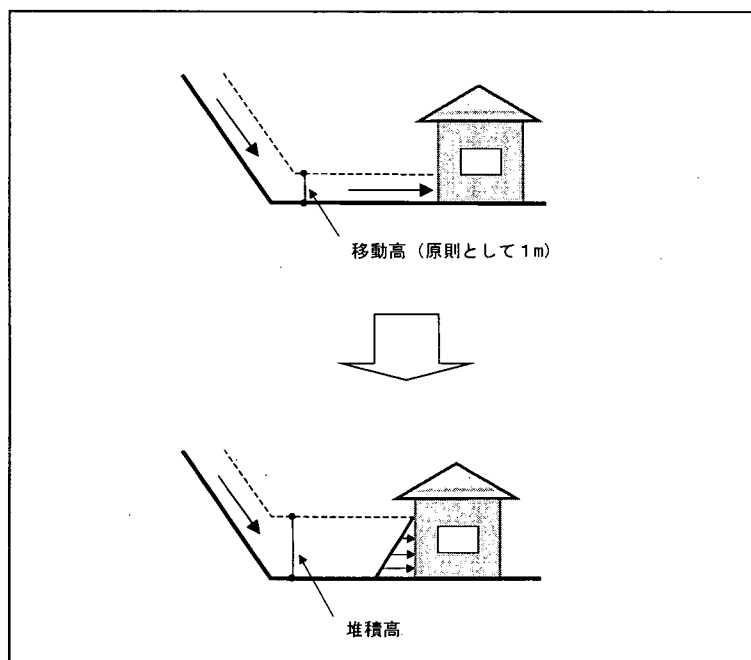


図 2.1 急傾斜地の崩壊により生じる力

がけ崩れによる家屋被災範囲の設定は以下の(1)~(7)のとおりで、図2.2に示す。

- (1) 地形の把握
- (2) 想定される崩壊による土石等の移動の高さ、堆積幅を設定する。
- (3) 想定される急傾斜地の崩壊による土石等の土質定数を設定する。
- (4) がけ下端からの距離と移動による力および堆積による力の関係の算出
- (5) 移動による力が建築物の耐力を上回る土地の範囲の設定
- (6) 堆積による力が建築物の耐力を上回る土地の範囲の設定
- (7) (5)、(6)に基づく、「家屋被災範囲」の設定

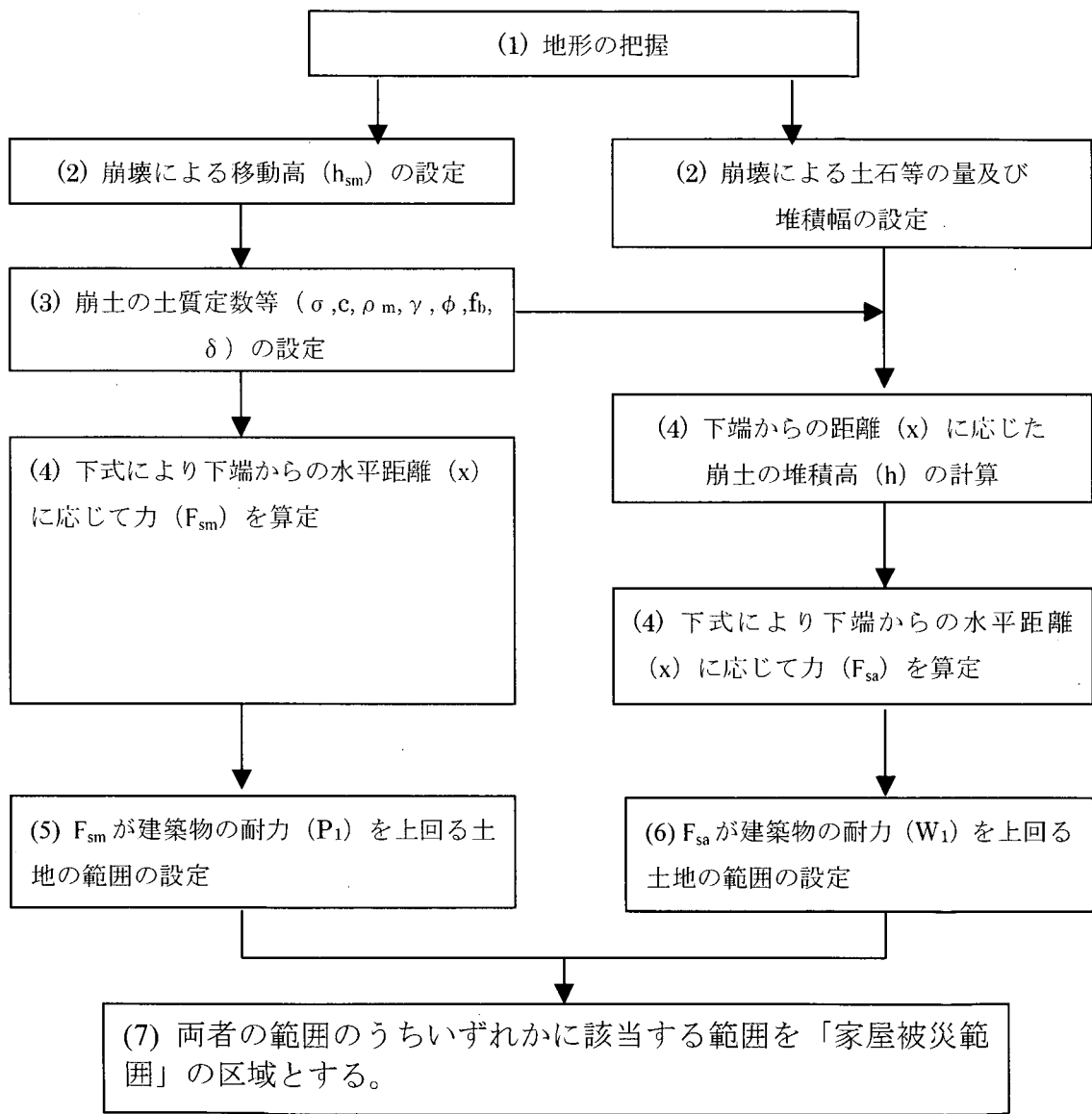


図 2.2 家屋被災範囲の設定フロー

## 2.2 急傾斜地崩壊発生域の地形の把握

まず、移動による力、堆積による力を算出する際に用いる斜面の傾斜度、高さは以下に定義するとおりとする。

傾斜度　急傾斜地の下端から上端を結んだ線が水平となす角度とする(図 2.1)。

高さ　　急傾斜地の下端と上端の標高差(以下「高さ」という)とする。

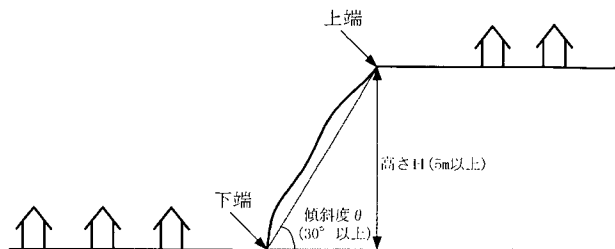


図 2.3 傾斜度及び高さの設定

急傾斜地の上下端は、遷急点や勾配  $30^\circ$  を下回る地点を目安に設定する(図 2.4)。また、斜面途中において局所的に急傾斜地ではない箇所が現れた場合や急傾斜地の形状が階段状を呈している場合は原則個々の斜面として扱い、斜面ごとに上端、下端を設定し、傾斜度および高さを決める。但し、上段斜面からの土砂が下段斜面に及ぶと想定される場合は、一連斜面として扱うことにする。

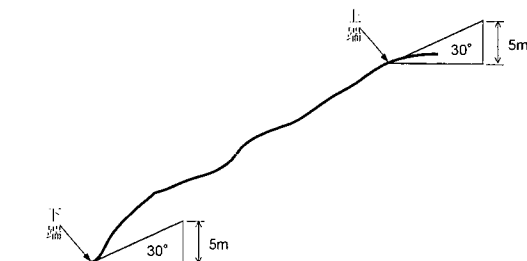


図 2.4 急傾斜地上端の設定例

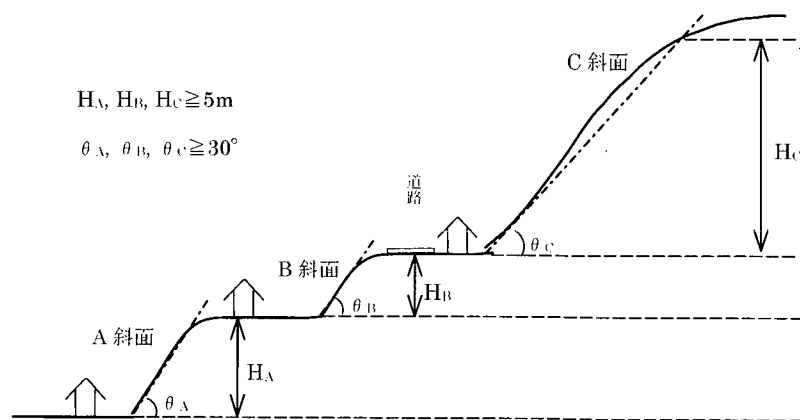


図 2.5 階段状の斜面において斜面を個々に扱い傾斜度及び高さを設定した例

## 2.3 移動による力の算出

急傾斜地の崩壊土砂の移動による力( $F_{sm}$ )は、次の式に従い計算する。

$$F_{sm} = \rho_m g h_{sm} \left[ \left\{ \frac{b_u}{a} (1 - \exp(-2aH/h_{sm} \sin \theta_u)) \cos^2(\theta_u - \theta_d) \right\} \right. \\ \left. \exp(-2ax/h_{sm}) + \frac{b_d}{a} (1 - \exp(-2ax/h_{sm})) \right] \quad \text{式 1}$$

上式における変数は以下に示すとおりである。

$$a = \frac{2}{(\sigma-1)c+1} f_b$$

$$b_u = \cos \theta_u \left\{ \tan \theta_u - \frac{(\sigma-1)c}{(\sigma-1)c+1} \tan \phi \right\}$$

$$b_d = \cos \theta_d \left\{ \tan \theta_d - \frac{(\sigma-1)c}{(\sigma-1)c+1} \tan \phi \right\}$$

$F_{sm}$ :急傾斜地の崩壊に伴う土石等の移動により建築物の地上部分に作用する  
と想定される力の大きさ(単位 1平方メートルにつきキロニュートン)

$b_u, b_d$ : $b$  の定義式に含まれる  $\theta$  にそれぞれ  $\theta_u, \theta_d$  を代入した値

$x$  :急傾斜地の下端からの水平距離(単位 メートル)

$H$  :急傾斜地の高さ(単位 メートル)

$h_{sm}$  :急傾斜地の崩壊に伴う土石等の移動の高さ(単位 メートル)

$\theta$  :傾斜度(単位 度)

$\theta_u$  :急傾斜地の傾斜度(単位 度)

$\theta_d$  :当該急傾斜地の下端からの平坦部の傾斜度(単位 度)

注)建築物は通常敷地を平坦に造成して建築するのが普通であることから、  
原則として  $\theta_d=0$  とする(ただし、傾斜度を有したまま建築することが明らかと判断される場合には、その傾斜度を用いて計算するものとする)。

$\rho_m$ :土石等の密度(単位 1立方メートルにつきトン)

$g$  :重力加速度(単位 每秒毎秒メートル)

$\sigma$  :急傾斜地の崩壊に伴う土石等の比重

$c$  :急傾斜地の崩壊に伴う土石等の容積濃度

$f_b$  :急傾斜地の崩壊に伴う土石等の流体抵抗係数

$\phi$  :急傾斜地の崩壊に伴う土石等の内部摩擦角(単位 度)

## 2.4 堆積による力の算出

急傾斜地の崩壊の堆積による力( $F_{sa}$ )は、次の式に従い計算する。

$$F_{sa} = \frac{\gamma h \cos^2 \phi}{\cos \delta \left\{ 1 + \sqrt{\sin(\phi+\delta) \sin \phi / \cos \delta} \right\}^2} \quad \text{式 2}$$

$F_{sa}$  :急傾斜地の崩壊に伴う土石等の堆積により建築物に作用すると想定される

力の大きさ(単位 1平方メートルにつきキロニュートン)

$h$  :急傾斜地の崩壊に伴う土石等の堆積高さ(単位 メートル)

$\phi$  :急傾斜地の崩壊に伴う土石等の内部摩擦角(単位 度)

$\gamma$  :急傾斜地の崩壊に伴う土石等の単位体積重量(ただし  $\gamma = \rho_m g$  と表せる)

(単位 1立方メートルにつきキロニュートン)

$\delta$  :建築物の壁面摩擦角(単位 度)

## 2.5 建築物の耐力の設定

移動の力に対する通常の建築物の耐力( $P_1$ )は、次の式に従い計算する。

$$P_1 = \frac{35.3}{H_1(5.6 - H_1)} \quad \text{式 3}$$

$P_1$  :移動の力に対する通常の建築物の耐力(単位 1平方メートルにつきキロニュートン)

$H_1$  :急傾斜地の崩壊に伴う土石等の移動により力が通常の建築物に作用する場合の土石等の高さ(単位 メートル)

また、堆積の力に対する通常の建築物の耐力( $W_1$ )は、次の式に従い計算する。

$$W_1 = \frac{106.0}{H_2(8.4 - H_2)} \quad \text{式 4}$$

$W_1$  :堆積の力に対する通常の建築物の耐力(単位 1平方メートルにつきキロニュートン)

$H_2$  :急傾斜地の崩壊に伴う土石等の堆積により力が通常の建築物に作用する場合の土石等の高さ(単位 メートル)

## 2.6 家屋被災範囲の設定

ここで、下記の①又は②の範囲のいずれか又は両方に属する範囲を「家屋被災範囲」とする。

- ① 急傾斜地の下端から建築物までの水平距離等に応じて算出した土石等の移動による力( $F_{sm}$ )が土石等の移動による力に対する通常の建築物の耐力( $P_1$ )を上回る土地の範囲
- ② 急傾斜地の下端から建築物までの水平距離等に応じて算出した土石等の堆積による力( $F_{sa}$ )が土石等の堆積による力に対する通常の建築物の耐力( $W_1$ )を上回る土地の範囲

### 3. 災害実態を用いた家屋被災範囲の妥当性の検討

#### 3.1 検討に用いる災害事例

ここでは、平成 15 年 5 月から 11 月に、大分県、宮崎県、福岡県、山口県、宮城県で発生したがけ崩れ災害のうち、表 3.1 に示した 15 事例について検討する。検討箇所の斜面高、斜面勾配、土壌のタイプについて表 3.1 にまとめた。表に示したとおり、今回検討した 15 ケースは斜面高 7~90m、斜面勾配 33~55° の間に分布している。また、土壌も粘性土から砂質礫まで様々である。なお、今回検討した箇所はいずれも待受け擁壁など、崩壊土砂を流下過程に影響を及ぼす施設がない箇所である。

また、検討に用いた崩壊の諸元を表 3.2 に示す。今回検討した崩壊はいずれも降雨により生じたものである。崩壊土量は 25~500m<sup>3</sup> である。ここで、昭和 57 年 1 月から平成 6 年 12 月までに全国で発生したがけ崩れ災害データ(4671 件)に基づき、斜面高ごとに崩壊土量を整理し累積度数 90% となる崩壊土量を導出した結果を、「土砂災害防止に関する基礎調査の手引き」から引用し、表 3.3 に示す。表 3.1、3.2 と表 3.3 の比較から分かるように、今回検討した崩壊のうち小泊、鰯取、梅垣の 3 例を除く 12 箇所の崩壊は 90% 値より大きく、大規模な崩壊といえる。

また、最大の崩壊深は 0.8~4.3m であった。一方、先の 4671 件がけ崩れのうち、91% の崩壊地で崩壊深は 2m 以下であった(「土砂災害防止に関する基礎調査の手引き」)。表 3.2 に示したように、今回検討したがけ崩れのうち 7 箇所で、2m より大きく、最大崩壊深の観点からも今回検討した崩壊は規模の大きいものが多いといえる。

表 3.1 検討箇所一覧

| 箇所番号 | 箇所名   | 都道府県 | 市町村  | 斜面高<br>(m) | 斜面勾配<br>(°) | 土壌のタイプ        |
|------|-------|------|------|------------|-------------|---------------|
| 1    | 長良    | 大分県  | 佐伯市  | 22         | 50          | 砂質粗粒砂         |
| 2    | 下隈谷   | 宮崎県  | 日南市  | 15         | 55          | 細粒分質砂         |
| 3    | 麦川上   | 山口県  | 美祢市  | 31         | 30          | 粘性土質砂質礫       |
| 4    | 旭が丘   | 福岡県  | 赤池町  | 9          | 33          | 砂質粘性土         |
| 5    | 安垣1   | 福岡県  | 穂波町  | 13         | 42          | 粘性土まじり礫質砂     |
| 6    | 安垣2   | 福岡県  | 穂波町  | 22         | 50          | 粘性土まじり礫質砂     |
| 7    | 高尾    | 福岡県  | 赤池町  | 22         | 41          | 砂質粘性土         |
| 8    | 大谷2丁目 | 福岡県  | 北九州市 | 7          | 35          | 砂質細粒土         |
| 9    | 立岩    | 福岡県  | 飯塚市  | 19         | 38          | 粘性土質砂         |
| 10   | 西丸山   | 福岡県  | 穂波町  | 14         | 33          | 砂質土           |
| 11   | 津原1   | 福岡県  | 飯塚市  | 10         | 41          | 粘性土質礫質砂       |
| 12   | 津原2   | 福岡県  | 飯塚市  | 13.5       | 37          | 粘性土質礫質砂       |
| 13   | 小泊    | 宮城県  | 雄勝町  | 17         | 51          | 砂まじり細粒分質礫     |
| 14   | 鰯取    | 宮城県  | 北上町  | 90         | 45          | -----<br>(注1) |
| 15   | 梅垣    | 大分県  | 鶴見町  | 28         | 36          | 細粒分質礫質砂       |

(注1) 土壤調査は実施していない

表 3.2 検討に用いた崩壊の諸元

| 箇所番号 | 箇所名   | がけ崩れ発生月日   | 誘因 | 最大崩壊幅(m) | 斜長(m) | 崩壊土量(m <sup>3</sup> ) | 最大崩壊深(m) |
|------|-------|------------|----|----------|-------|-----------------------|----------|
| 1    | 長良    | 2003.5.23  | 降雨 | 17       | 28    | 230                   | 2.5      |
| 2    | 下隈谷   | 2003.6.18  | 降雨 | 25       | 14    | 100                   | 3.5      |
| 3    | 麦川上   | 2003.7.14  | 降雨 | 14       | 44    | 410                   | 4.3      |
| 4    | 旭が丘   | 2003.7.19  | 降雨 | 36       | 9.5   | 130                   | 1.5      |
| 5    | 安垣1   | 2003.7.19  | 降雨 | 10.5     | 17    | 160                   | 4.0      |
| 6    | 安垣2   | 2003.7.19  | 降雨 | 32       | 22.5  | 400                   | 4.0      |
| 7    | 高尾    | 2003.7.19  | 降雨 | 19.5     | 15    | 330                   | 2.7      |
| 8    | 大谷2丁目 | 2003.7.19  | 降雨 | 10       | 10    | 166                   | 1.4      |
| 9    | 立岩    | 2003.7.19  | 降雨 | 62       | 22    | 450                   | 1.1      |
| 10   | 西丸山   | 2003.7.19  | 降雨 | 39       | 14    | 500                   | 2.9      |
| 11   | 津原1   | 2003.7.19  | 降雨 | 10       | 23    | 190                   | 1.5      |
| 12   | 津原2   | 2003.7.19  | 降雨 | 20       | 17    | 280                   | 1.8      |
| 13   | 小泊    | 2003.7.26  | 降雨 | 5.5      | 6     | 25                    | 1.1      |
| 14   | 鮫取    | 2003.7.26  | 降雨 | 10       | 7     | 40                    | 0.8      |
| 15   | 梅垣    | 2003.11.28 | 降雨 | 8.5      | 30    | 130                   | 1.7      |

表 3.3 斜面高さごとの累積度数 90%となる崩壊土量と崩壊幅

| 斜面高(m)  | 崩壊土量V(m <sup>3</sup> ) | 崩壊幅W(m) |
|---------|------------------------|---------|
| 5≤H<10  | 40                     | 14      |
| 10≤H<15 | 80                     | 17      |
| 15≤H<20 | 100                    | 19      |
| 20≤H<25 | 150                    | 21      |
| 25≤H<30 | 210                    | 24      |
| 30≤H<40 | 240                    | 25      |
| 40≤H<50 | 370                    | 29      |
| 50≤H    | 500                    | 32      |

崩壊幅は、全国のがけ崩れ災害データ(4671件)から崩壊土砂量と崩壊幅の関係について求めた近似式( $W=3.94V^{0.336}$ )に崩壊土砂量を代入することにより算出した値である。

### 3.2 検討方法

#### 3.2.1 入力変数の設定方法

本資料では、土質定数、崩壊地形状、崩壊発生位置に関する入力変数の設定手法の異なる3ケースについて、2章で述べた手法に基づき、家屋被災範囲の設定を実施した。はじめに、ケース1では、地形に関する調査結果のみを用いて家屋被災範囲を設定する場合を想定した。次に、ケース2において、地形調査および土層構造、崩壊深、土質に関する調査結果に基づき設定するケースを想定した。最後に、現時点ではあらかじめ崩壊地形状、崩壊の高さを精度良く予測することは困難ではあるが、崩壊地形状、崩壊発生位置が予測できると仮定し、土質定数、崩壊地形状、崩壊発生位置に関する調査結果に基づき設定する場合をケース3で検討した。すなわち、ケース3の設定を崩壊発生前にあらかじめ実施するのは現時点では不可能であると思われるが、家屋被災範囲の設定に関する調査方法の課題を検討する目的で実施した。各ケースの変数の設定手法および値を表3.4にまとめた。表3.4に示したように、いずれのケースにおいても斜面勾配は実測値を用いた。

表3.4 各検討ケースの係数の決定手法

| 項目         | 記号         | 単位               | ケース1  | ケース2  | ケース3  |
|------------|------------|------------------|-------|-------|-------|
| 計算高さ       | H          | m                | 斜面高   | 斜面高   | 崩壊高   |
| 斜面勾配       | $\theta_u$ | °                | 実測値   | 実測値   | 実測値   |
| 土石等の密度     | $\rho_m$   | t/m <sup>3</sup> | 1.80  | 実測値   | 実測値   |
| 重力加速度      | g          | m/s <sup>2</sup> | 9.80  | 9.80  | 9.80  |
| 土石等の比重     | $\sigma$   | t/m <sup>3</sup> | 2.60  | 実測値   | 実測値   |
| 土石等の容積濃度   | c          | —                | 0.50  | 0.50  | 0.50  |
| 土石等の流体抵抗係数 | fb         | —                | 0.025 | 0.025 | 0.025 |
| 土石等の内部摩擦角  | $\phi$     | °                | 30    | 実測値   | 実測値   |
| 移動の高さ      | $h_{sm}$   | m                | 1.00  | 実測値   | 実測値   |

移動の高さにおける実測値とは、「実測した」最大崩壊深を用いて算出したことを意味する

##### ・ケース1(地形に関する調査のみを実施し設定するケース)

本ケースでは、土質に関する変数(土石等の密度、容積密度、比重、内部摩擦角、流体抵抗係数)は「道路土工指針(平成12年3月)」および「新・斜面崩壊防止対策工事の設計と実例(平成8年4月)」を基にまとめられた参考値(表3.5;「土砂災害防止に関する基礎調査の手引き」)の中間値を用いた。

また、本ケースでは、崩壊高は斜面高とし、移動の高さ( $h_{sm}$ )は崩壊深の1/2とした(表3.4)。なお、本ケースでは、「崩壊深=2.0m」とした。「崩壊深=2.0m」は、昭和57年1月から平成6年12月までに全国で発生したがけ崩れ災害データ(4671件)のうち、91%の崩壊地で崩壊深は2m以下であったことから決定した(土砂災害防止に関する基礎調査の手引き)。

・ケース 2(地形調査および土層構造、崩壊深、土質に関する調査を実施し設定するケース)

本ケースでは、土質に関する変数(土石等の密度、容積密度、比重、内部摩擦角)に関し、可能な限り実測値を用いた。ただし、土石等の流体抵抗係数に関しては、実測値がいずれの箇所に関しても得られていないため、ケース 1 同様、0.025 を用いた。なお、土石の内部摩擦角は、長良、下隈谷、安垣 1、安垣 2、高尾、立岩、津原 1、津原 2、梅垣の各箇所は CD 試験により、旭が丘、大谷 2 丁目、西丸山は UU 試験により求めた値である。なお、UU 試験を用いた各箇所は砂質土、粘性土など比較的細かい材料を主とする土壤に覆われた斜面である。

移動の高さはケース 1 同様、最大崩壊深の 1/2 とした。また、土層構造の調査(簡易貫入試験等)や過去の崩壊実績から崩壊深はある程度推定できると考え、ここでは最大崩壊深は実際に発生した崩壊地の最大崩壊深を用いた。

・ケース 3(地形調査および土層構造、土質に関する調査を実施し、崩壊高さ、規模を予測し設定するケース)

崩壊発生位置をあらかじめ予測できる手法が確立されたと仮定し、式 1 中の  $H$  を最大崩壊深の高さ(実測値)を用いて算出した。その他のパラメータはケース 2 と同じとした。

なお、ケース 2、3 において、実測値が得られなかった場合、ケース 1 の値を用いた。各箇所の計算に用いた値は巻末資料にそれぞれ示した。

表 3.5 土質定数の参考値(『土砂災害防止に関する基礎調査の手引き』(砂防プロンティア整備推進機構 2001 年)より)

| 項目         | 記号       | 単位                | 参考値               |
|------------|----------|-------------------|-------------------|
| 土石等の比重     | $\sigma$ | t/m <sup>3</sup>  | 2.6               |
| 土石等の容積濃度   | $c$      | —                 | 0.5               |
| 土石等の密度     | $\rho_m$ | —                 | 1.8               |
| 土石等の単位体積重量 | $\gamma$ | kN/m <sup>3</sup> | 14~20             |
| 土石等の内部摩擦角  | $\phi$   | °                 | 15~40             |
| 土石等の流体抵抗係数 | $f_b$    | —                 | 0.025             |
| 建築物の壁面摩擦角  | $\delta$ | °                 | $\phi \times 2/3$ |

また、堆積による力によって決まる家屋被災範囲設定に用いる崩壊土量は表 3.3 に示した値を用いた。このとき、本研究で用いたいずれの箇所においてもケース 1~3 の全てのケースにおいて堆積による力により求まる家屋被災範囲(図 2.2 の(6))より、移動の力による家屋被災範囲(図 2.2 の(5))の方が広かつた(堆積による力により求まる家屋被災範囲のがけ下端から距離が、移動の力による家屋被災範囲のがけ下端からの距離に比べて、短かった)。言い換えるれば、本研究で検討したいずれの箇所においても、家屋の被災範囲は、崩壊土砂の移動による力( $F_{sm}$ )とそれに対する建築物の耐力( $P_1$ )で決まった。

### 3.2.2 家屋被災範囲の算出結果と被災実態の比較手法

本資料では、ケースごとに設定した「家屋被災範囲」と実際に被災した家屋の関係を検討する目的で、

- ① 「家屋被災範囲」の中で被災した家屋
- ② 「家屋被災範囲」の外で被災した家屋
- ③ 「家屋被災範囲」の中で被災しなかった家屋

の数を整理した。また、家屋の被災の有無は家屋の構造等にも依存するため、ここでは崩壊土砂の到達の有無も「家屋被災範囲」の設定手法の精度を検討する指標として用いることとし、以下の3指標についても検討を行った。

- ④ 「家屋被災範囲」の中で土砂が到達した家屋
- ⑤ 「家屋被災範囲」の外で土砂が到達した家屋
- ⑥ 「家屋被災範囲」の中で土砂が到達しなかった家屋

さらに、「家屋被災範囲」の設定手法の精度を検討するために、寺田・水野(2003)に従い、以下の項目について算出した。

- ⑦ 被災家屋包含率 = {家屋被災範囲内にある被災した家屋の戸数 ①} / {被災した家屋の総数 ①+②}
- ⑧ 無被災家屋率 = {家屋被災範囲内にある被災しなかった家屋の戸数 ③} / {家屋被災範囲内の家屋の総数 ①+③}
- ⑨ 土砂到達家屋包含率 = {家屋被災範囲内にある土砂が到達した家屋の戸数 ④} / {土砂が到達した家屋の総数 ④+⑤}
- ⑩ 非土砂到達家屋率 = {家屋被災範囲の中で土砂が到達しなかった家屋の戸数 ⑥} / {家屋被災範囲内の家屋の総数 ④+⑥}

なお、本資料において、家屋の「被災」とは、土砂により全壊、半壊、一部損壊のいずれかの被害が生じることとし、「土砂が到達した家屋」とは、「被災家屋」に家屋壁面に土砂は作用したが、全壊、半壊、一部損壊に相当するような被害が生じなかった家屋を加えた家屋と定義する。

### 3.2.3 斜面の高さ、勾配の空間分布の取り扱い

本資料では、等高線に沿った方向の家屋被災範囲の広がりは崩壊幅と等しいとした(図3.1)。また、下隈谷において生じたがけ崩れ以外は、斜面の高さ、勾配は最大崩壊深を通る1断面のみを用いて検討した。

また、麦川上、大谷2丁目地区の2地区では、斜面内に急傾斜地ではない部分が見られたが2.2で示した定義に従い、一連斜面とした。

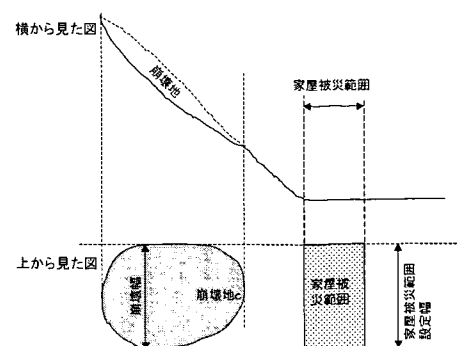


図3.1 家屋被災範囲の設定幅

### 3.3 検討結果

#### 3.3.1 家屋被災範囲の算出結果

各箇所の家屋被災範囲の設定結果の詳細は巻末資料に示した。なお、前述のとおり(P.10)、ここで検討したすべての箇所、ケースにおいて移動による力により決まる家屋被災範囲の方が、堆積による力により決まる家屋被災範囲に比べて広かった。

図3.2には、家屋被災範囲の算出結果について、がけ下端から家屋被災範囲末端までの距離を示した。図に示したように、UU試験により内部摩擦角を求めた旭が丘、大谷2丁目、西丸山を除くと、がけ下端から家屋被災範囲末端までの距離はケースによらず20m以下で、2.1~17.8mであった。一方、UU試験により内部摩擦角を求めた旭が丘、大谷2丁目、西丸山におけるケース2、3では、15m以上となり、最大で43mとなった。

次に、ケース1とケース2の比較を行う。UU試験により内部摩擦角を求めた3箇所において、ケース1に比べてケース2の家屋被災範囲の算出結果は7~35m大きくなつた。それに対して、CD試験により求めた内部摩擦角を用いた9箇所(長良、下隈谷、安垣1、安垣2、高尾、立岩、津原1、津原2、梅垣)はケース1に比べて-2.5~+7.0mの範囲であった。

さらに、ケース2、3の比較では、UU試験により求めた内部摩擦角を用いた旭が丘、大谷2丁目ではケース2の方がケース3に比べてそれぞれ5.1、8.9m大きくなつたが、それ以外の箇所では、ケース2とケース3の差は最大でも1.8mであった。

また、ケース1とケース3を比べると、UU試験により求めた内部摩擦角を使用した3箇所では、ケース3の方がケース1に比べて7m以上大きくなつた。一方、CD試験により求めた内部摩擦角を使用した9箇所では、ケース3の方がケース1の差は6m以内であった。

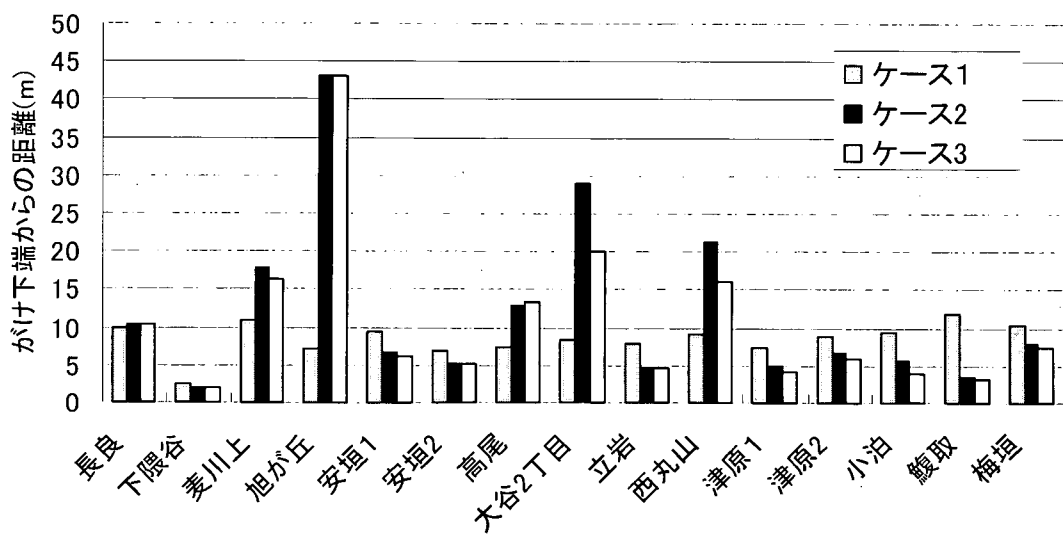


図3.2 がけ下端から家屋被災範囲末端までの距離

### 3.3.2 家屋被災範囲の算出結果と被災実態の比較

表 3.6 に箇所ごとに、①家屋被災範囲の中で被災した家屋、②家屋被災範囲の外で被災した家屋、③家屋被災範囲の中で被災しなかった家屋、④家屋被災範囲の中で土砂が到達した家屋、⑤家屋被災範囲の外で土砂が到達した家屋、⑥家屋被災範囲の中で土砂が到達しなかった家屋の数を示した。表 3.6 に示したように、家屋被災範囲内の家屋数(①+③)は、UU 試験により求めた土石の内部摩擦角を用いたケースを除くといずれも 1 または 2 戸であった。一方、UU 試験により求めた土石の内部摩擦角を用いたケース(表 3.6 に太字で示した)では、家屋被災範囲内の家屋数は 2 から 5 戸であった。

家屋被災範囲の外で被災した家屋は、ケースによらず津原 2 の 1 戸だけであり、津原 2 の 1 戸はいずれのケースにおいても家屋被災範囲内に入らなかった。また、家屋被災範囲内で被災しなかった家屋は、UU 試験により求めた土石の内部摩擦角を用いていないケース(ケース 1 及び旭が丘、大谷 2 丁目、西丸山を除くケース 2 及び 3)では、立岩における 1 戸だけであった。一方、UU 試験により求めた土石の内部摩擦角を用いたケースでは、家屋被災範囲内で被災しなかった家屋が 1~4 戸存在した。

次に土砂到達の有無と家屋被災範囲の関係を検討する。表 3.6 に示したとおり、土砂が到達して、被災がなかった家屋は長良の 1 戸だけであり、④、⑤、⑥の戸数は①、②、③の戸数とそれぞれ長良を除いて同じであった。

さらに、表 3.6 からは、UU 試験により求めた土石の内部摩擦角を用いたケースを除くとケース 1、2、3 で①~⑥の家屋の戸数はいずれの箇所も同じであることがわかる。

表 3.6 ①家屋被災範囲の中で被災した家屋、②家屋被災範囲の外で被災した家屋、③家屋被災範囲の中で被災しなかった家屋、④家屋被災範囲の中で土砂が到達した家屋、⑤家屋被災範囲の外で土砂が到達した家屋、⑥家屋被災範囲の中で土砂が到達しなかった家屋の数

| 箇所番号 | 箇所名   | ケース1   |   |   |   |   |   | ケース2 |   |   |    |   |   | ケース3 |   |   |    |   |   |
|------|-------|--------|---|---|---|---|---|------|---|---|----|---|---|------|---|---|----|---|---|
|      |       | ①      | ② | ③ | ④ | ⑤ | ⑥ | ①    | ② | ③ | ④  | ⑤ | ⑥ | ①    | ② | ③ | ④  | ⑤ | ⑥ |
| 1    | 長良    | 1      | 0 | 0 | 1 | 1 | 0 | 1    | 0 | 0 | 1  | 1 | 0 | 1    | 0 | 0 | 1  | 1 | 0 |
| 2    | 下隈谷   | 2      | 0 | 0 | 2 | 0 | 0 | 2    | 0 | 0 | 2  | 0 | 0 | 2    | 0 | 0 | 2  | 0 | 0 |
| 3    | 麦川上   | 1      | 0 | 0 | 1 | 0 | 0 | 1    | 0 | 0 | 1  | 0 | 0 | 1    | 0 | 0 | 1  | 0 | 0 |
| 4    | 旭が丘   | 1      | 0 | 0 | 1 | 0 | 0 | 1    | 0 | 4 | 1  | 0 | 4 | 1    | 0 | 4 | 1  | 0 | 4 |
| 5    | 安垣1   | 1      | 0 | 0 | 1 | 0 | 0 | 1    | 0 | 0 | 1  | 0 | 0 | 1    | 0 | 0 | 1  | 0 | 0 |
| 6    | 安垣2   | 1      | 0 | 0 | 1 | 0 | 0 | 1    | 0 | 0 | 1  | 0 | 0 | 1    | 0 | 0 | 1  | 0 | 0 |
| 7    | 高尾    | 1      | 0 | 0 | 1 | 0 | 0 | 1    | 0 | 0 | 1  | 0 | 0 | 1    | 0 | 0 | 1  | 0 | 0 |
| 8    | 大谷2丁目 | 1      | 0 | 0 | 1 | 0 | 0 | 1    | 0 | 1 | 1  | 0 | 1 | 1    | 0 | 1 | 1  | 0 | 1 |
| 9    | 立岩    | 0      | 0 | 1 | 0 | 0 | 1 | 0    | 0 | 1 | 0  | 0 | 1 | 0    | 0 | 1 | 0  | 0 | 1 |
| 10   | 西丸山   | 1      | 0 | 0 | 1 | 0 | 0 | 1    | 0 | 1 | 1  | 0 | 1 | 1    | 0 | 1 | 1  | 0 | 1 |
| 11   | 津原1   | 0      | 0 | 0 | 0 | 0 | 0 | 0    | 0 | 0 | 0  | 0 | 0 | 0    | 0 | 0 | 0  | 0 | 0 |
| 12   | 津原2   | 0      | 1 | 0 | 0 | 1 | 0 | 0    | 1 | 0 | 0  | 0 | 1 | 0    | 0 | 1 | 0  | 0 | 1 |
| 13   | 小泊    | 1      | 0 | 0 | 1 | 0 | 0 | 1    | 0 | 0 | 1  | 0 | 0 | 1    | 0 | 0 | 1  | 0 | 0 |
| 14   | 鰯取    | 1      | 0 | 0 | 1 | 0 | 0 | 1    | 0 | 0 | 1  | 0 | 0 | 1    | 0 | 0 | 1  | 0 | 0 |
| 15   | 梅垣    | 1      | 0 | 0 | 1 | 0 | 0 | 1    | 0 | 0 | 1  | 0 | 0 | 1    | 0 | 0 | 1  | 0 | 0 |
|      |       | CD試験   |   |   |   |   |   | 7    | 1 | 1 | 7  | 2 | 1 | 7    | 1 | 1 | 7  | 2 | 1 |
|      |       | UU試験   |   |   |   |   |   | 3    | 0 | 6 | 3  | 0 | 6 | 3    | 0 | 6 | 3  | 0 | 6 |
|      |       | 土質試験なし |   |   |   |   |   | 3    | 0 | 0 | 3  | 0 | 0 | 3    | 0 | 0 | 3  | 0 | 0 |
|      |       | 合計     |   |   |   |   |   | 13   | 1 | 1 | 13 | 2 | 1 | 13   | 1 | 7 | 13 | 2 | 7 |

ケース 2、3において、斜字は土石の内部摩擦角の測定結果がないもの、網掛けの太字はUU試験によりまとめた内部摩擦角を用いた結果である。それ以外は、CD試験により求めた結果である。

次に表 3.7 に各ケースの被災家屋包含率、無被災家屋率、土砂到達家屋包含率、非土砂到達家屋率を示した。さらに、図 3.2 および表 3.6 に示したように、土石の内部摩擦角の測定方法によって、家屋被災範囲が大きく異なることが示されたことから、表 3.7においても、土石の内部摩擦角の測定方法により区分した結果を併記した。

ケース1では、被災家屋包含率は93%、無被災家屋率7%で極めて良好な結果が得られた。また、被災家屋包含率はケース2、3のいずれにおいても、ケース1と変わらず被災家屋包含率は93%と高かった。一方、無被災家屋率はケース2、3で35%とケース1に比べて大きく、ケース1のほうが優れているという結果が得られた。この結果は、UU 試験を用いて土石の内部摩擦角を用いた場合において、無被災家屋率が75%と高くなつたことに起因している。

**表 3.7 各ケースの被災家屋包含率、無被災家屋率、土砂到達家屋包含率、非土砂到達家屋率**

| ケース  | 箇所数 | 被災家屋<br>包含率 | 無被災<br>家屋率 | 土砂到達家<br>屋包含率 | 非土砂到<br>達家屋率 |
|------|-----|-------------|------------|---------------|--------------|
| ケース1 | 15  | 0.93        | 0.07       | 0.87          | 0.07         |
| ケース2 | 15  | 0.93        | 0.35       | 0.87          | 0.35         |
| CD試験 | 10  | 0.88        | 0.13       | 0.78          | 0.13         |
| UU試験 | 3   | 1.00        | 0.75       | 1.00          | 0.75         |
| ケース3 | 15  | 0.93        | 0.35       | 0.87          | 0.35         |
| CD試験 | 10  | 0.88        | 0.13       | 0.78          | 0.13         |
| UU試験 | 3   | 1.00        | 0.75       | 1.00          | 0.75         |

### 3.4 検討結果のまとめ

ケース1の家屋被災範囲の設定結果と実際の家屋の被災範囲(被災家屋包含率93%、無被災家屋率7%)から、地形調査結果と告示に示されている手法を用いることによって、がけ崩れにより家屋が被災するか否かを概ね表現できることが分かった。

ケース1とケース2の比較から、被災家屋包含率は両ケースで差は見られないことが示された。このことは、崩壊深及び土質に関する入力変数の設定手法の違いが被災家屋包含率に影響を及ぼさないこと示している。

また、ケース1とケース2の家屋被災範囲の設定結果の比較から、土石の内部摩擦角の測定方法が家屋被災範囲の大きさに大きな影響を及ぼすことが分かる。CD試験により求めた土石の内部摩擦角を用いた場合、実際に家屋が被災した範囲とほぼ等しく家屋被災範囲は設定されたが、UU試験による土石の内部摩擦角の測定結果を用いると家屋被災範囲は実際の家屋の被災範囲と比べて広く設定された。すなわち、粘土、シルト分を多く含む崩壊土砂においては、非排水条件に近い状態で土砂が流下することも考えられようが、今回検討した範囲では、UU試験による土石の内部摩擦角の測定結果を用いると被災範囲が過大となり無被災家屋率が高くなることが分かった。

さらに、ケース2とケース3の比較からは、両ケースで被災家屋包含率、無被災家屋率のいずれにも差が見られないことが分かる。これは、今回検討した範囲では、(式1)中のHの違いが移動による力の算出結果に及ぼす影響が小さく、Hの違いが家屋被災範囲のがけ下端からの距離に及ぼす影響幅が家屋1戸分の幅より小さかったことを意味している。このことから、崩壊発生位置、高さの予測は、被災家屋包含率を大きくすること、無被災家屋率を小さくすることに繋がらないといえる。

## 4. 結論

本研究では平成15年に発生したがけ崩れ災害発生箇所のうち15箇所の事例を用いて、土砂災害の恐れのある地域の中で家屋が被災する区域(家屋被災範囲)の設定手法を検討した。本研究では、がけ崩れによる家屋被災範囲は「土砂災害警戒区域等における土砂災害防止対策の推進に関する法律施行令第2条第2号の規定に基づき国土交通大臣が定める方法等を定める告示」(平成13年3月28日国土交通省告示第332号)に基づいて決めた。同設定手法では、崩壊土砂の「移動による力」により家屋が被災すると想定される範囲と「堆積による力」により家屋が被災すると想定される範囲のうち少なくともいずれかに属する範囲を、がけ崩れによる家屋被災範囲とする。本研究で用いた15事例はいずれのケースも崩壊土砂の「移動による力」により家屋が被災すると想定される範囲の方が「堆積による力」により家屋が被災すると想定される範囲より広かった。

本研究の結果をまとめると以下のようになる。

1. 告示に示されている手法と地形調査結果により、がけ崩れにより家屋が被災するか否かを良好に表現できる。
2. 崩壊深及び土質に関する入力変数の設定手法の違いが被災家屋包含率(被災した家屋の総数のうち、家屋被災範囲内にある家屋の割合)に及ぼす影響は見られなかった。
3. CD試験により求めた土石の内部摩擦角を用いた場合、実際に家屋が被災した範囲とほぼ等しく家屋被災範囲は設定され、無被災家屋率(家屋被災範囲内にある家屋のうち被災しなかった家屋の割合)は13%であった。一方、UU試験により求めた土石の内部摩擦角の測定結果を用いると家屋被災範囲は実際に家屋が被災した範囲と比べて広く設定され、無被災家屋率は75%と大きくなつた。このことから、土質試験を実施する場合、CD試験を実施することが望ましいと考えられる。
4. 崩壊発生位置の予測精度向上は、家屋被災範囲の家屋数という観点から見ると、家屋被災範囲の設定結果の精度向上に及ぼす影響は小さい。

以上1~4の結果から、告示に示されている手法と地形調査結果により、崩壊深および土質に関する入力変数は経験的な値を用いても、がけ崩れによる家屋被災範囲は良好に設定することができると結論付けられた。

大分県、宮崎県、山口県、宮城県、福岡県の担当の方々には、調査にご協力いただき、本研究の遂行上必要不可欠なデータの取得にご協力いただいた。また、大日本コンサルタント株式会社砂防計画室太原晶氏に有益なご助言をいただいた上、研究の方向性に関する議

論に加わっていただき本研究の遂行において多大な協力を得た。末尾ではあるが、記して謝意を表したい。

## 参考文献

- 全国治水砂防協会(2003)砂防便覧 平成15年度版
- 反町雄二(1977)崩壊土砂の流下距離、土木技術資料 Vol.19
- 門間敬一・千田容嗣・海老原和重(1999)がけ崩れ災害の実態、土木研究所資料、3651号。
- 芦田和男・江頭進治・神矢 弘(1984.)斜面における土塊の滑動・停止機構に関する研究、京都大学防災研究所年報、vol.27, 331-340.
- 宮本邦明(2002)土塊の運動の2次元数値シミュレーション、砂防学会誌、vol.55, no.2, 5-13.
- 砂防フロンティア整備推進機構(2001)土砂災害防止に関する基礎調査の手引き
- 日本道路協会(1999)道路土工指針
- 建設省河川局砂防部監修(1996)新・斜面崩壊防止対策工事の設計と実例、社団法人 全国治水砂防協会、302p.
- 寺田秀樹・水野秀明(2003)土石流による家屋被災範囲の設定手法に関する研究、国土技術政策総合研究所資料、No.70、146p.
- 若井明彦・鵜飼恵三・清水義彦・長田健吾(2004)がけ崩れによる土砂到達範囲のDEMシミュレーションと簡易予測法の提案、地すべり、vol.40、366-376
- 内田太郎・曾我部匡敏・寺田秀樹(2004)がけ崩れの災害実態調査要領と調査事例について、地すべり研究

## 卷 末 資 料

## 長良

### 1) 計算諸元一覧

| 項目         | 記号         | 単位               | ケース1  | ケース2  | ケース3  | 備考           |
|------------|------------|------------------|-------|-------|-------|--------------|
| 計算高さ       | H          | m                | 21.5  | 21.5  | 21.5  |              |
| 斜面勾配       | $\theta_u$ | °                | 47.0  | 47.0  | 47.0  |              |
| 土石等の密度     | $\rho_m$   | t/m <sup>3</sup> | 1.80  | 1.41  | 1.41  | 三軸圧縮試験(CD)あり |
| 重力加速度      | g          | m/s <sup>2</sup> | 9.80  | 9.80  | 9.80  |              |
| 土石等の比重     | $\sigma$   | t/m <sup>3</sup> | 2.60  | 2.68  | 2.68  |              |
| 土石等の容積濃度   | c          | —                | 0.50  | 0.50  | 0.50  |              |
| 土石等の流体抵抗係数 | fb         | —                | 0.025 | 0.025 | 0.025 |              |
| 土石等の内部摩擦角  | $\phi$     | °                | 30    | 33    | 33    | 三軸圧縮試験(CD)あり |
| 移動の高さ      | hsm        | m                | 1.00  | 1.30  | 1.30  |              |

\*斜字は実測値、その他の値はケース1で設定した値と同じ値とした。

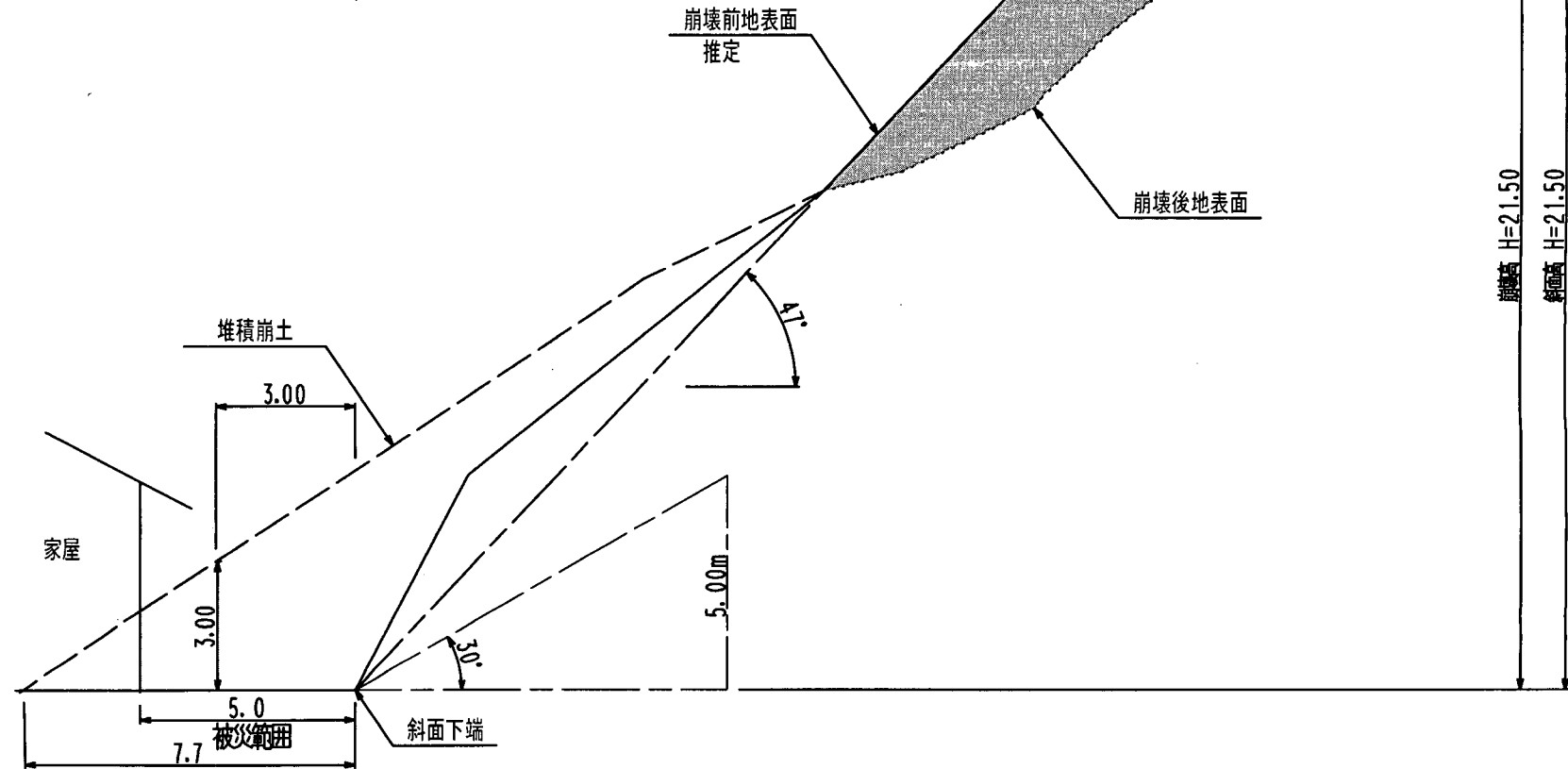
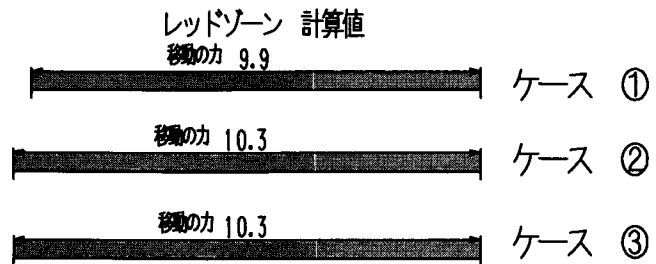
### 2) 計算結果一覧

|                            | ケース1 | ケース2  | ケース3 |
|----------------------------|------|-------|------|
| 家屋被災範囲<br>(レッドゾーン)<br>(m)  | 9.9  | 10..3 | 10.3 |
| 崩土到達範囲<br>(イエローゾーン)<br>(m) | 43.0 | 43.0  | 43.0 |

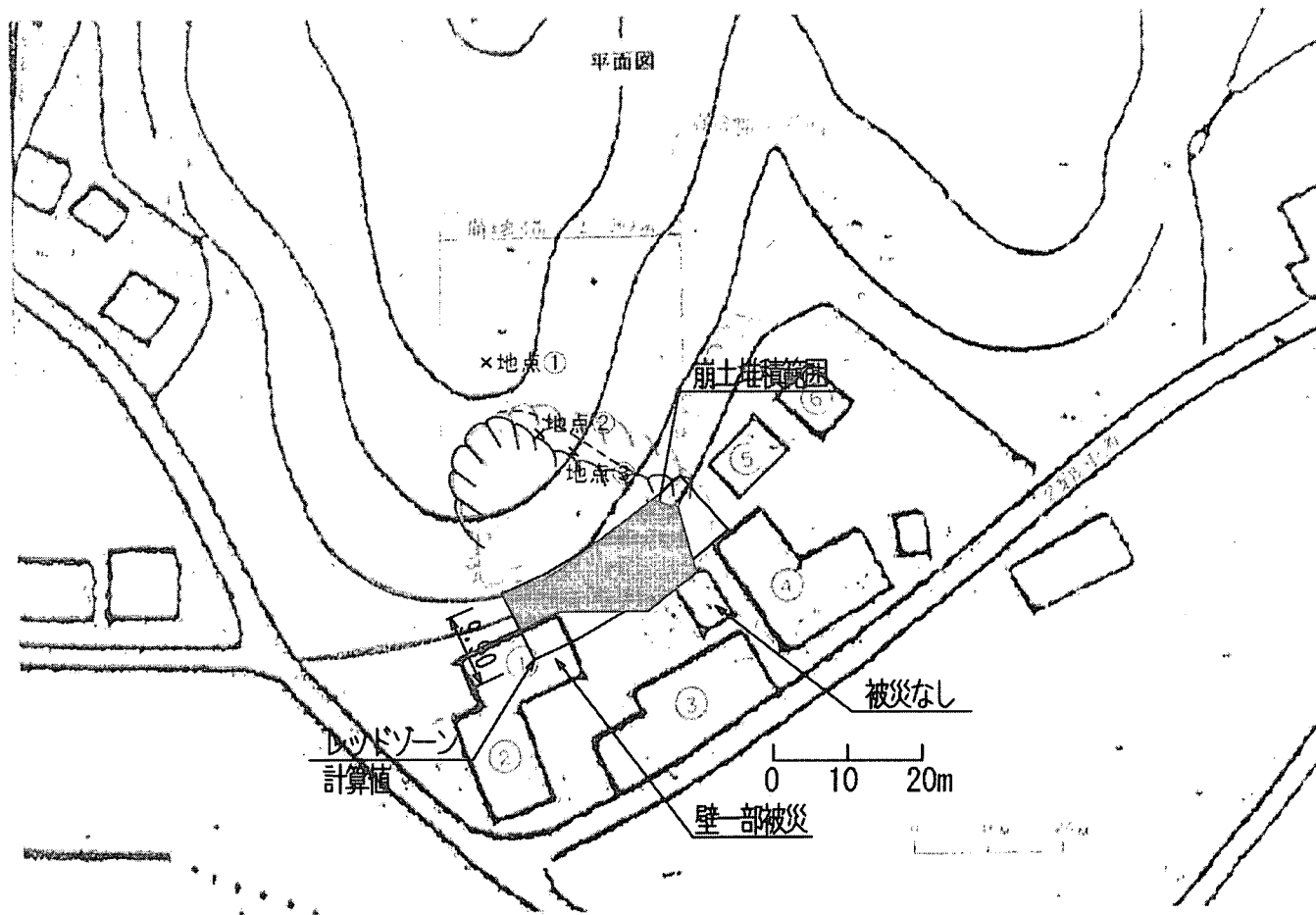
|           |       | ケース1 | ケース2 | ケース3 | 備考 |
|-----------|-------|------|------|------|----|
| 被災家屋      | 区域内   | 1    | 1    | 1    |    |
|           | 区域外   | 0    | 0    | 0    |    |
| 無被災家屋     | 区域内   | 0    | 0    | 0    |    |
|           | 区域外   | 0    | 0    | 0    |    |
| 区域内家屋合計   |       | 1    | 1    | 1    |    |
| 崩壊土砂到達範囲内 | 被災家屋  | 区域内  | 1    | 1    |    |
|           |       | 区域外  | 0    | 0    |    |
|           | 無被災家屋 | 区域内  | 0    | 0    |    |
|           |       | 区域外  | 1    | 1    |    |
| 合計        |       | 2    | 2    | 2    |    |

長良  
S=1:150

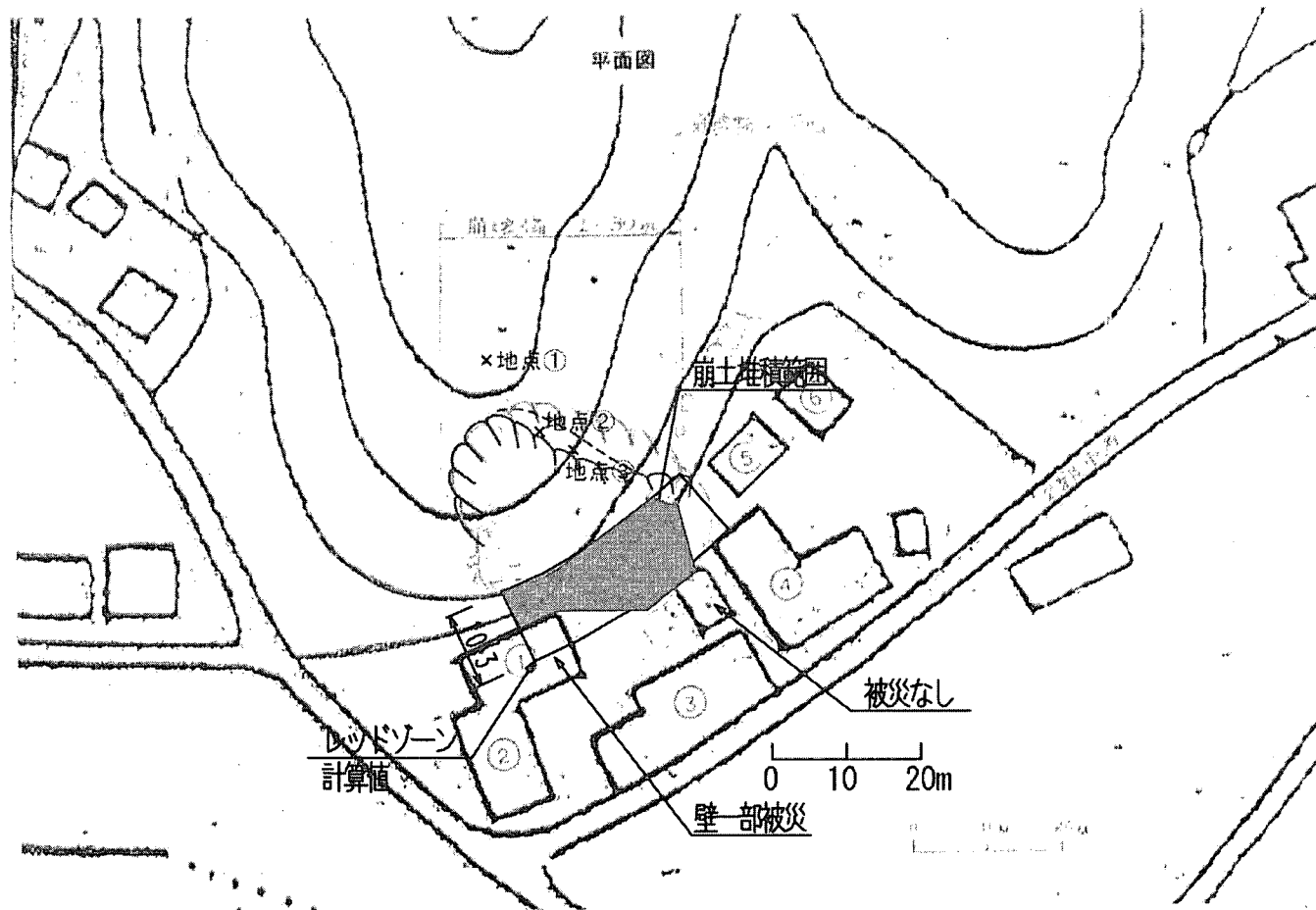
比較断面図



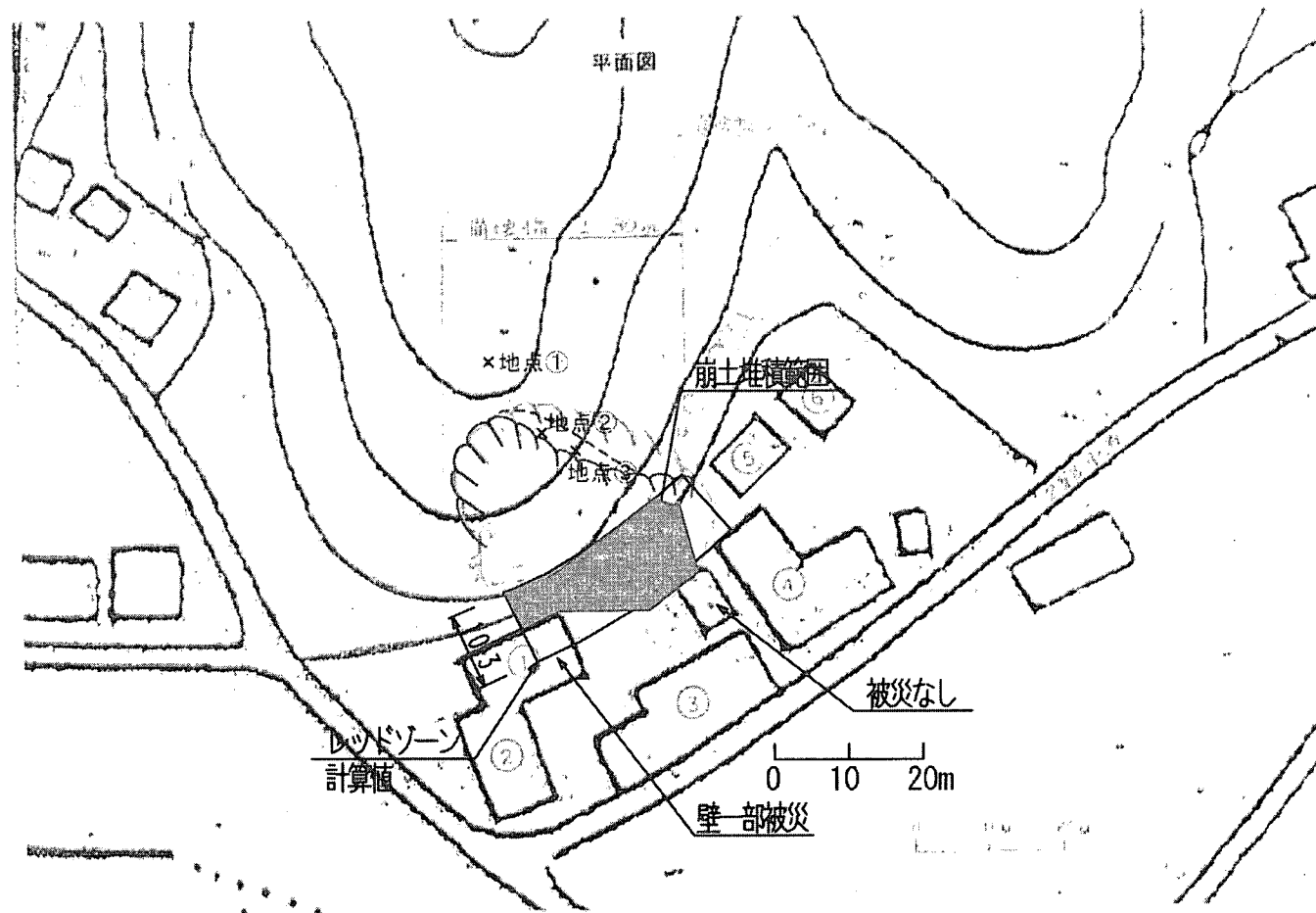
長良  
比較平面図  
ケース①



長良  
比較平面図  
ケース②



長良  
比較平面図  
ケース③



## 下隈谷

### 1) 計算諸元一覧

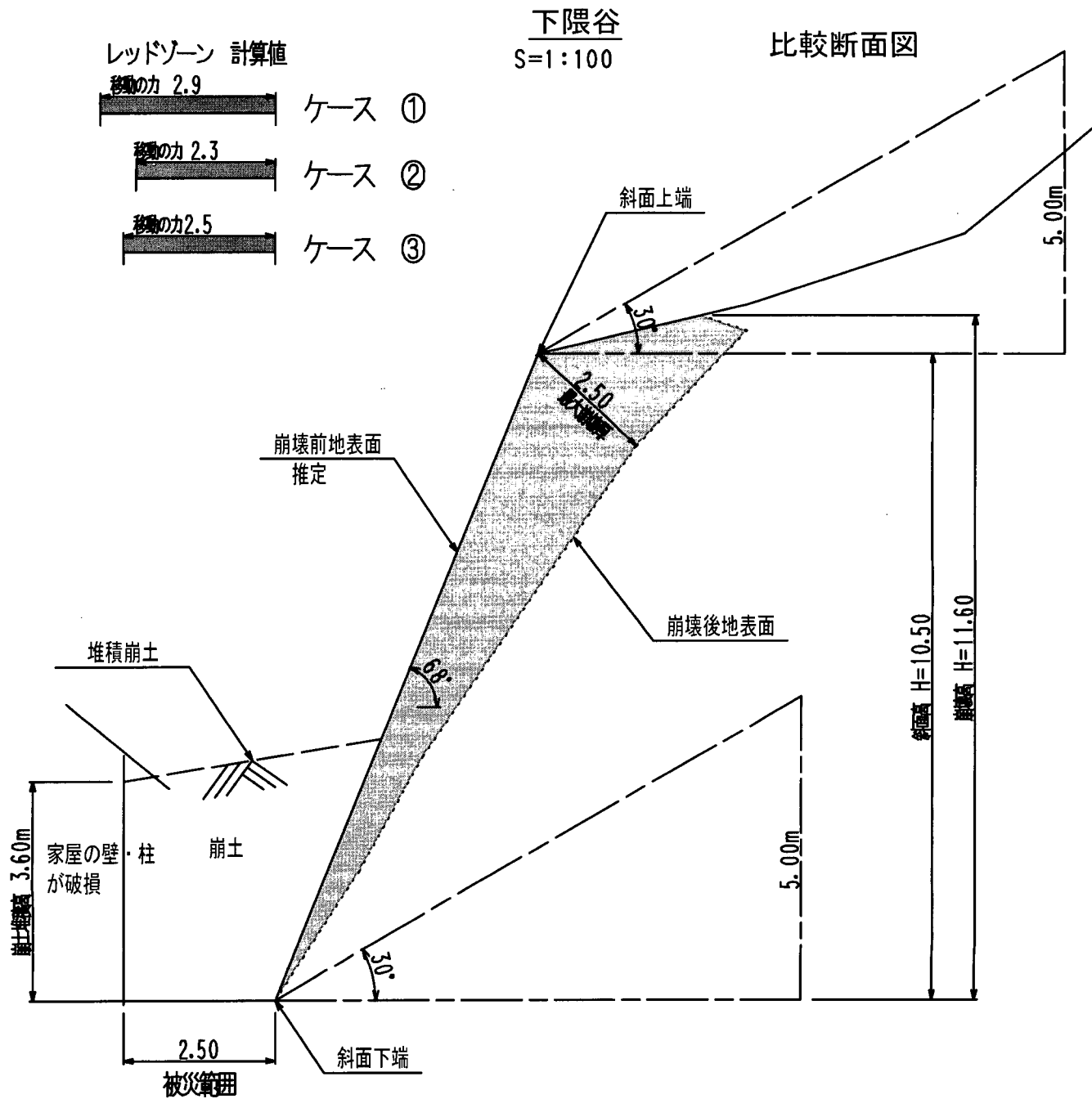
| 項目         | 記号              | 単位               | ケース1  | ケース2  | ケース3  | 備考           |
|------------|-----------------|------------------|-------|-------|-------|--------------|
| 計算高さ       | H               | m                | 10.5  | 10.5  | 11.6  |              |
| 斜面勾配       | $\theta_u$      | °                | 68.0  | 68.0  | 68.0  |              |
| 土石等の密度     | $\rho_m$        | t/m <sup>3</sup> | 1.80  | 1.00  | 1.00  | 三軸圧縮試験(CD)あり |
| 重力加速度      | g               | m/s <sup>2</sup> | 9.80  | 9.80  | 9.80  |              |
| 土石等の比重     | $\sigma$        | t/m <sup>3</sup> | 2.60  | 2.40  | 2.40  |              |
| 土石等の容積濃度   | c               | —                | 0.50  | 0.50  | 0.50  |              |
| 土石等の流体抵抗係数 | f <sub>b</sub>  | —                | 0.025 | 0.025 | 0.025 |              |
| 土石等の内部摩擦角  | $\phi$          | °                | 30    | 36    | 36    | 三軸圧縮試験(CD)あり |
| 移動の高さ      | h <sub>sm</sub> | m                | 1.00  | 1.30  | 1.30  |              |

\*斜字は実測値、その他の値はケース1で設定した値と同じ値とした。

### 2) 計算結果一覧

|                            | ケース1      | ケース2      | ケース3      |
|----------------------------|-----------|-----------|-----------|
| 家屋被災範囲<br>(レッドゾーン)<br>(m)  | 1.7～3.1   | 1.2～2.5   | 1.4～2.7   |
| 崩土到達範囲<br>(イエローノーン)<br>(m) | 13.4～25.0 | 13.4～25.0 | 15.4～27.2 |

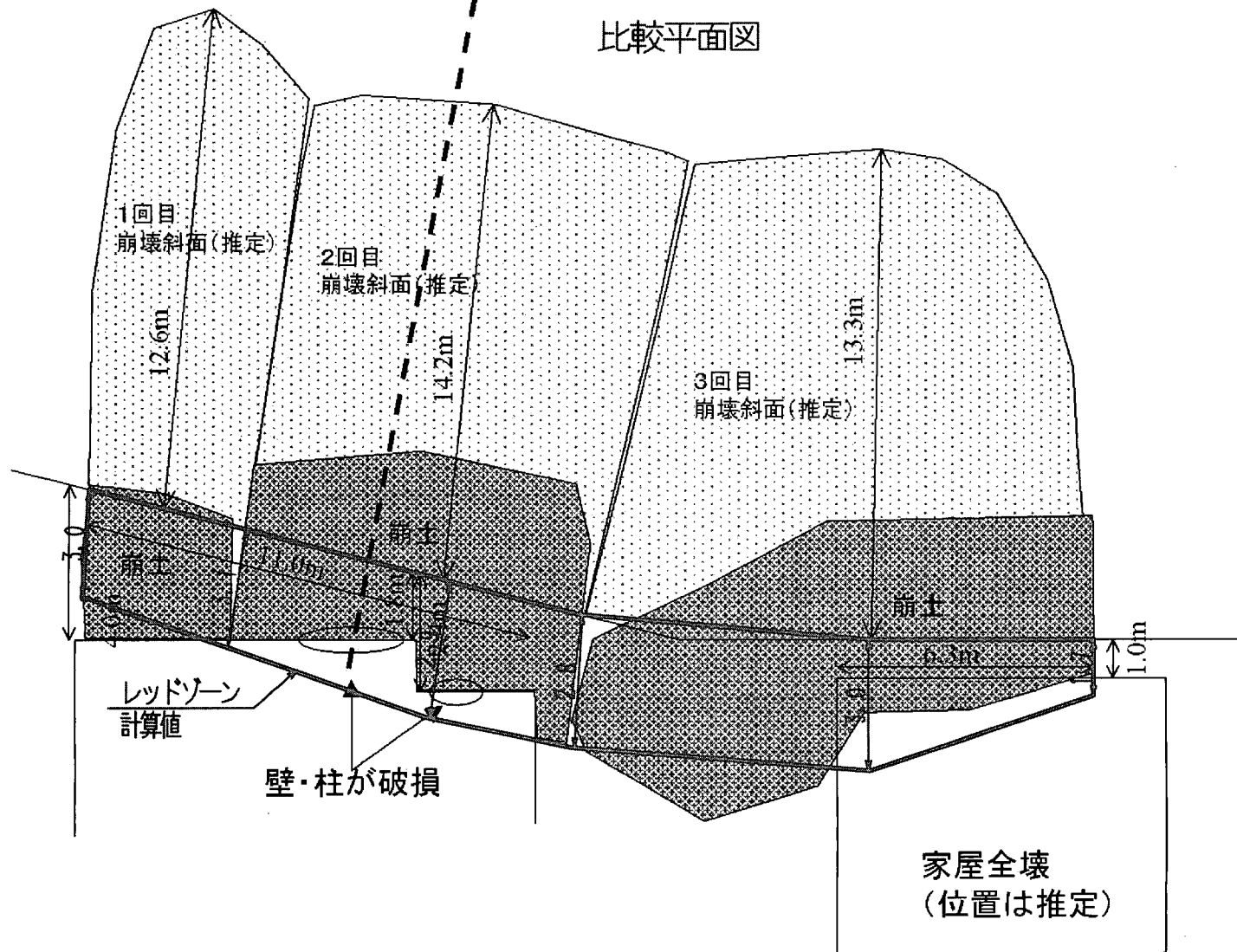
|           |         | ケース1 | ケース2 | ケース3 | 備考 |
|-----------|---------|------|------|------|----|
| 被災家屋      | 区域内     | 2    | 2    | 2    |    |
|           | 区域外     | 0    | 0    | 0    |    |
| 無被災家屋     | 区域内     | 0    | 0    | 0    |    |
|           | 区域内家屋合計 | 2    | 2    | 2    |    |
| 崩壊土砂到達範囲内 | 被災家屋    | 区域内  | 2    | 2    |    |
|           |         | 区域外  | 0    | 0    |    |
|           | 無被災家屋   | 区域内  | 0    | 0    |    |
|           |         | 区域外  | 0    | 0    |    |
|           | 合計      | 2    | 2    | 2    |    |



ケース①

下隈谷

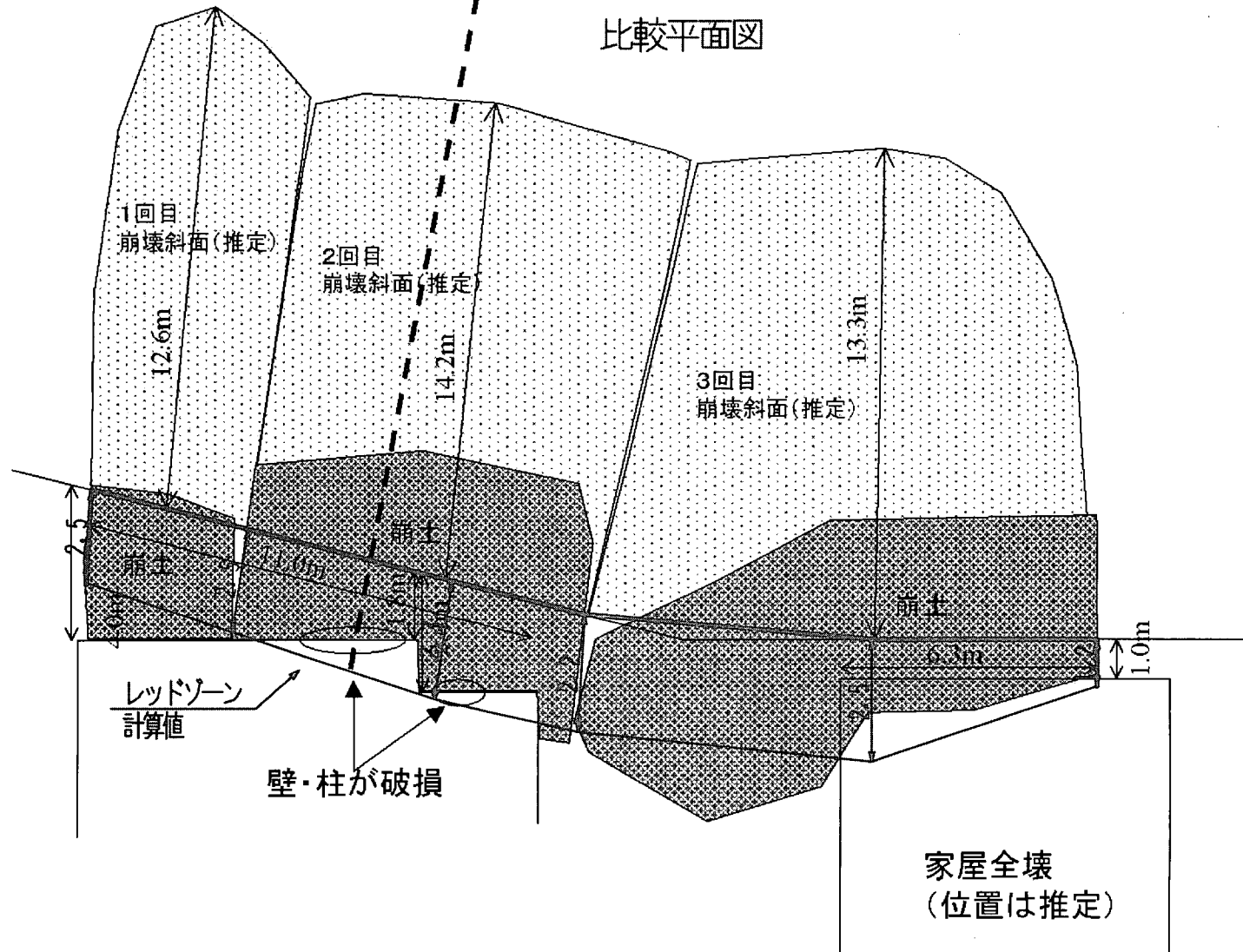
比較平面図



ケース②

下隈谷

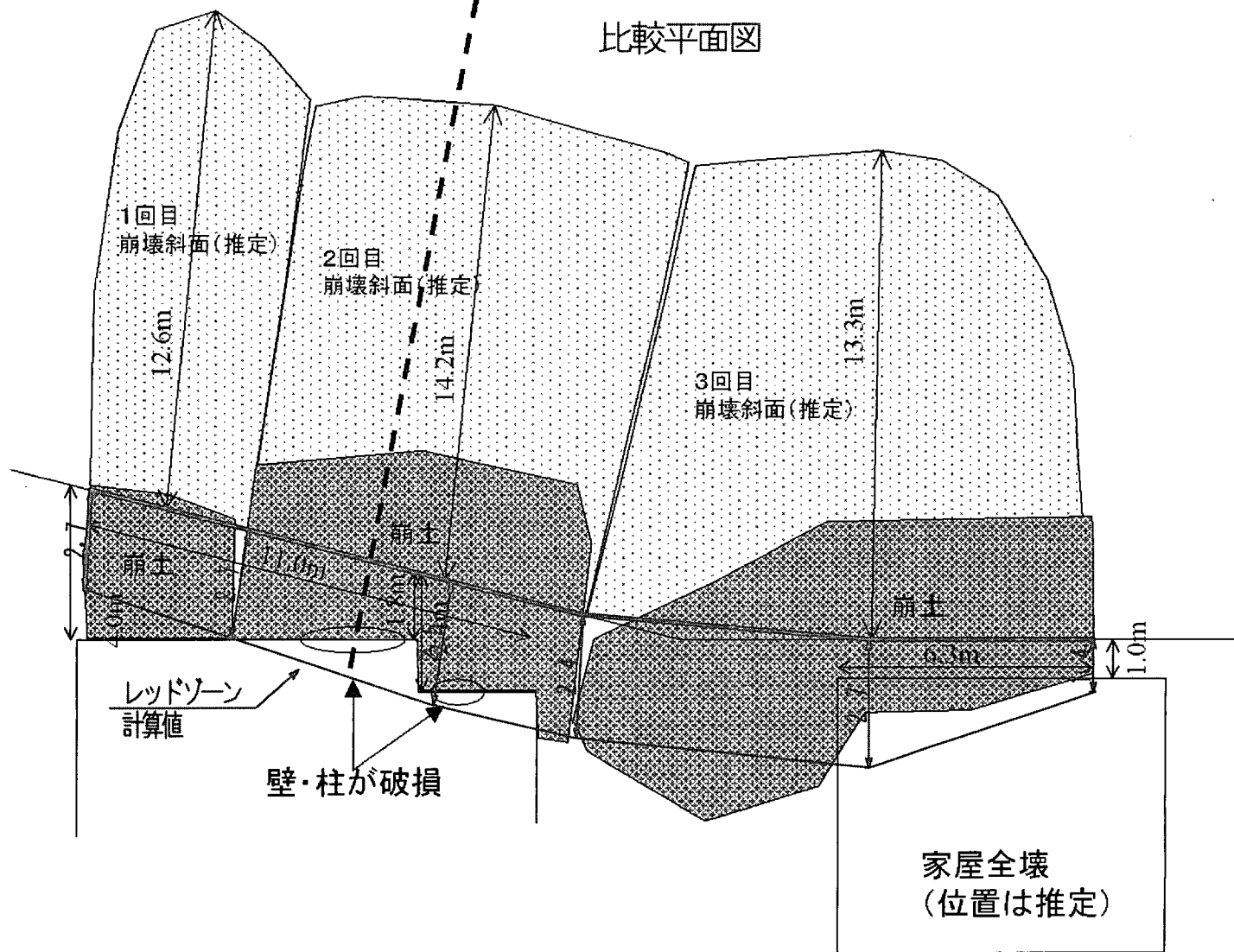
比較平面図



ケース③

下隈谷

比較平面図



## 麦川上

### 1) 計算諸元一覧

| 項目         | 記号              | 単位               | ケース1  | ケース2  | ケース3  | 備考     |
|------------|-----------------|------------------|-------|-------|-------|--------|
| 計算高さ       | H               | m                | 37.0  | 37.0  | 27.5  |        |
| 斜面勾配       | $\theta_u$      | °                | 34.0  | 34.0  | 34.0  |        |
| 土石等の密度     | $\rho_m$        | t/m <sup>3</sup> | 1.80  | 1.80  | 1.80  | 土質試験なし |
| 重力加速度      | g               | m/s <sup>2</sup> | 9.80  | 9.80  | 9.80  |        |
| 土石等の比重     | $\sigma$        | t/m <sup>3</sup> | 2.60  | 2.60  | 2.60  |        |
| 土石等の容積濃度   | c               | —                | 0.50  | 0.50  | 0.50  |        |
| 土石等の流体抵抗係数 | f <sub>b</sub>  | —                | 0.025 | 0.025 | 0.025 |        |
| 土石等の内部摩擦角  | $\phi$          | °                | 30    | 30    | 30    |        |
| 移動の高さ      | h <sub>sm</sub> | m                | 1.00  | 1.70  | 1.70  |        |

\*斜字は実測値、その他の値はケース1で設定した値と同じ値とした。

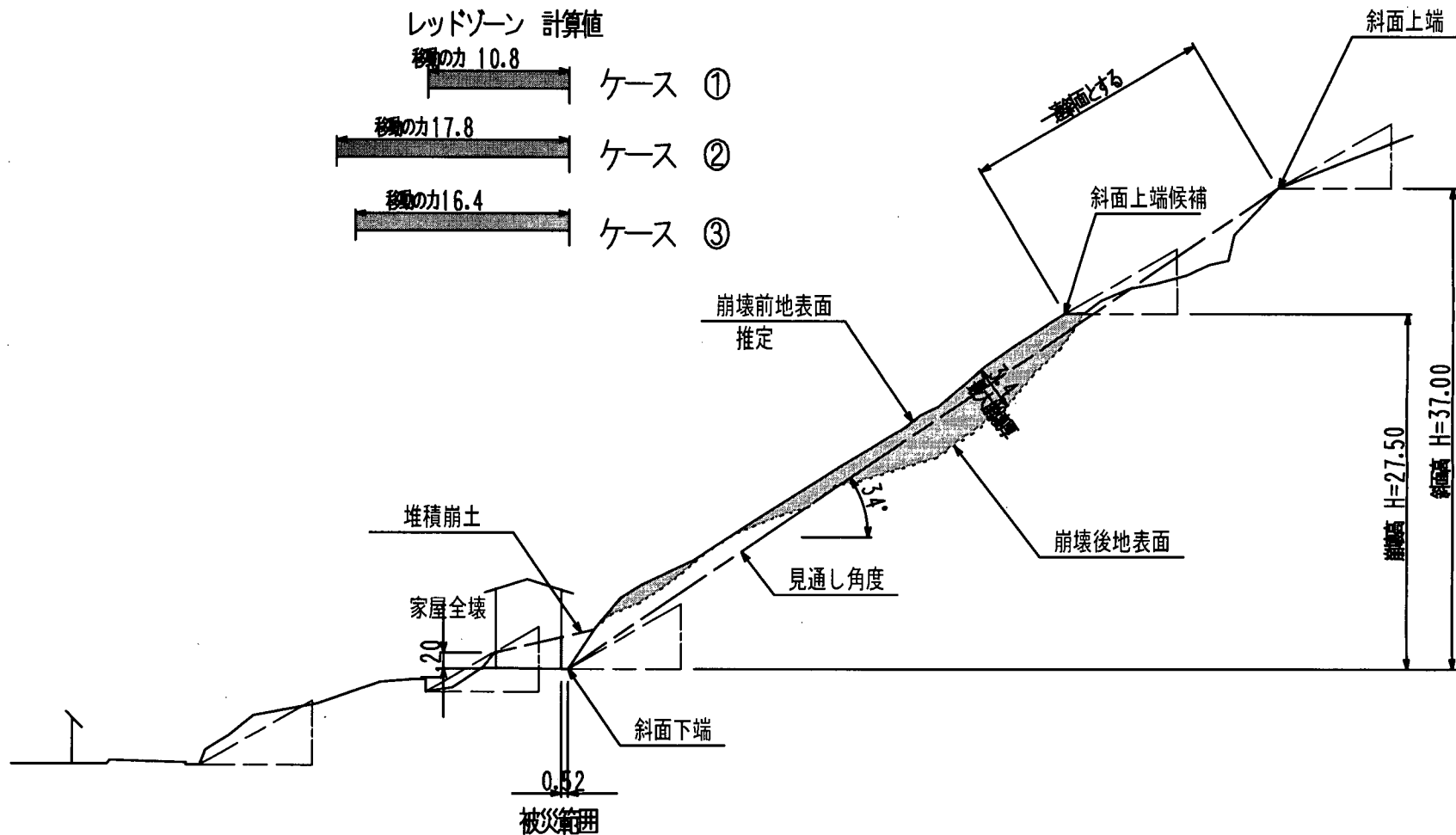
### 2) 計算結果一覧

|                            | ケース1 | ケース2 | ケース3 |
|----------------------------|------|------|------|
| 家屋被災範囲<br>(レッドゾーン)<br>(m)  | 10.8 | 17.8 | 16.4 |
| 崩土到達範囲<br>(イエローゾーン)<br>(m) | 50.0 | 50.0 | 50.0 |

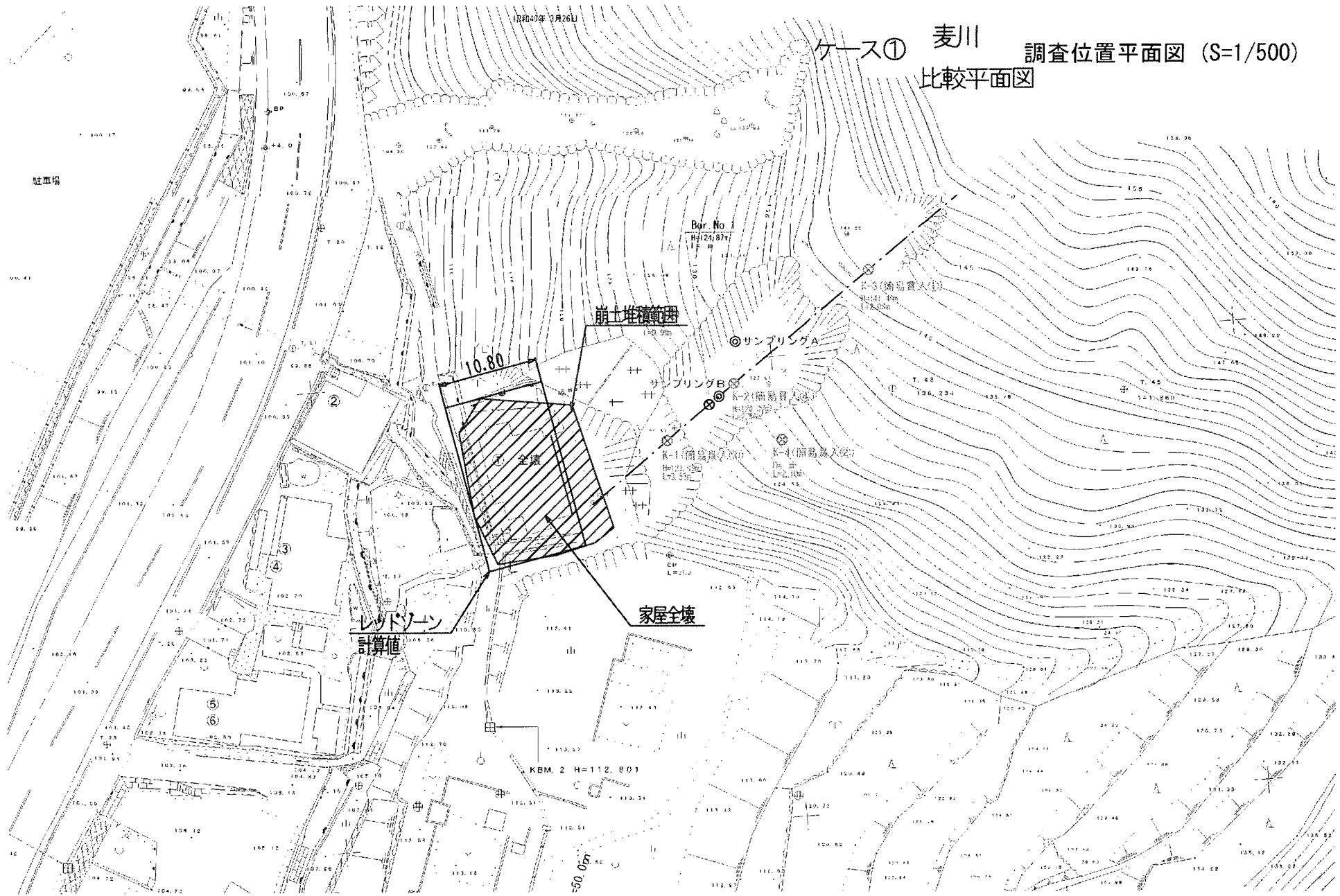
|           |         | ケース1 | ケース2 | ケース3 | 備考 |
|-----------|---------|------|------|------|----|
| 被災家屋      | 区域内     | 1    | 1    | 1    |    |
|           | 区域外     | 0    | 0    | 0    |    |
| 無被災家屋     | 区域内     | 0    | 1    | 0    |    |
|           | 区域内家屋合計 | 1    | 2    | 1    |    |
| 崩壊土砂到達範囲内 | 被災家屋    | 区域内  | 1    | 1    |    |
|           |         | 区域外  | 0    | 0    |    |
|           | 無被災家屋   | 区域内  | 0    | 0    |    |
|           |         | 区域外  | 0    | 0    |    |
|           | 合計      | 1    | 1    | 1    |    |

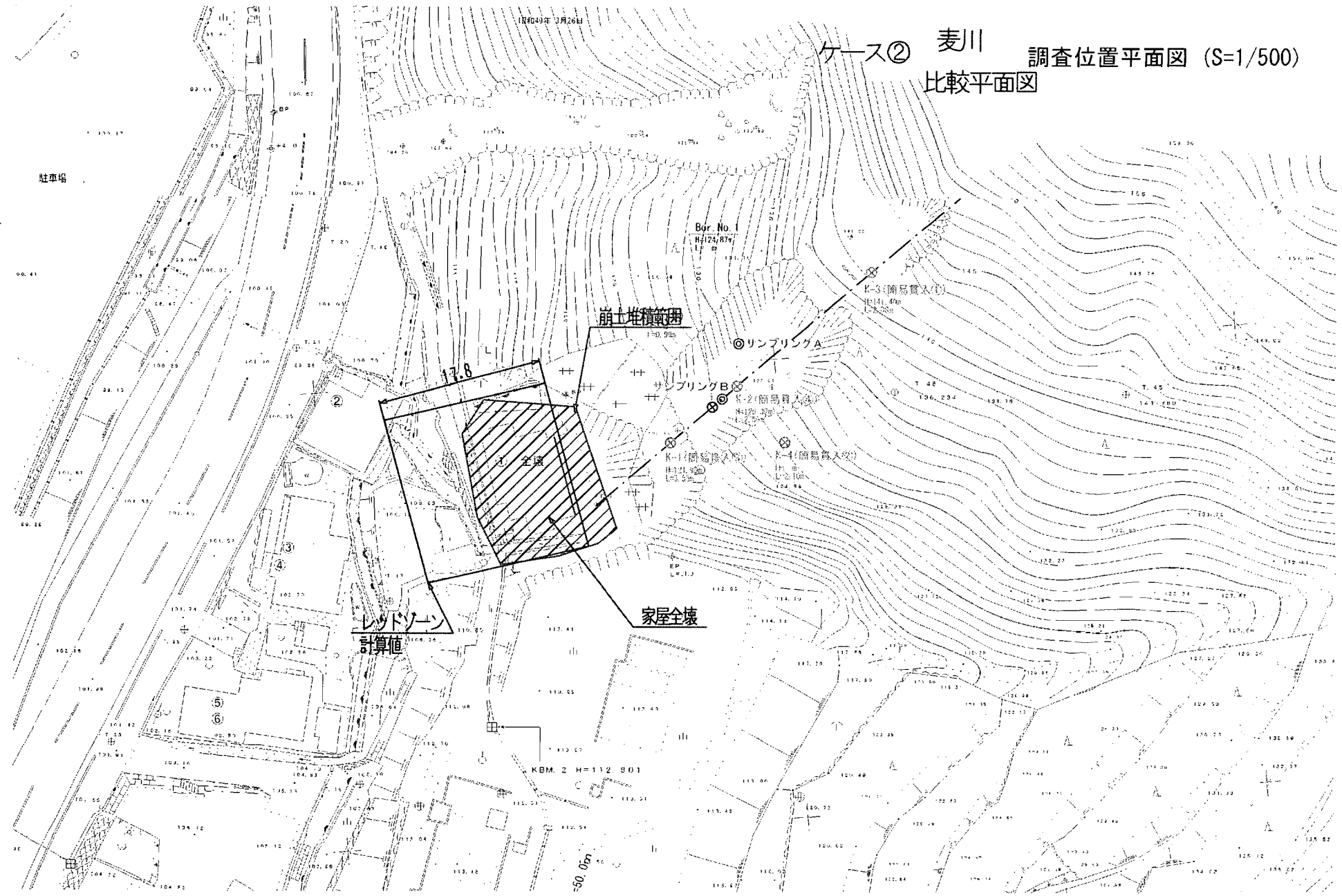
麦川上  
S=1:500

比較断面図

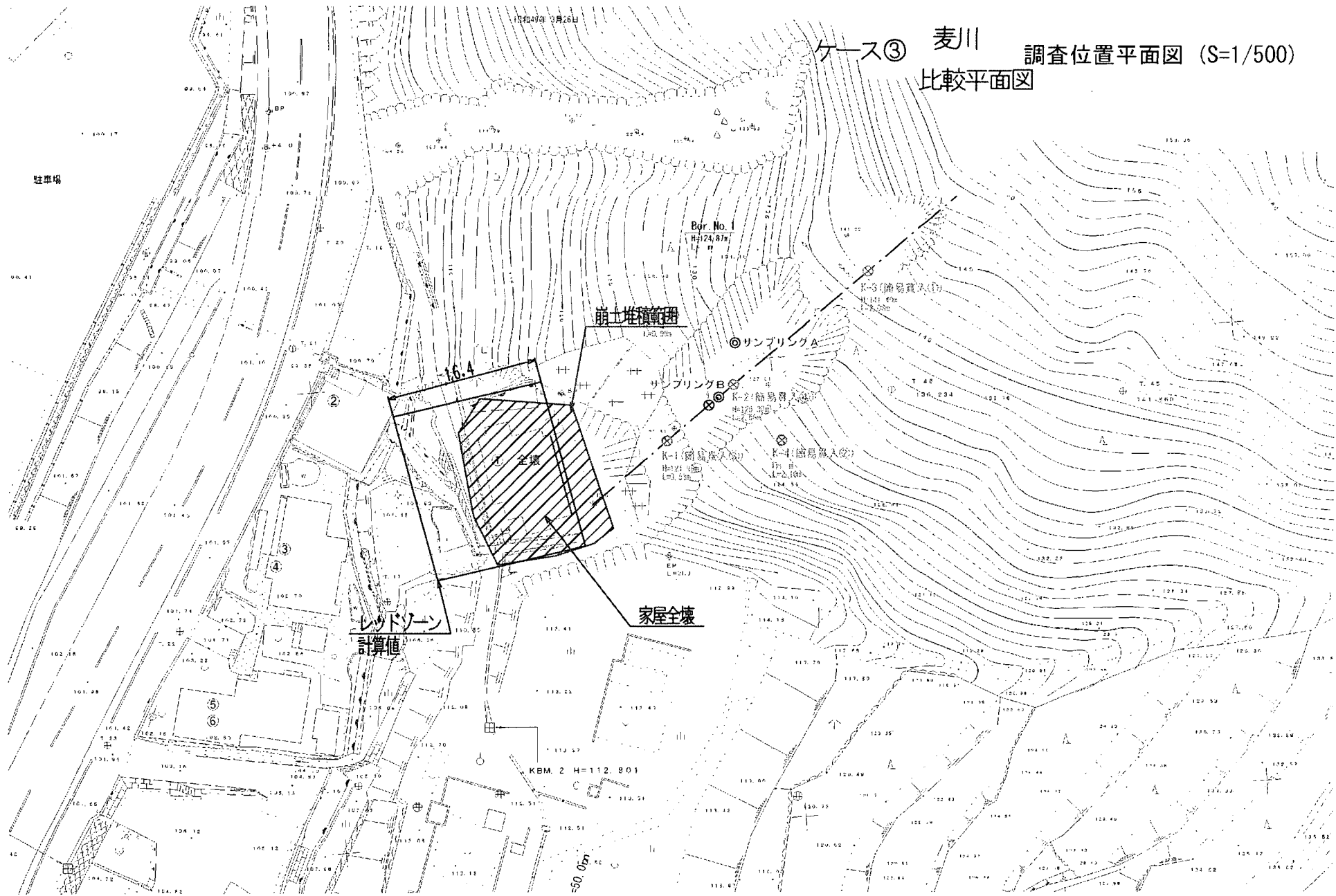


麦川 調査位置平面図 (S=1/500)  
比較平面図





## ケース③ 麦川 調査位置平面図 (S=1/500) 比較平面図



## 旭ヶ丘

### 1) 計算諸元一覧

| 項目         | 記号              | 単位               | ケース1  | ケース2  | ケース3  | 備考           |
|------------|-----------------|------------------|-------|-------|-------|--------------|
| 計算高さ       | H               | m                | 9.3   | 9.3   | 9.3   |              |
| 斜面勾配       | $\theta_u$      | °                | 39.0  | 39.0  | 39.0  |              |
| 土石等の密度     | $\rho_m$        | t/m <sup>3</sup> | 1.80  | 1.52  | 1.52  | 三軸圧縮試験(UU)あり |
| 重力加速度      | g               | m/s <sup>2</sup> | 9.80  | 9.80  | 9.80  |              |
| 土石等の比重     | $\sigma$        | t/m <sup>3</sup> | 2.60  | 2.63  | 2.63  |              |
| 土石等の容積濃度   | c               | —                | 0.50  | 0.50  | 0.50  |              |
| 土石等の流体抵抗係数 | f <sub>b</sub>  | —                | 0.025 | 0.025 | 0.025 |              |
| 土石等の内部摩擦角  | $\phi$          | °                | 30    | 3.9   | 3.9   | 粘性土          |
| 移動の高さ      | h <sub>sm</sub> | m                | 1.00  | 1.50  | 1.50  |              |

\*斜字は実測値、その他の値はケース1で設定した値と同じ値とした。

### 2) 計算結果一覧

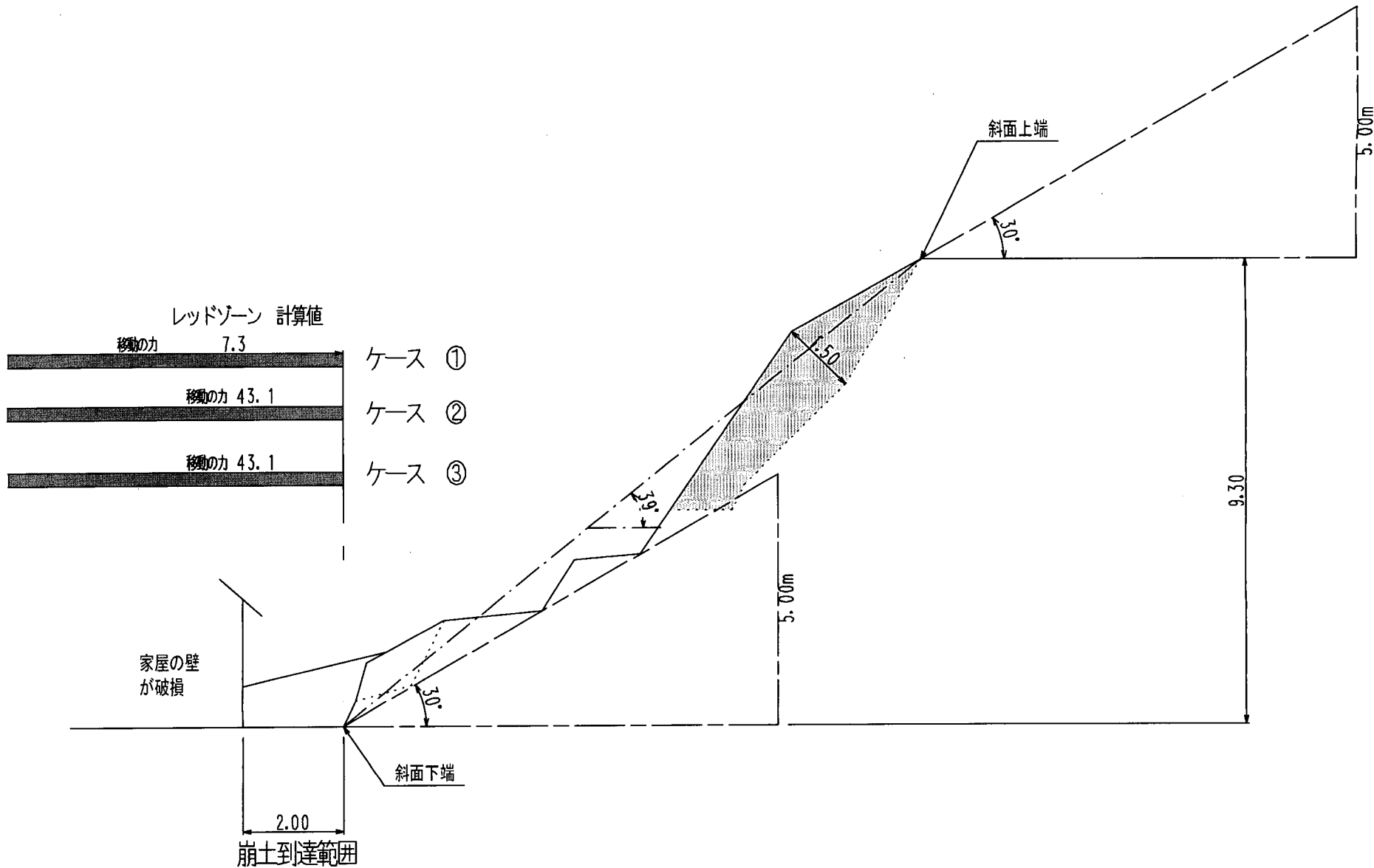
|                            | ケース1 | ケース2 | ケース3 |
|----------------------------|------|------|------|
| 家屋被災範囲<br>(レッドゾーン)<br>(m)  | 7.3  | 43.1 | 43.1 |
| 崩土到達範囲<br>(イエローノーン)<br>(m) | 18.6 | 18.6 | 18.6 |

|           |       | ケース1 | ケース2 | ケース3 | 備考        |
|-----------|-------|------|------|------|-----------|
| 被災家屋      | 区域内   | 1    | 1    | 1    |           |
|           | 区域外   | 0    | 0    | 0    |           |
| 無被災家屋     | 区域内   | 0    | 4    | 4    | ケース2、3は推定 |
| 区域内家屋合計   |       | 1    | 5    | 5    |           |
| 崩壊土砂到達範囲内 | 被災家屋  | 区域内  | 1    | 1    |           |
|           |       | 区域外  | 0    | 0    |           |
|           | 無被災家屋 | 区域内  | 0    | 0    |           |
|           |       | 区域外  | 0    | 0    |           |
|           | 合計    | 1    | 1    | 1    |           |

旭ヶ丘地区  
S=1:100

比較断面図

- 35 -

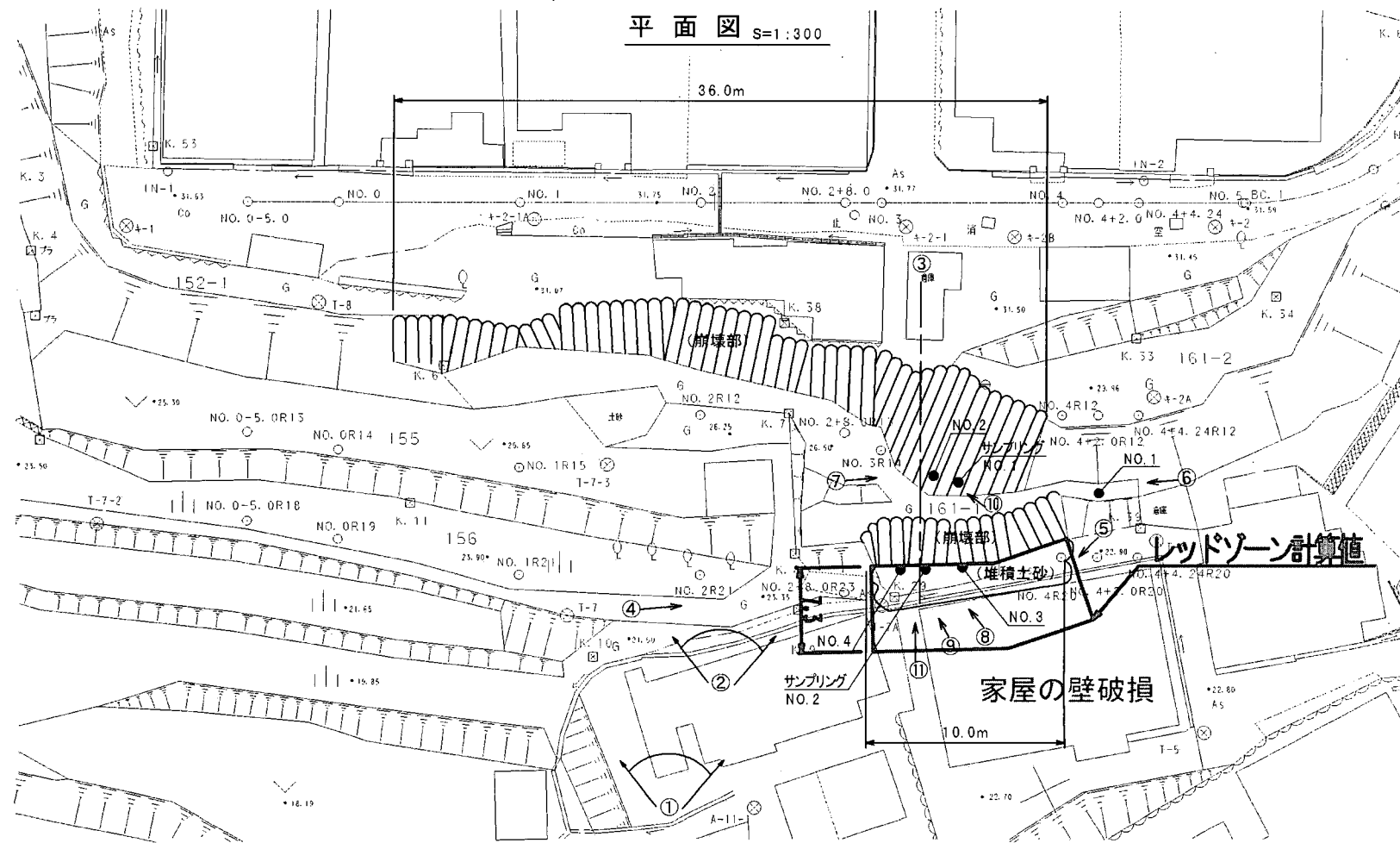


旭ヶ丘地区

S=1:500

比較平面図

ケース 1

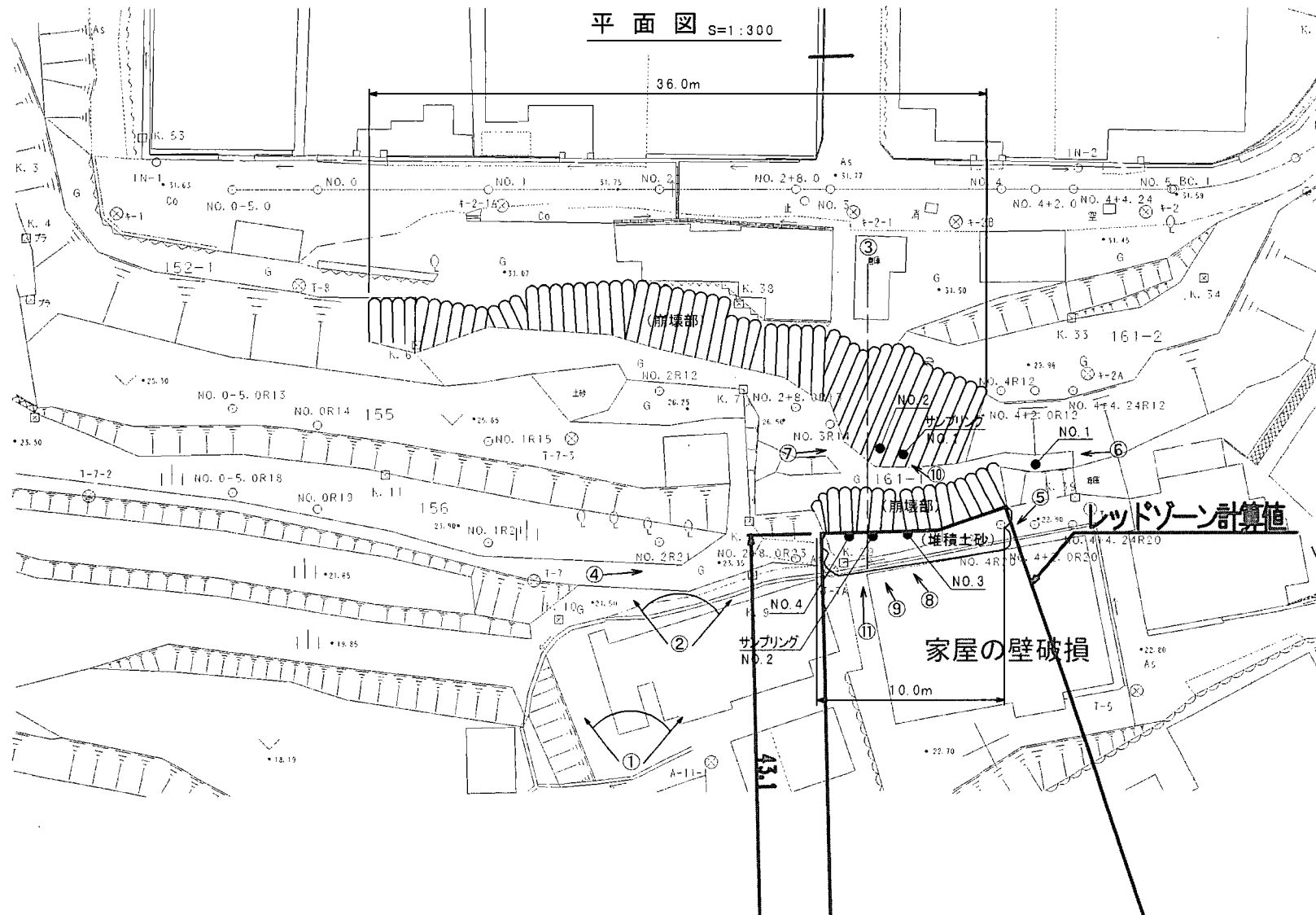


旭ヶ丘地区

S=1 : 500

比較平面圖

ケース 2

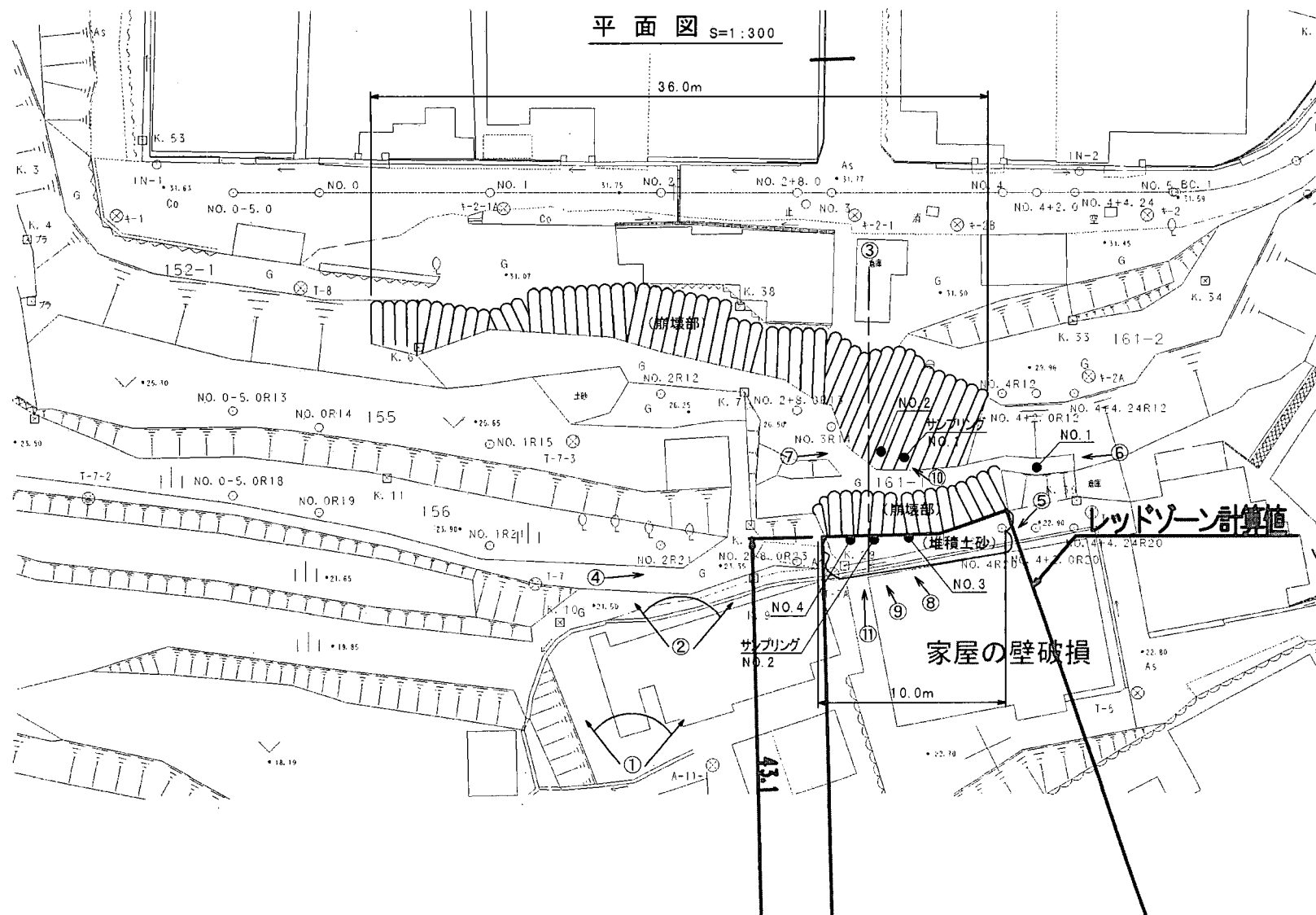


旭ヶ丘地区

S=1 : 500

比較平面圖

ケース 3



## 安垣①

### 1) 計算諸元一覧

| 項目         | 記号              | 単位               | ケース1  | ケース2  | ケース3  | 備考           |
|------------|-----------------|------------------|-------|-------|-------|--------------|
| 計算高さ       | H               | m                | 22.0  | 22.0  | 18.5  |              |
| 斜面勾配       | $\theta_u$      | °                | 50.0  | 50.0  | 50.0  |              |
| 土石等の密度     | $\rho_m$        | t/m <sup>3</sup> | 1.80  | 1.80  | 1.80  | 三軸圧縮試験(CD)あり |
| 重力加速度      | g               | m/s <sup>2</sup> | 9.80  | 9.80  | 9.80  |              |
| 土石等の比重     | $\sigma$        | t/m <sup>3</sup> | 2.60  | 2.64  | 2.64  |              |
| 土石等の容積濃度   | c               | —                | 0.50  | 0.50  | 0.50  |              |
| 土石等の流体抵抗係数 | f <sub>b</sub>  | —                | 0.025 | 0.025 | 0.025 |              |
| 土石等の内部摩擦角  | $\phi$          | °                | 30    | 42    | 42    |              |
| 移動の高さ      | h <sub>sm</sub> | m                | 1.00  | 1.25  | 1.25  |              |

\*斜字は実測値、その他の値はケース1で設定した値と同じ値とした。

### 2) 計算結果一覧

|                            | ケース1 | ケース2 | ケース3 |
|----------------------------|------|------|------|
| 家屋被災範囲<br>(レッドゾーン)<br>(m)  | 9.5  | 6.6  | 6.1  |
| 崩土到達範囲<br>(イエローノーン)<br>(m) | 44.0 | 44.0 | 37.0 |

|           |       |     | ケース1 | ケース2 | ケース3 | 備考 |
|-----------|-------|-----|------|------|------|----|
| 被災家屋      | 区域内   | 1   | 1    | 1    |      |    |
|           | 区域外   | 0   | 0    | 0    |      |    |
| 無被災家屋     | 区域内   | 0   | 0    | 0    |      |    |
| 区域内家屋合計   |       |     | 1    | 1    | 1    |    |
| 崩壊土砂到達範囲内 | 被災家屋  | 区域内 | 1    | 1    | 1    |    |
|           |       | 区域外 | 0    | 0    | 0    |    |
|           | 無被災家屋 | 区域内 | 0    | 0    | 0    |    |
|           |       | 区域外 | 0    | 0    | 0    |    |
|           | 合計    | 1   | 1    | 1    |      |    |

安垣地区 ①

S=1:200

比較断面図

レッドゾーン 計算値

移動の力 9.50

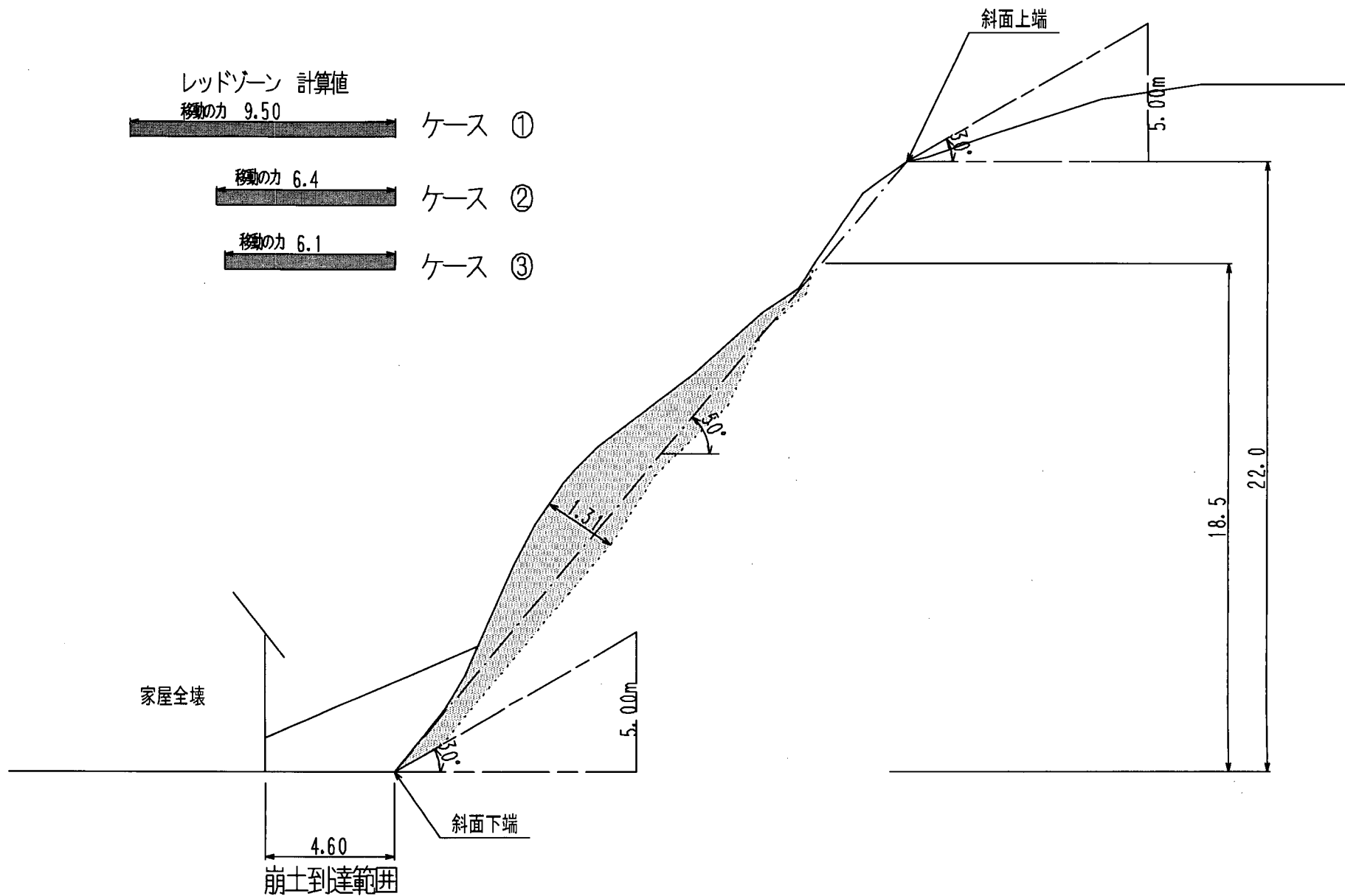
ケース ①

移動の力 6.4

ケース ②

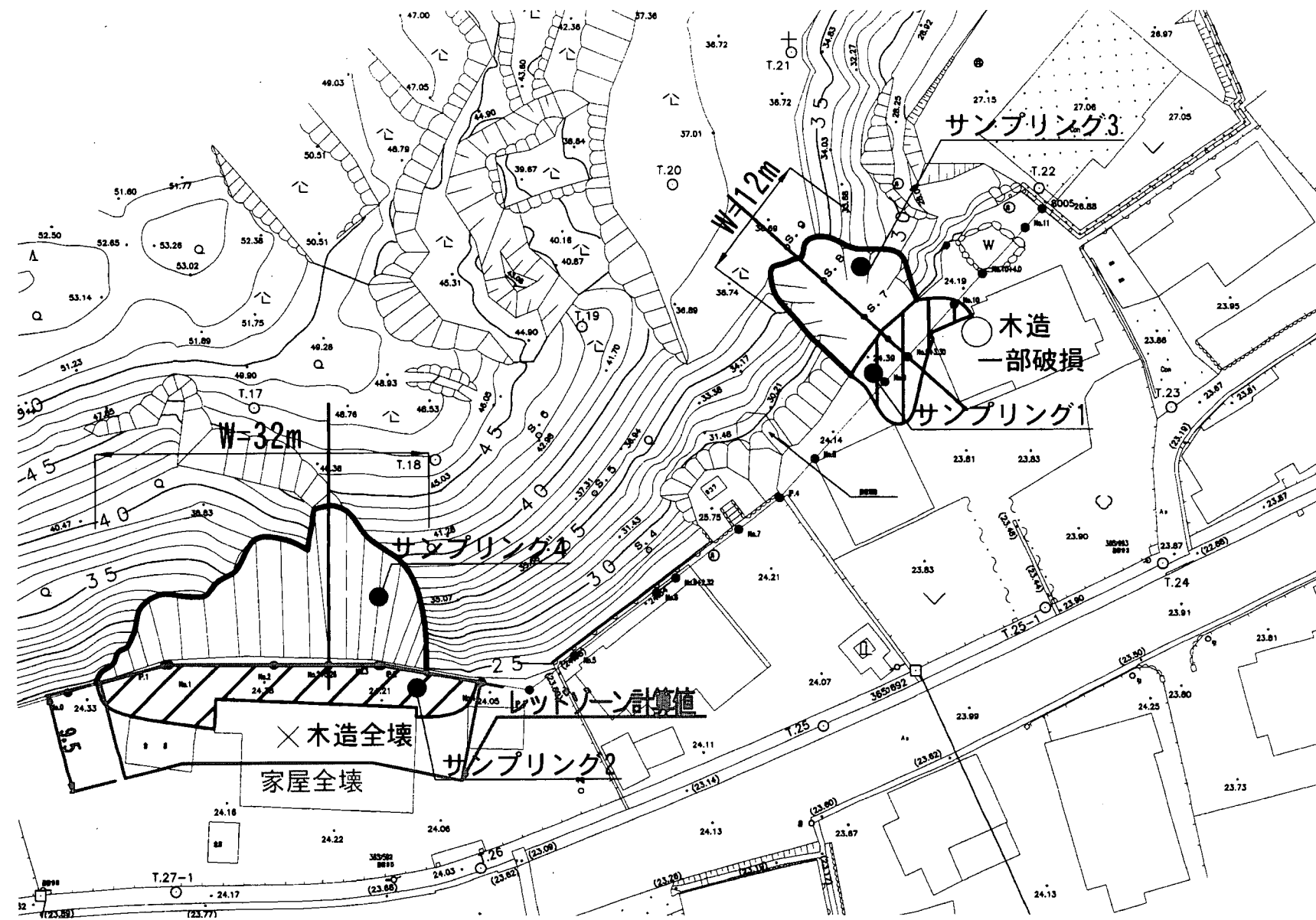
移動の力 6.1

ケース ③



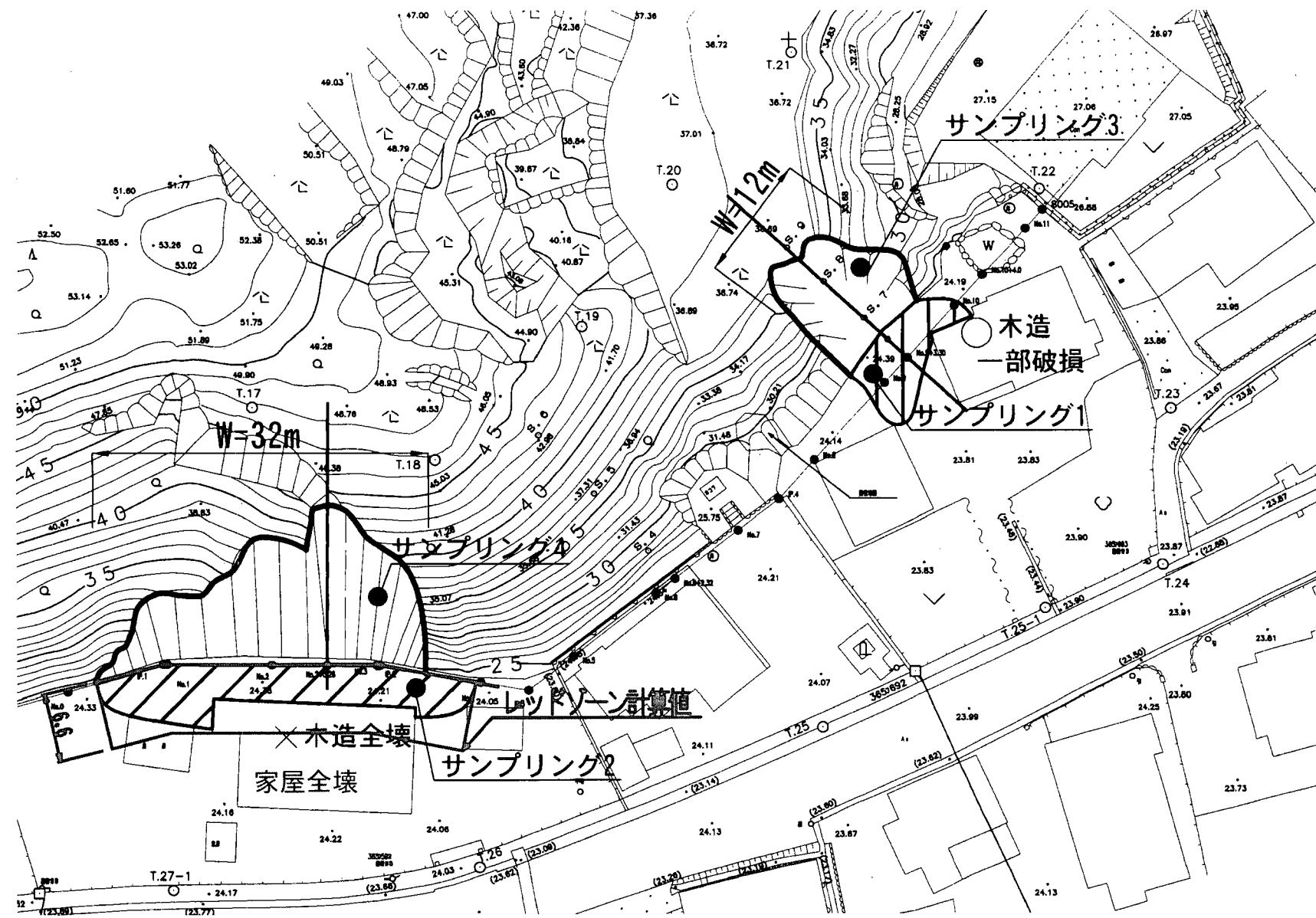
安垣地区 ①

S=1:500



安垣地区 ①

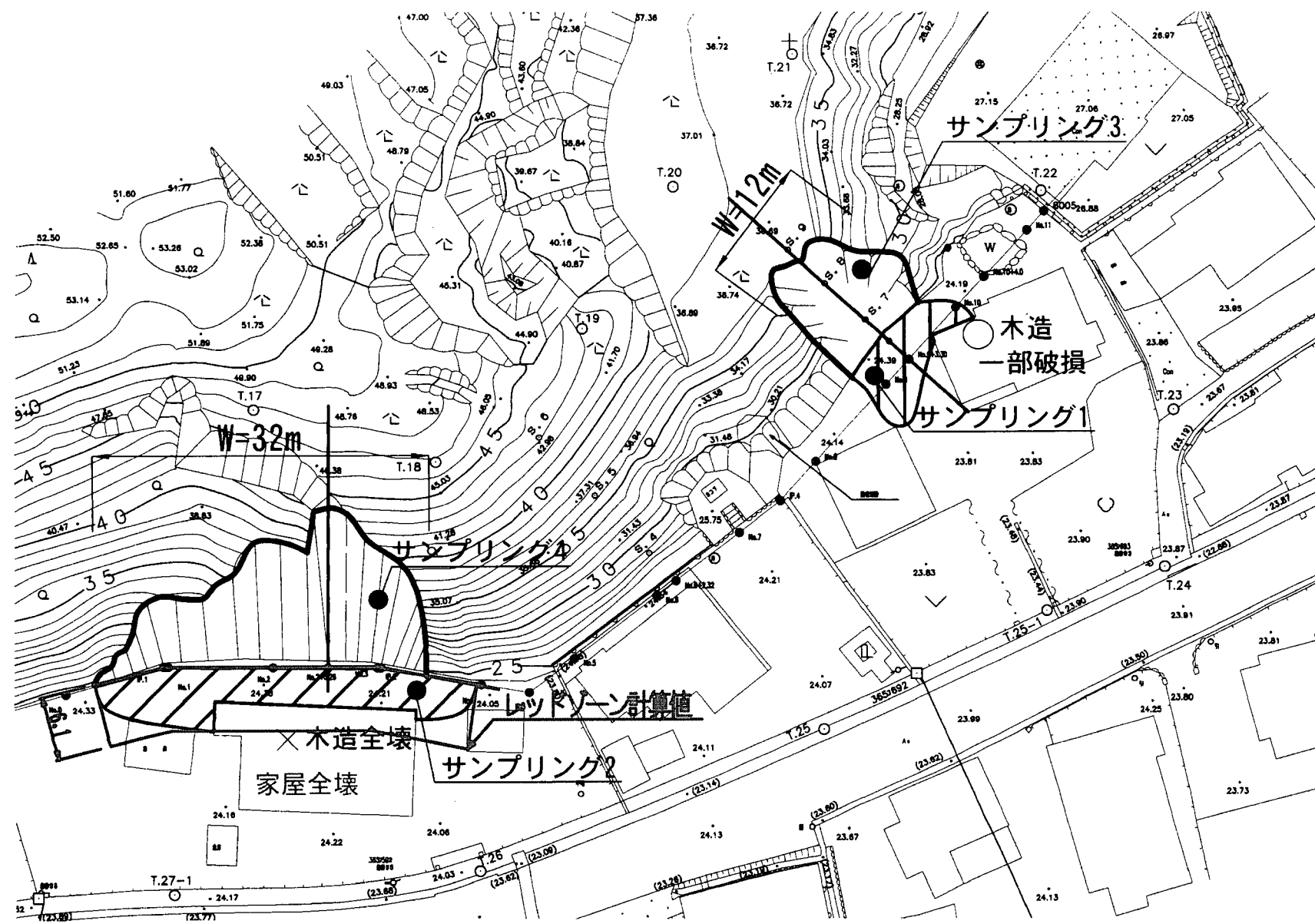
S=1:500



安壠地区 ①

S=1 : 500

## 比較平面図 ケース 3



## 安垣②

### 1) 計算諸元一覧

| 項目         | 記号              | 単位               | ケース1  | ケース2  | ケース3  | 備考           |
|------------|-----------------|------------------|-------|-------|-------|--------------|
| 計算高さ       | H               | m                | 11.5  | 11.5  | 11.8  |              |
| 斜面勾配       | $\theta_u$      | °                | 50.0  | 50.0  | 50.0  |              |
| 土石等の密度     | $\rho_m$        | t/m <sup>3</sup> | 1.80  | 1.80  | 1.80  | 三軸圧縮試験(CD)あり |
| 重力加速度      | g               | m/s <sup>2</sup> | 9.80  | 9.80  | 9.80  |              |
| 土石等の比重     | $\sigma$        | t/m <sup>3</sup> | 2.60  | 2.64  | 2.64  |              |
| 土石等の容積濃度   | c               | —                | 0.50  | 0.50  | 0.50  |              |
| 土石等の流体抵抗係数 | f <sub>b</sub>  | —                | 0.025 | 0.025 | 0.025 |              |
| 土石等の内部摩擦角  | $\phi$          | °                | 30    | 40    | 40    |              |
| 移動の高さ      | h <sub>sm</sub> | m                | 1.00  | 1.25  | 1.25  |              |

\*斜字は実測値、その他の値はケース1で設定した値と同じ値とした。

### 2) 計算結果一覧

|                            | ケース1 | ケース2 | ケース3 |
|----------------------------|------|------|------|
| 家屋被災範囲<br>(レッドゾーン)<br>(m)  | 7.0  | 5.1  | 5.2  |
| 崩土到達範囲<br>(イエローノーン)<br>(m) | 23.0 | 23.0 | 23.6 |

|           |         | ケース1 | ケース2 | ケース3 | 備考 |
|-----------|---------|------|------|------|----|
| 被災家屋      | 区域内     | 1    | 1    | 1    |    |
|           | 区域外     | 0    | 0    | 0    |    |
| 無被災家屋     | 区域内     | 0    | 0    | 0    |    |
|           | 区域内家屋合計 | 1    | 1    | 1    |    |
| 崩壊土砂到達範囲内 | 被災家屋    | 区域内  | 1    | 1    | 1  |
|           |         | 区域外  | 0    | 0    | 0  |
|           | 無被災家屋   | 区域内  | 0    | 0    | 0  |
|           |         | 区域外  | 0    | 0    | 0  |
|           | 合計      | 1    | 1    | 1    |    |

安垣地区 ②

S=1:200

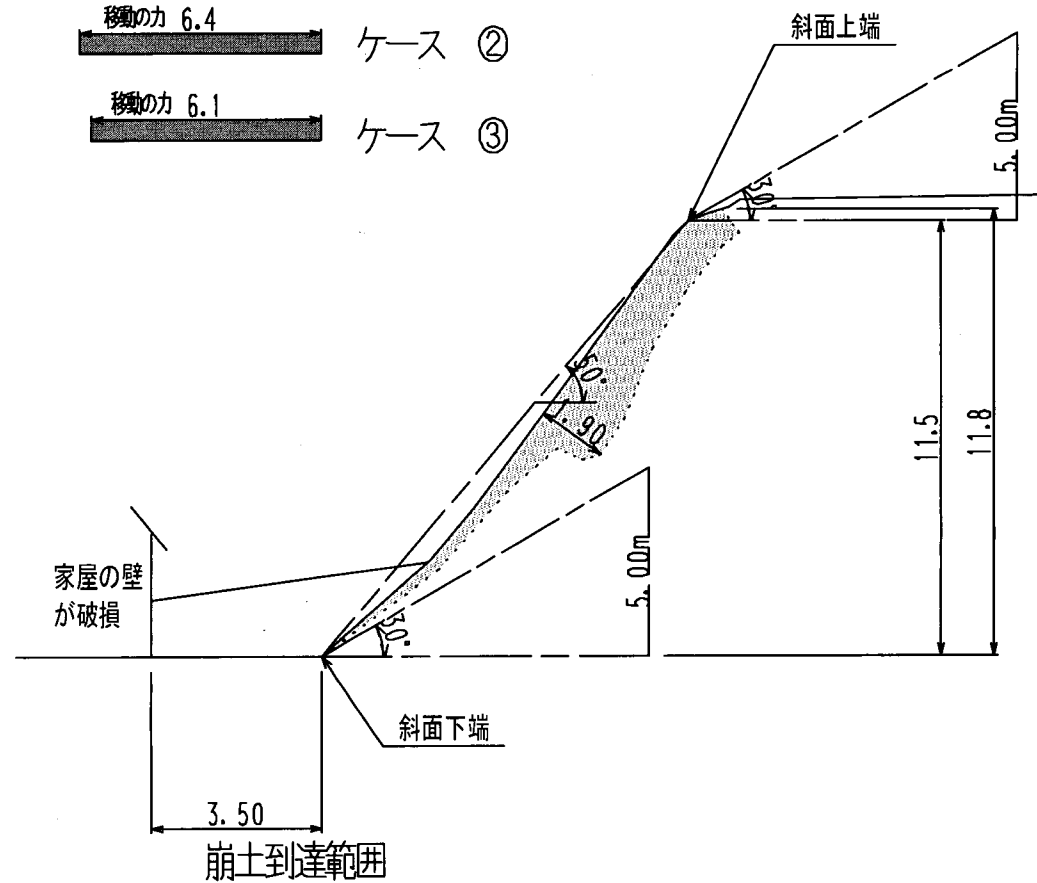
比較断面図

レッドゾーン 計算値

移動の力 7.00  
ケース ①

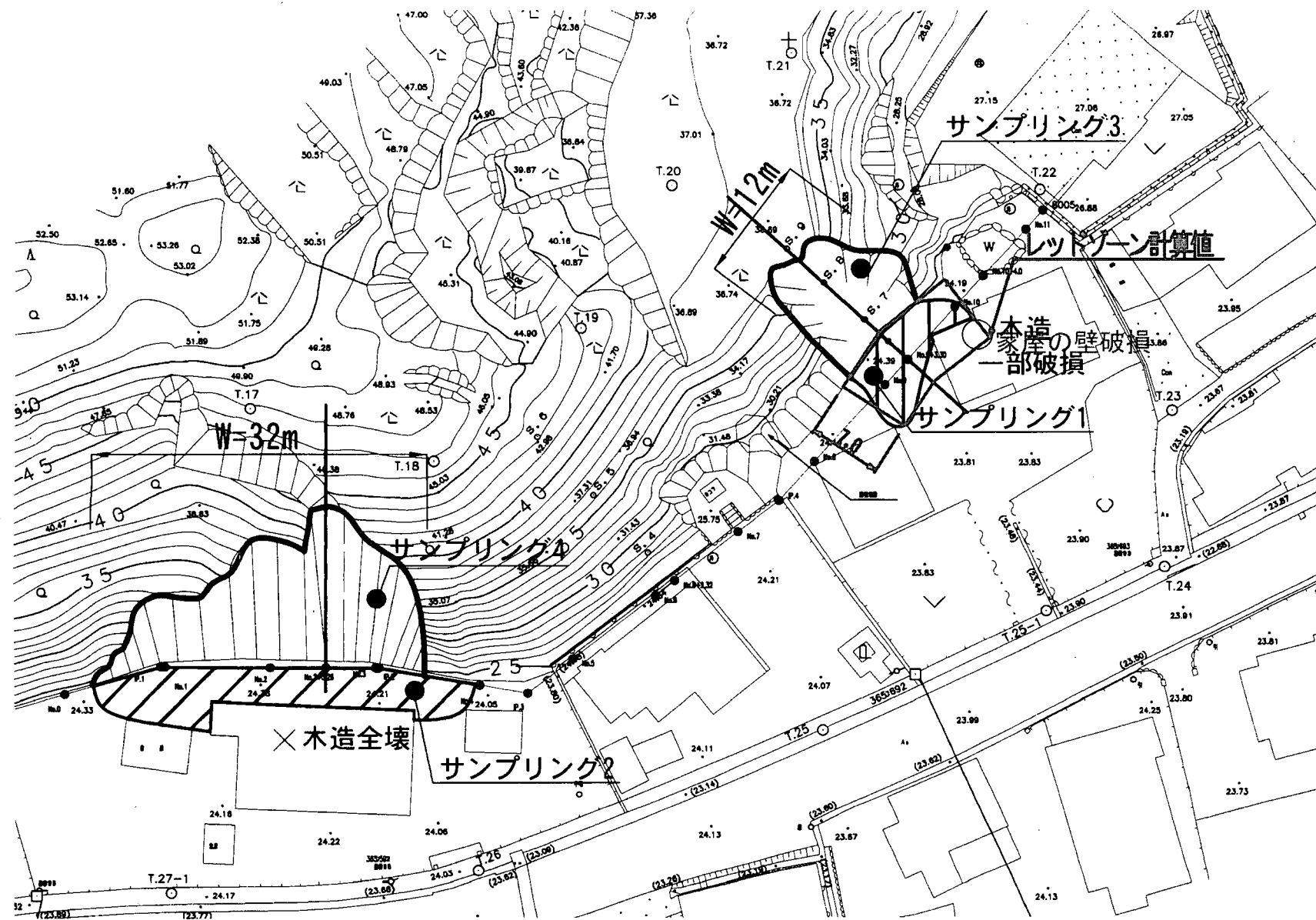
移動の力 6.4  
ケース ②

移動の力 6.1  
ケース ③



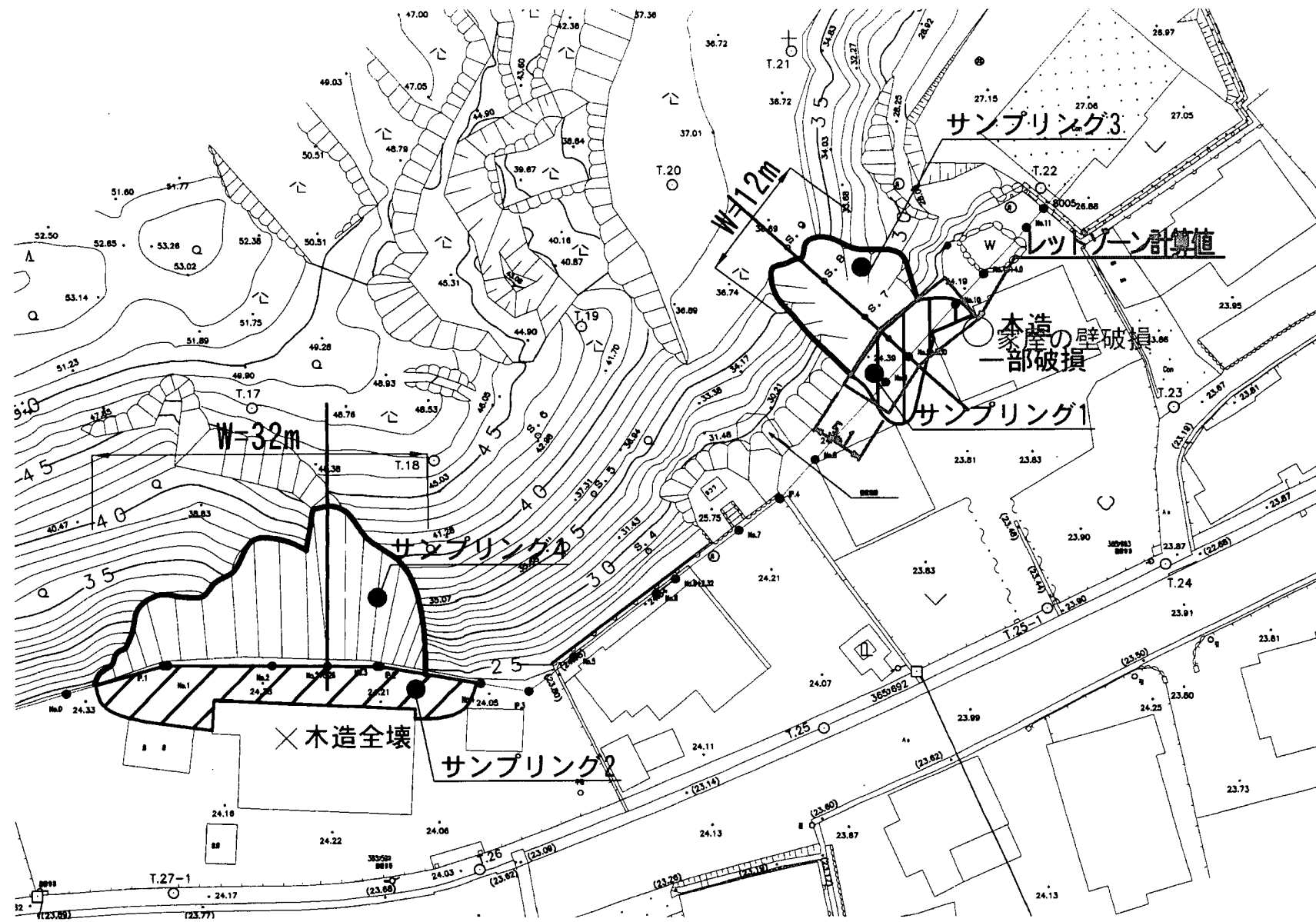
安垣地区 ②

S=1:500



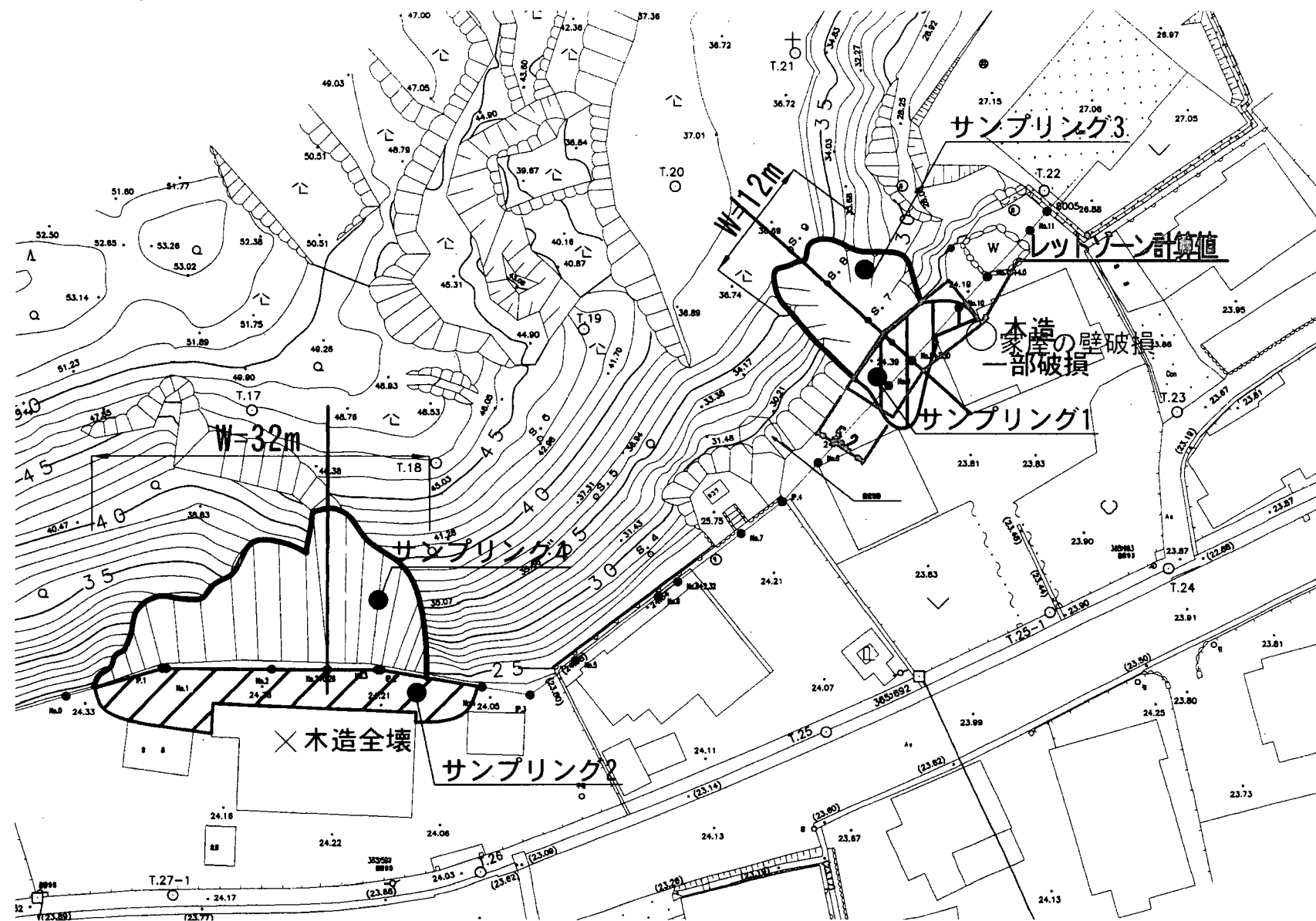
安垣地区 ②

S=1:500



安垣地区 ②

S=1 : 500



## 津原②

### 1) 計算諸元一覧

| 項目         | 記号              | 単位               | ケース1  | ケース2  | ケース3  | 備考           |
|------------|-----------------|------------------|-------|-------|-------|--------------|
| 計算高さ       | H               | m                | 13.5  | 13.5  | 11.0  |              |
| 斜面勾配       | $\theta_u$      | °                | 37.0  | 37.0  | 37.0  |              |
| 土石等の密度     | $\rho_m$        | t/m <sup>3</sup> | 1.80  | 1.68  | 1.68  | 三軸圧縮試験(CD)あり |
| 重力加速度      | g               | m/s <sup>2</sup> | 9.80  | 9.80  | 9.80  |              |
| 土石等の比重     | $\sigma$        | t/m <sup>3</sup> | 2.60  | 2.64  | 2.64  |              |
| 土石等の容積濃度   | c               | —                | 0.50  | 0.50  | 0.50  |              |
| 土石等の流体抵抗係数 | f <sub>b</sub>  | —                | 0.025 | 0.025 | 0.025 |              |
| 土石等の内部摩擦角  | $\phi$          | °                | 30    | 33.7  | 33.7  |              |
| 移動の高さ      | h <sub>sm</sub> | m                | 1.00  | 0.90  | 0.90  |              |

\*斜字は実測値、その他の値はケース1で設定した値と同じ値とした。

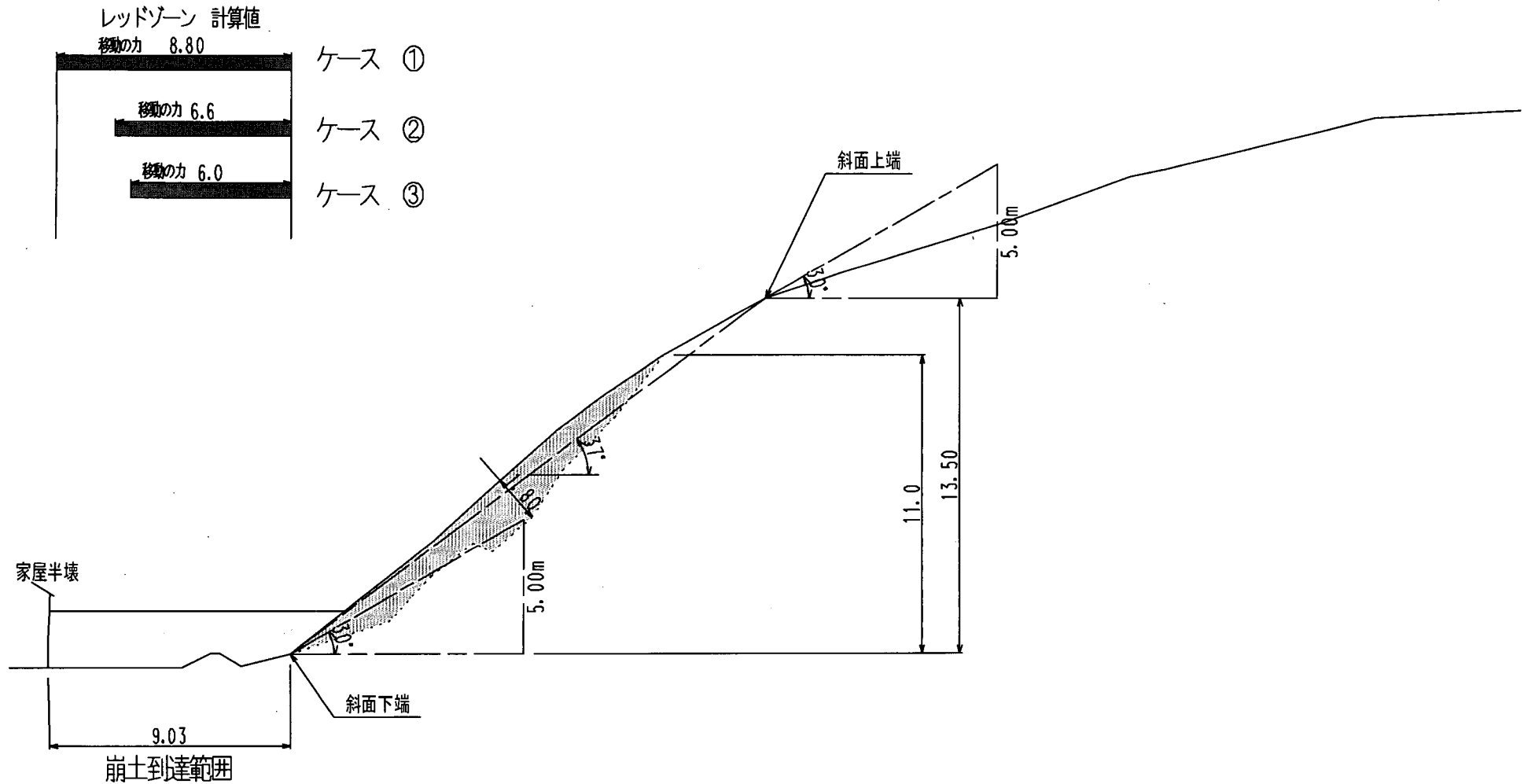
### 2) 計算結果一覧

|                            | ケース1 | ケース2 | ケース3 |
|----------------------------|------|------|------|
| 家屋被災範囲<br>(レッドゾーン)<br>(m)  | 8.8  | 6.6  | 6.0  |
| 崩土到達範囲<br>(イエローゾーン)<br>(m) | 27.0 | 27.0 | 22.0 |

|           |       | ケース1 | ケース2 | ケース3 | 備考 |
|-----------|-------|------|------|------|----|
| 被災家屋      | 区域内   | 0    | 0    | 0    |    |
|           | 区域外   | 1    | 1    | 1    |    |
| 無被災家屋     |       | 0    | 0    | 0    |    |
| 区域内家屋合計   |       | 0    | 0    | 0    |    |
| 崩壊土砂到達範囲内 | 被災家屋  | 区域内  | 0    | 0    |    |
|           |       | 区域外  | 1    | 1    |    |
|           | 無被災家屋 | 区域内  | 0    | 0    |    |
|           |       | 区域外  | 0    | 0    |    |
|           | 合計    | 1    | 1    | 1    |    |

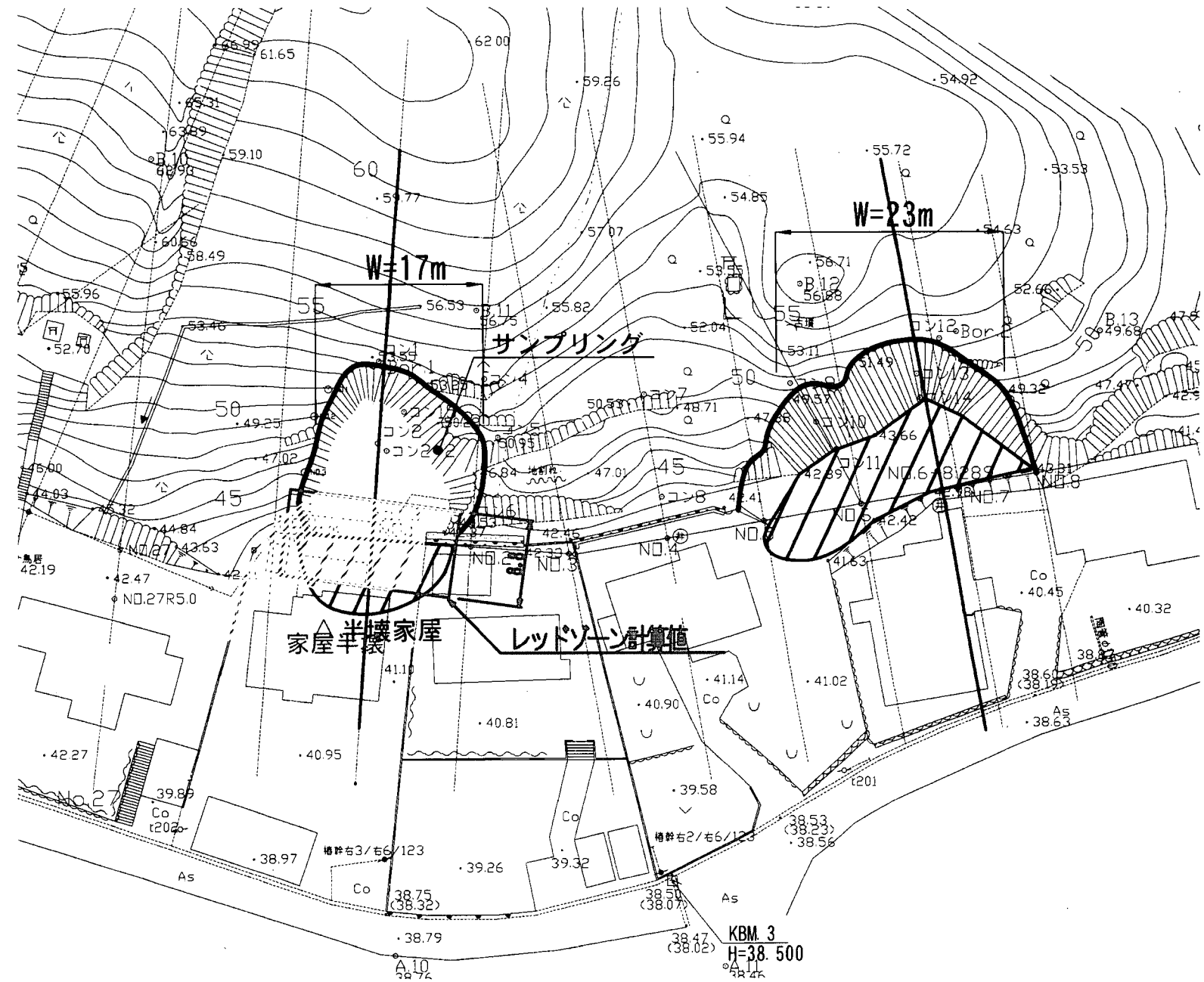
津原地区 ②  
S=1:200

比較断面図



津原地区 ②  
S=1:500

## 比較平面図 ケース 1

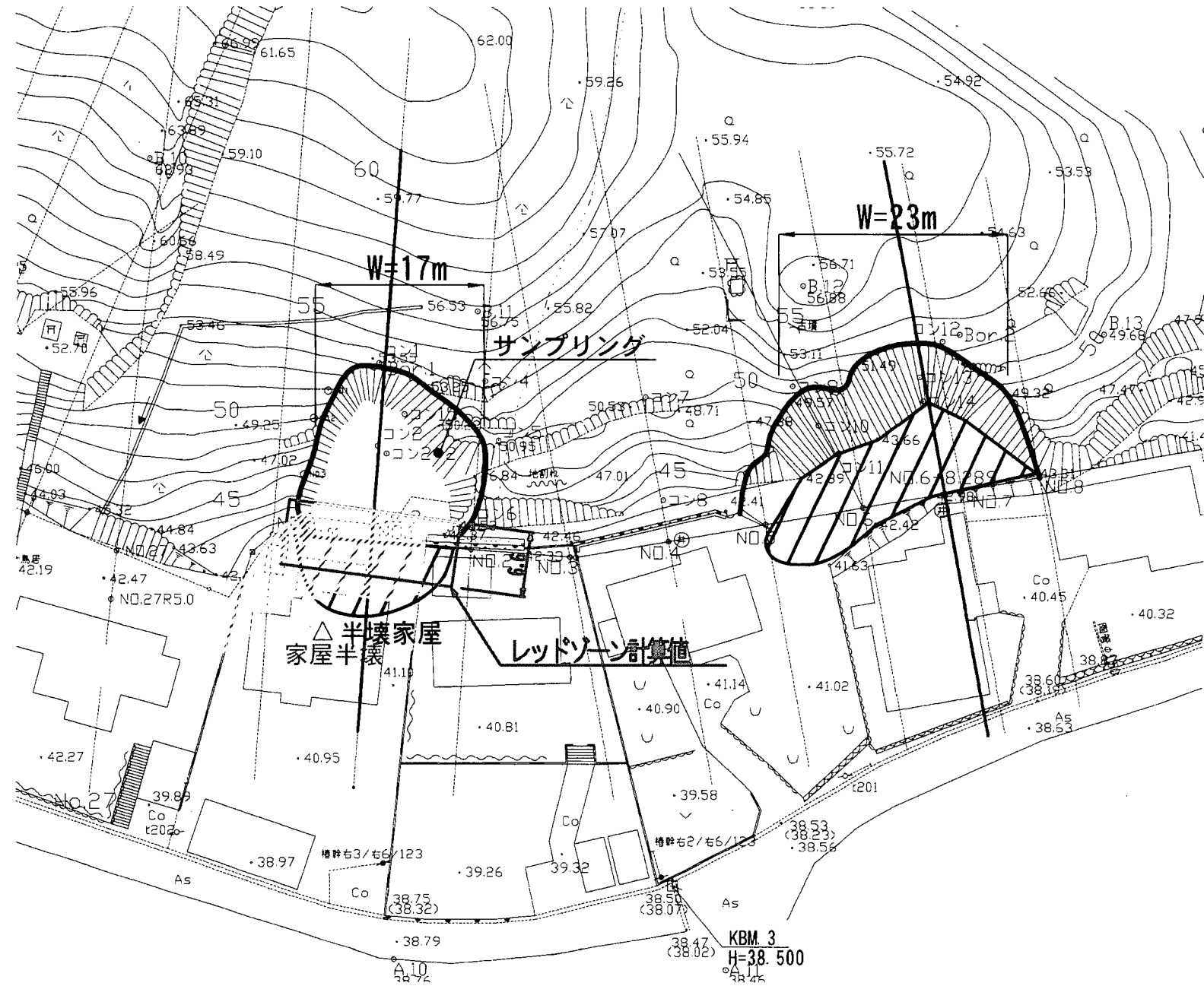


津原地区 ②

S=1:500

比較平面図  
ケース 2

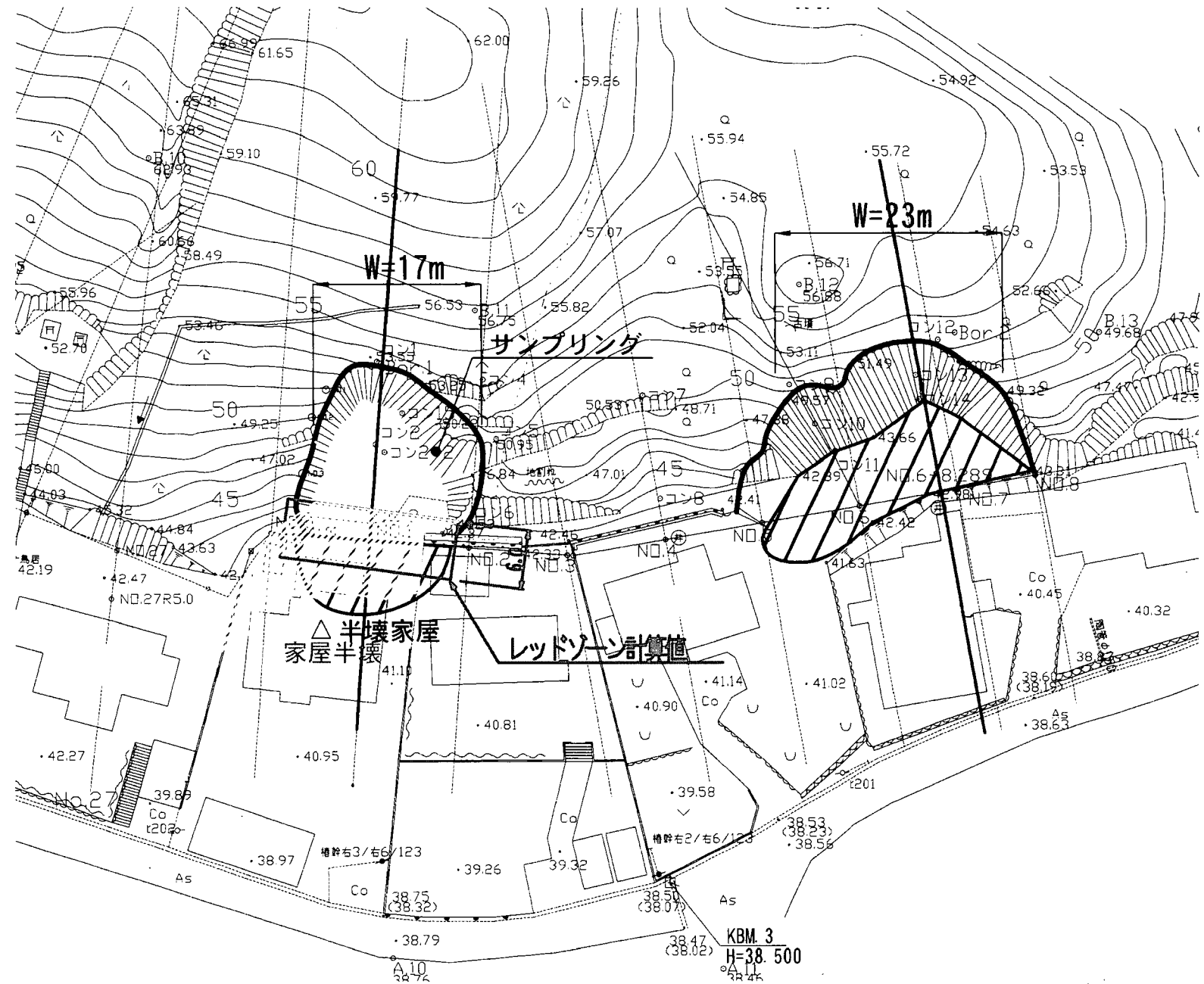
- 52 -



津原地区 ②  
S=1:500

S=1:500

## 比較平面図 ケース 3



## 高尾地区

### 1) 計算諸元一覧

| 項目         | 記号              | 単位               | ケース1  | ケース2  | ケース3  | 備考           |
|------------|-----------------|------------------|-------|-------|-------|--------------|
| 計算高さ       | H               | m                | 10.0  | 10.0  | 11.0  |              |
| 斜面勾配       | $\theta_u$      | °                | 34.0  | 34.0  | 34.0  |              |
| 土石等の密度     | $\rho_m$        | t/m <sup>3</sup> | 1.80  | 1.70  | 1.70  | 三軸圧縮試験(CD)あり |
| 重力加速度      | g               | m/s <sup>2</sup> | 9.80  | 9.80  | 9.80  |              |
| 土石等の比重     | $\sigma$        | t/m <sup>3</sup> | 2.60  | 2.71  | 2.71  |              |
| 土石等の容積濃度   | c               | —                | 0.50  | 0.50  | 0.50  |              |
| 土石等の流体抵抗係数 | f <sub>b</sub>  | —                | 0.025 | 0.025 | 0.025 |              |
| 土石等の内部摩擦角  | $\phi$          | °                | 30    | 19    | 19    |              |
| 移動の高さ      | h <sub>sm</sub> | m                | 1.00  | 1.00  | 1.00  |              |

\*斜字は実測値、その他の値はケース1で設定した値と同じ値とした。

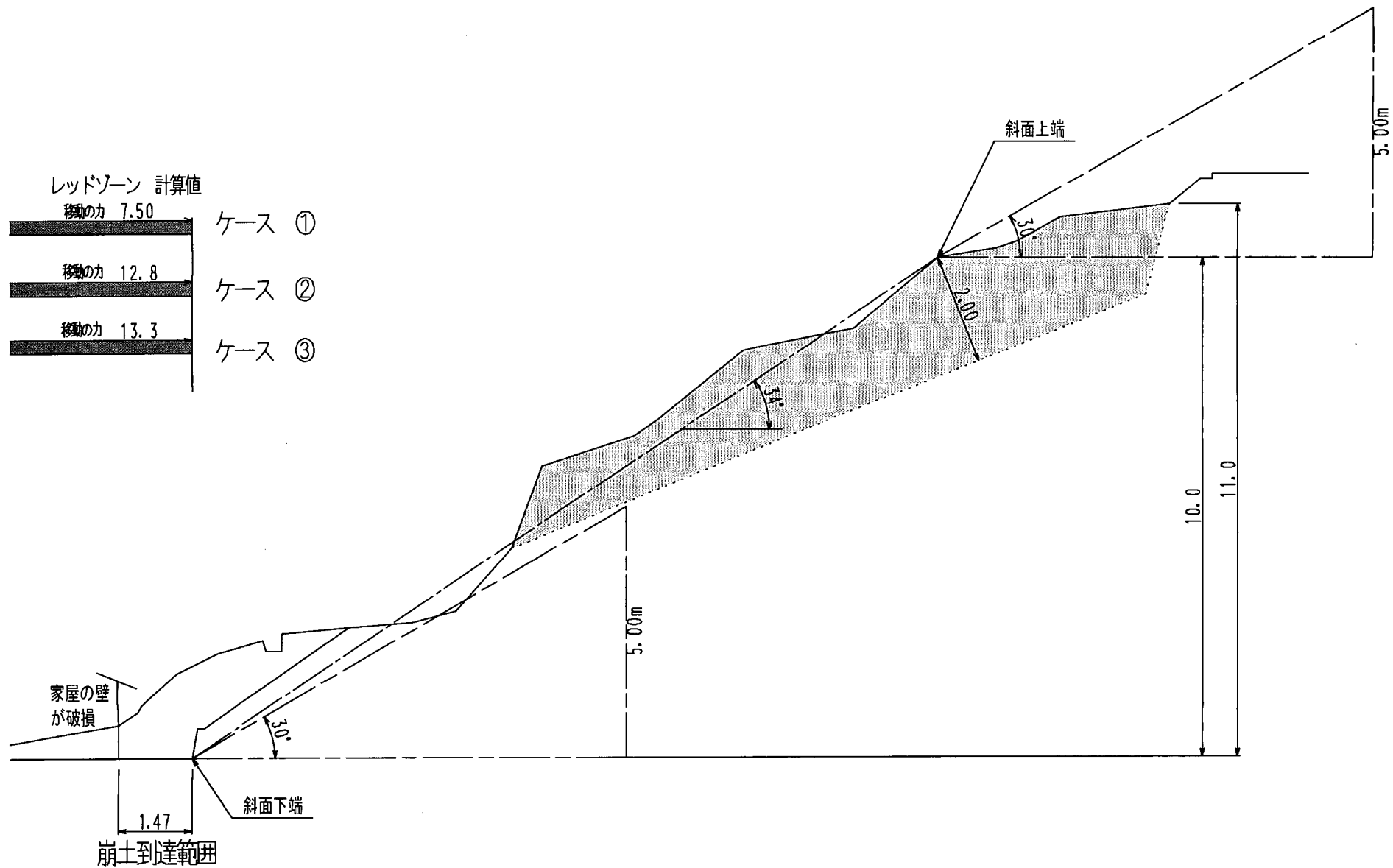
### 2) 計算結果一覧

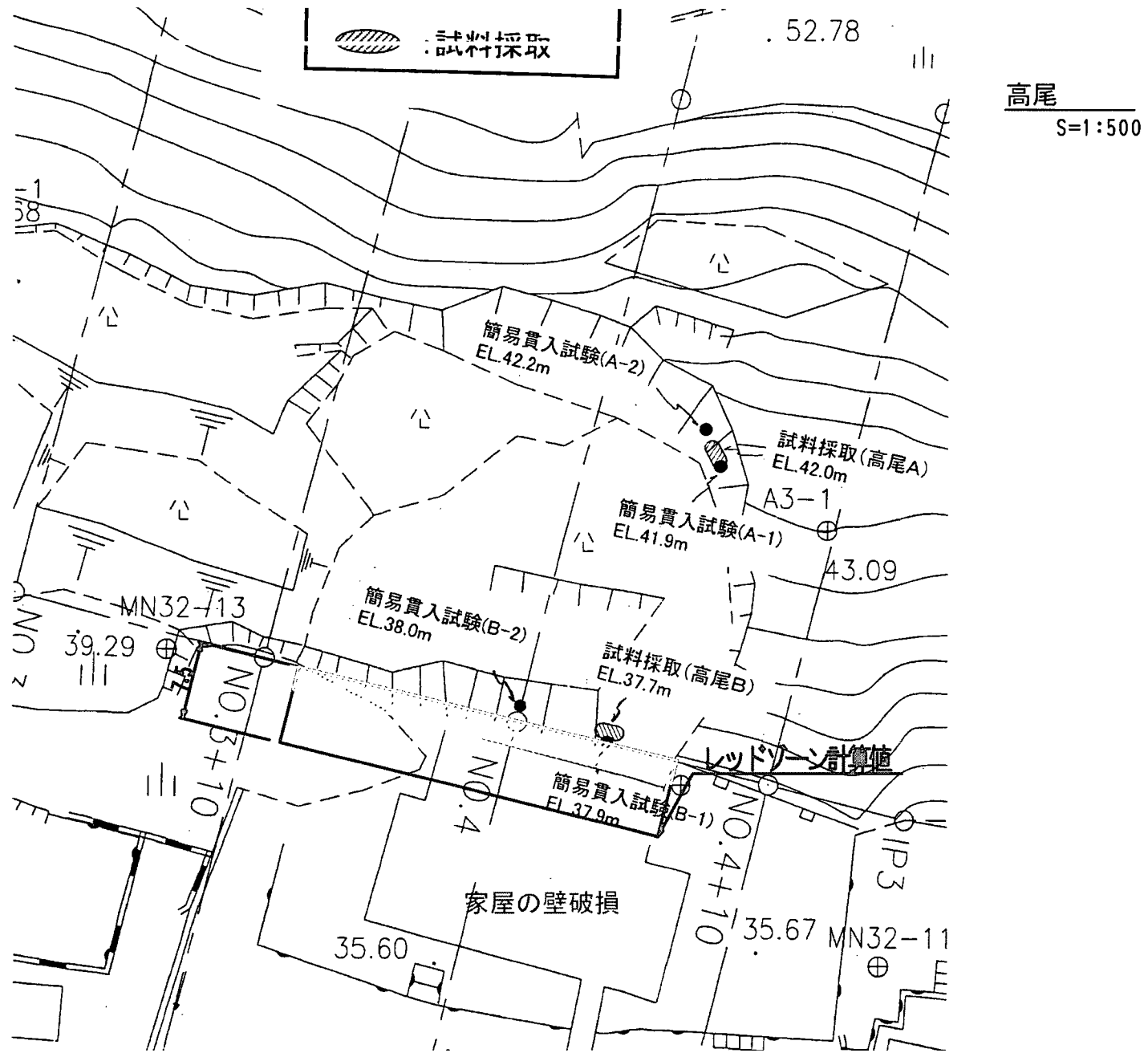
|                            | ケース1 | ケース2 | ケース3 |
|----------------------------|------|------|------|
| 家屋被災範囲<br>(レッドゾーン)<br>(m)  | 7.5  | 12.8 | 13.3 |
| 崩土到達範囲<br>(イエローゾーン)<br>(m) | 20.0 | 20.0 | 20.0 |

|           | ケース1    | ケース2 | ケース3 | 備考 |
|-----------|---------|------|------|----|
| 被災家屋      | 区域内     | 1    | 1    | 1  |
|           | 区域外     | 0    | 0    | 0  |
| 無被災家屋     | 区域内     | 0    | 0    | 0  |
|           | 区域内家屋合計 | 1    | 1    | 1  |
| 崩壊土砂到達範囲内 | 被災家屋    | 区域内  | 1    | 1  |
|           |         | 区域外  | 0    | 0  |
|           | 無被災家屋   | 区域内  | 0    | 0  |
|           |         | 区域外  | 0    | 0  |
|           | 合計      | 1    | 1    | 1  |

高尾  
S=1:100

比較断面図





## 比較平面図 ケース 1

比較平面図  
ケース 2

高尾  
 $S=1:500$



比較平面図  
ケース 3

高尾  
 $S=1:500$



## 大谷2丁目地区

### 1) 計算諸元一覧

| 項目         | 記号              | 単位               | ケース1  | ケース2  | ケース3  | 備考           |
|------------|-----------------|------------------|-------|-------|-------|--------------|
| 計算高さ       | H               | m                | 17.5  | 17.5  | 5.5   |              |
| 斜面勾配       | $\theta_u$      | °                | 29.0  | 29.0  | 29.0  |              |
| 土石等の密度     | $\rho_m$        | t/m <sup>3</sup> | 1.80  | 1.34  | 1.34  | 三軸圧縮試験(UU)あり |
| 重力加速度      | g               | m/s <sup>2</sup> | 9.80  | 9.80  | 9.80  |              |
| 土石等の比重     | $\sigma$        | t/m <sup>3</sup> | 2.60  | 2.61  | 2.61  |              |
| 土石等の容積濃度   | c               | —                | 0.50  | 0.50  | 0.50  |              |
| 土石等の流体抵抗係数 | f <sub>b</sub>  | —                | 0.025 | 0.025 | 0.025 |              |
| 土石等の内部摩擦角  | $\phi$          | °                | 30    | 6.8   | 6.8   | 粘性土          |
| 移動の高さ      | h <sub>sm</sub> | m                | 1.00  | 1.00  | 1.00  |              |

\*斜字は実測値、その他の値はケース1で設定した値と同じ値とした。

### 2) 計算結果一覧

|                            | ケース1 | ケース2 | ケース3 |
|----------------------------|------|------|------|
| 家屋被災範囲<br>(レッドゾーン)<br>(m)  | 8.4  | 28.9 | 20.0 |
| 崩土到達範囲<br>(イエローゾーン)<br>(m) | 35.0 | 35.0 | 11.0 |

|           | ケース1   | ケース2 | ケース3 | 備考 |
|-----------|--------|------|------|----|
| 被災家屋      | 区域内    | 1    | 1    | 1  |
|           | 区域外    | 0    | 0    | 0  |
| 無被災家屋     | 区域内    | 0    | 1    | 1  |
|           | 区域内外合計 | 1    | 2    | 2  |
| 崩壊土砂到達範囲内 | 被災家屋   | 区域内  | 1    | 1  |
|           |        | 区域外  | 0    | 0  |
|           | 無被災家屋  | 区域内  | 0    | 0  |
|           |        | 区域外  | 0    | 0  |
|           | 合計     | 1    | 1    | 1  |

大谷2丁目地区

S=1:200

比較断面図

レッドゾーン 計算値

移動力 8.40

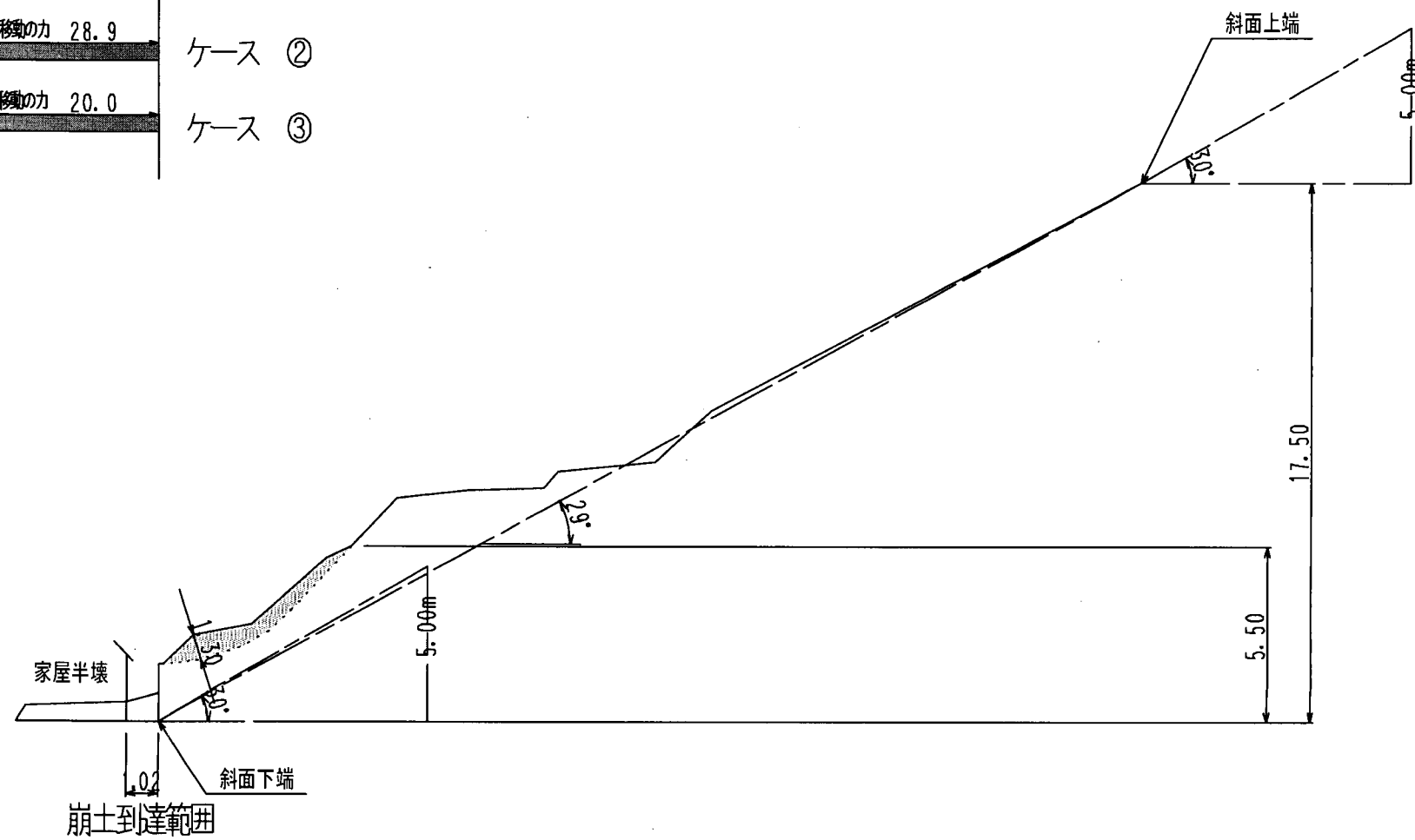
ケース ①

移動力 28.9

ケース ②

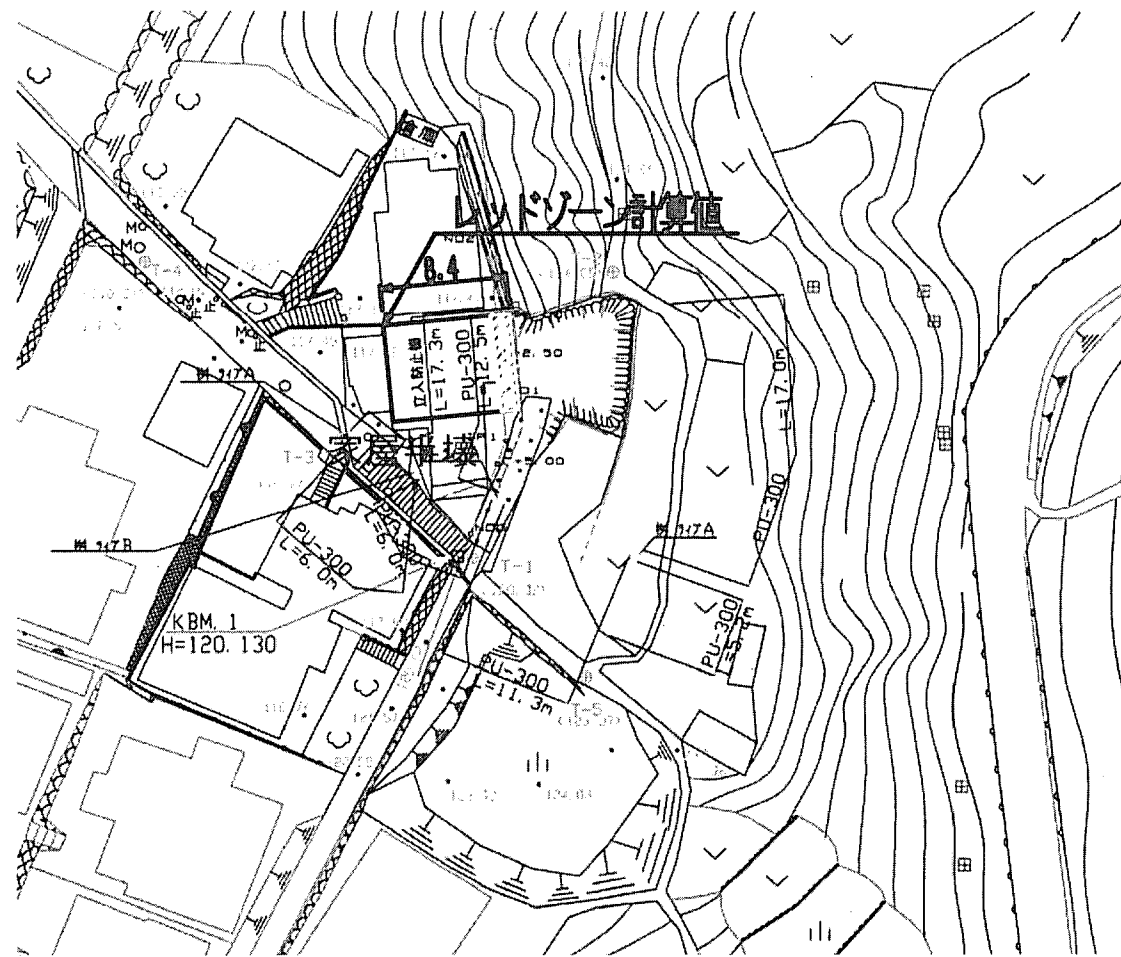
移動力 20.0

ケース ③



大谷 2 丁目  
S=1:500

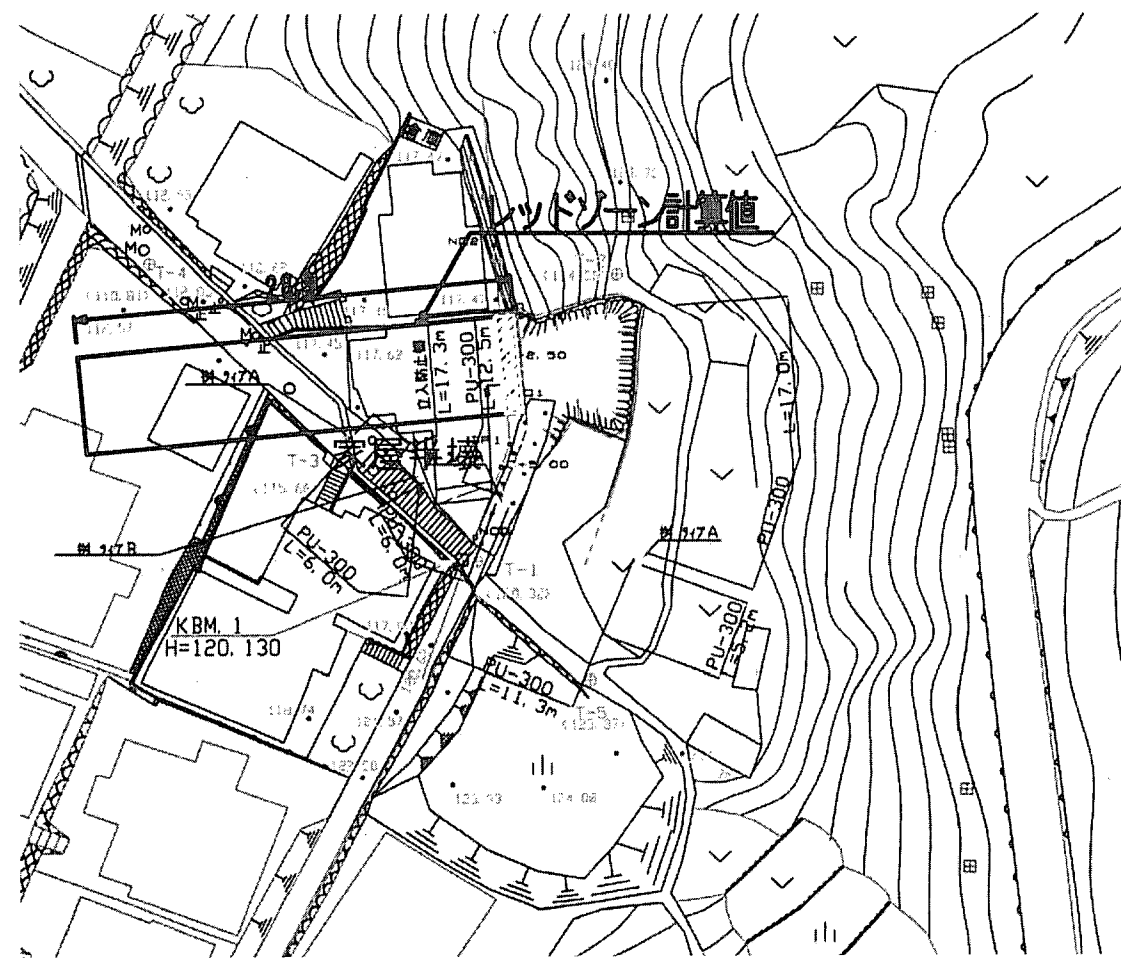
比較平面図  
ケース 1



大谷 2 丁目

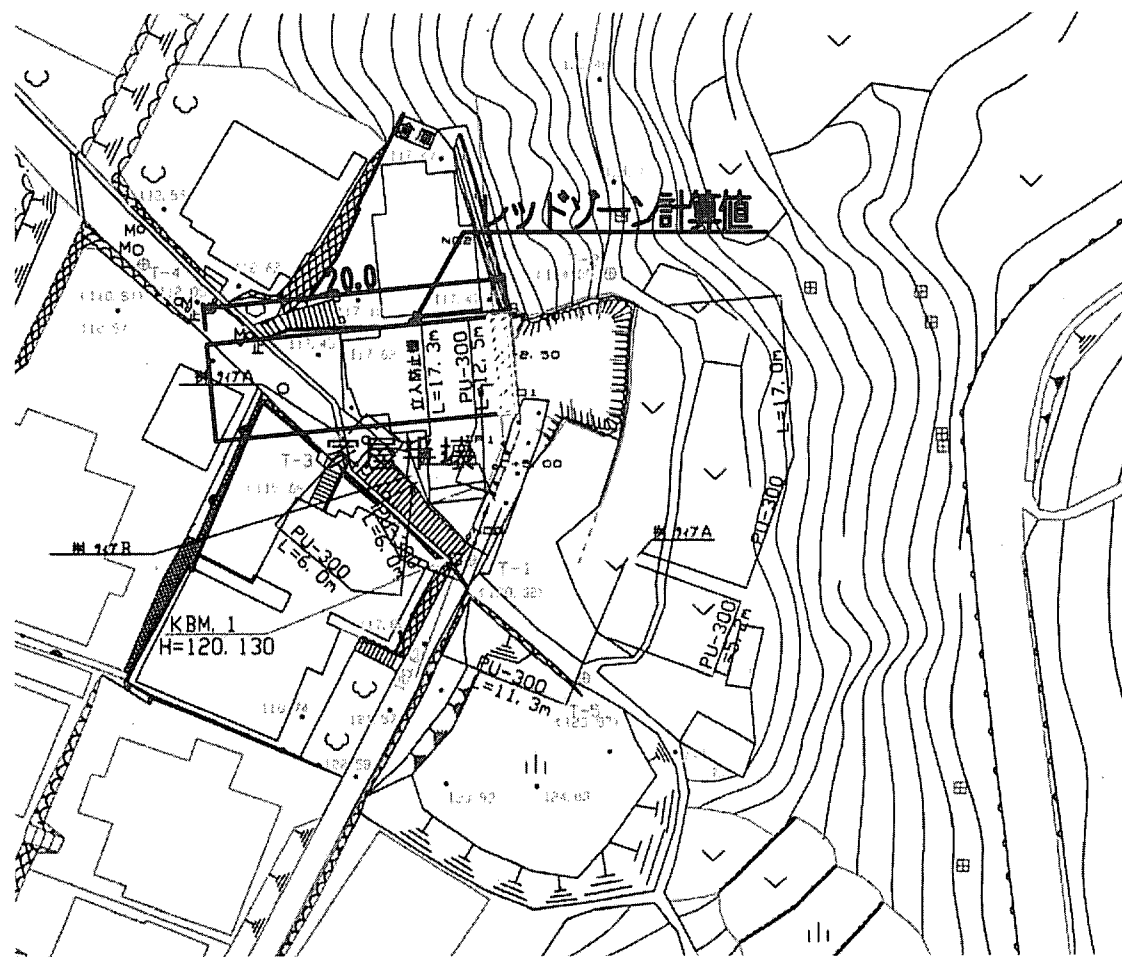
S=1:500

比較平面図  
ケース 2



大谷 2 丁目  
S=1:500

比較平面図  
ケース 3



## 立岩地区

### 1) 計算諸元一覧

| 項目         | 記号             | 単位               | ケース1  | ケース2  | ケース3  | 備考           |
|------------|----------------|------------------|-------|-------|-------|--------------|
| 計算高さ       | H              | m                | 13.0  | 13.0  | 11.0  |              |
| 斜面勾配       | $\theta u$     | °                | 31.0  | 31.0  | 31.0  |              |
| 土石等の密度     | $\rho m$       | t/m <sup>3</sup> | 1.80  | 1.75  | 1.75  | 三軸圧縮試験(CD)あり |
| 重力加速度      | g              | m/s <sup>2</sup> | 9.80  | 9.80  | 9.80  |              |
| 土石等の比重     | $\sigma$       | t/m <sup>3</sup> | 2.60  | 2.65  | 2.65  |              |
| 土石等の容積濃度   | c              | —                | 0.50  | 0.50  | 0.50  |              |
| 土石等の流体抵抗係数 | f <sub>b</sub> | —                | 0.025 | 0.025 | 0.025 |              |
| 土石等の内部摩擦角  | $\phi$         | °                | 30    | 28    | 28    |              |
| 移動の高さ      | hsm            | m                | 1.00  | 0.55  | 0.55  |              |

\*斜字は実測値、その他の値はケース1で設定した値と同じ値とした。

### 2) 計算結果一覧

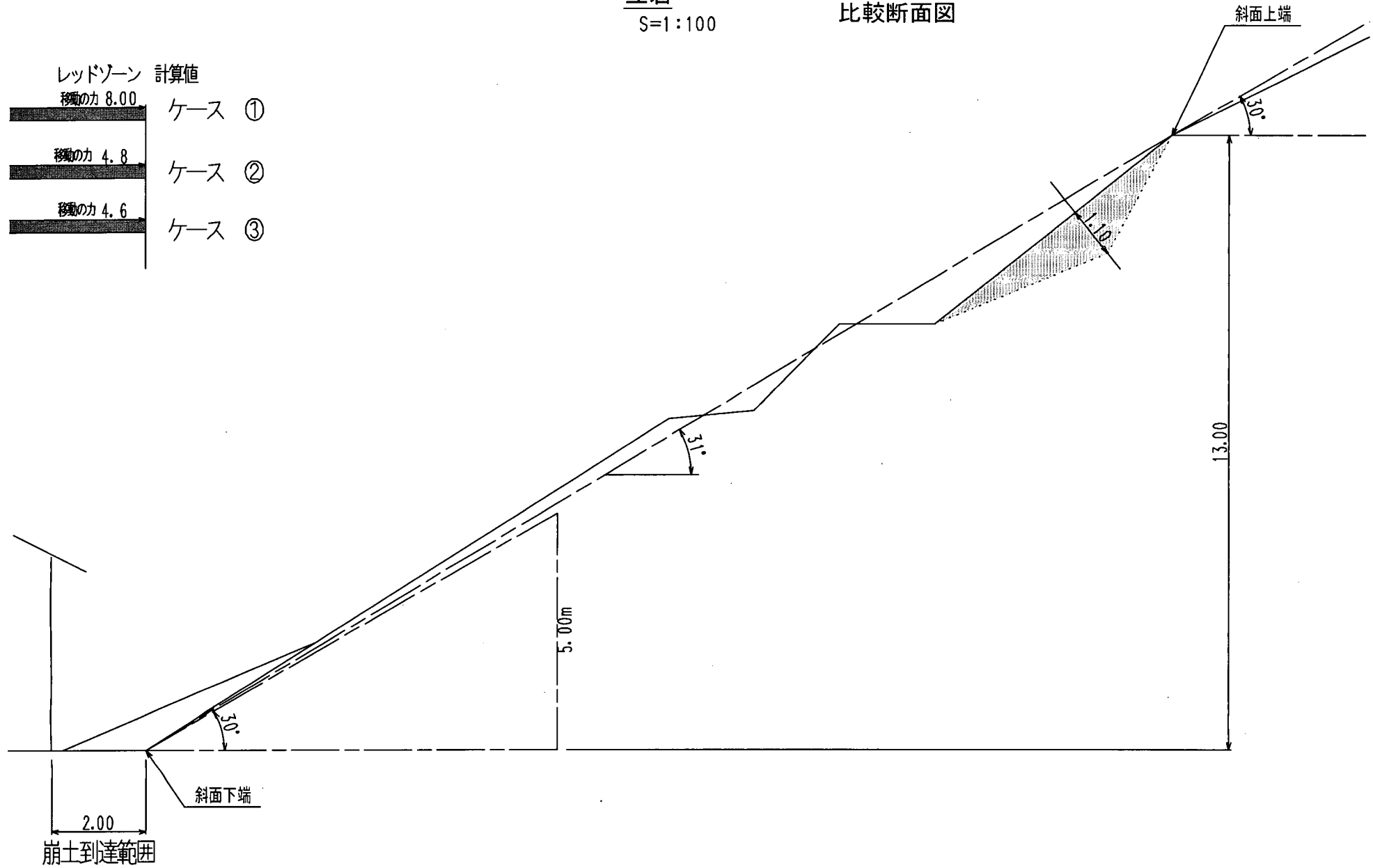
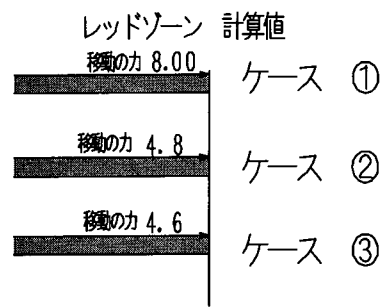
|                            | ケース1 | ケース2 | ケース3 |
|----------------------------|------|------|------|
| 家屋被災範囲<br>(レッドゾーン)<br>(m)  | 8.0  | 4.8  | 4.6  |
| 崩土到達範囲<br>(イエローノーン)<br>(m) | 26.0 | 26.0 | 22.0 |

|           |       | ケース1 | ケース2 | ケース3 | 備考                |
|-----------|-------|------|------|------|-------------------|
| 被災家屋      | 区域内   | 0    | 0    | 0    | 崩壊土砂が家屋まで到達していない。 |
|           | 区域外   | 0    | 0    | 0    |                   |
| 無被災家屋     |       | 1    | 1    | 1    |                   |
| 区域内家屋合計   |       | 1    | 1    | 1    |                   |
| 崩壊土砂到達範囲内 | 被災家屋  | 区域内  | 0    | 0    |                   |
|           |       | 区域外  | 0    | 0    |                   |
|           | 無被災家屋 | 区域内  | 0    | 0    |                   |
|           |       | 区域外  | 0    | 0    |                   |
|           | 合計    | 0    | 0    | 0    |                   |

立岩

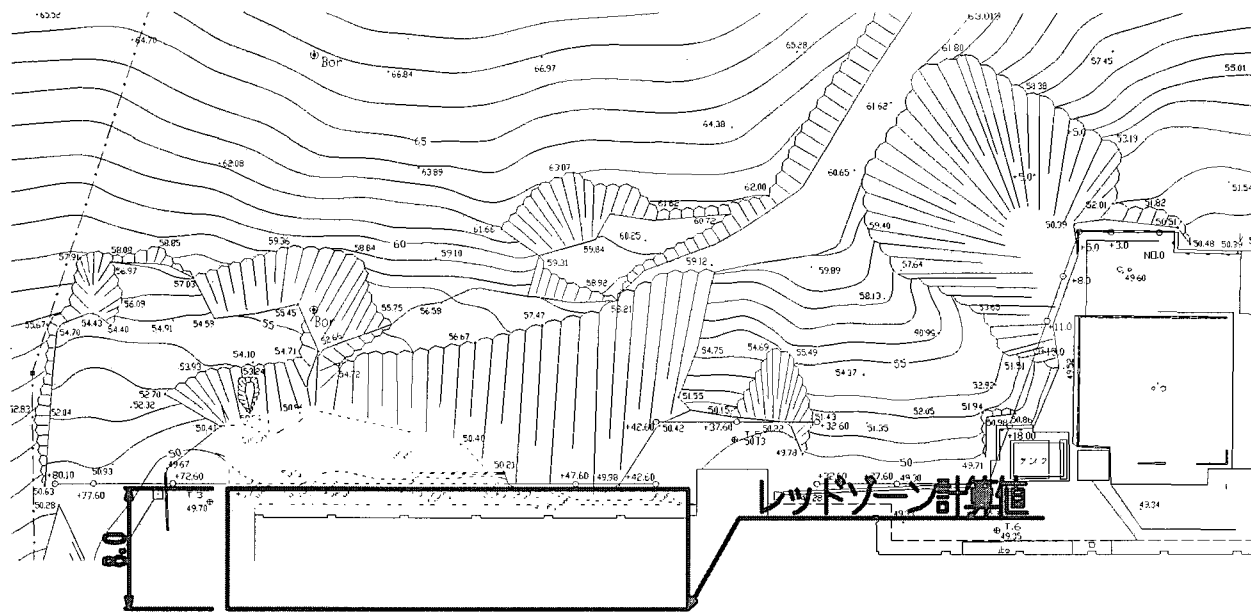
S=1:100

比較断面図



立岩  
S=1:500

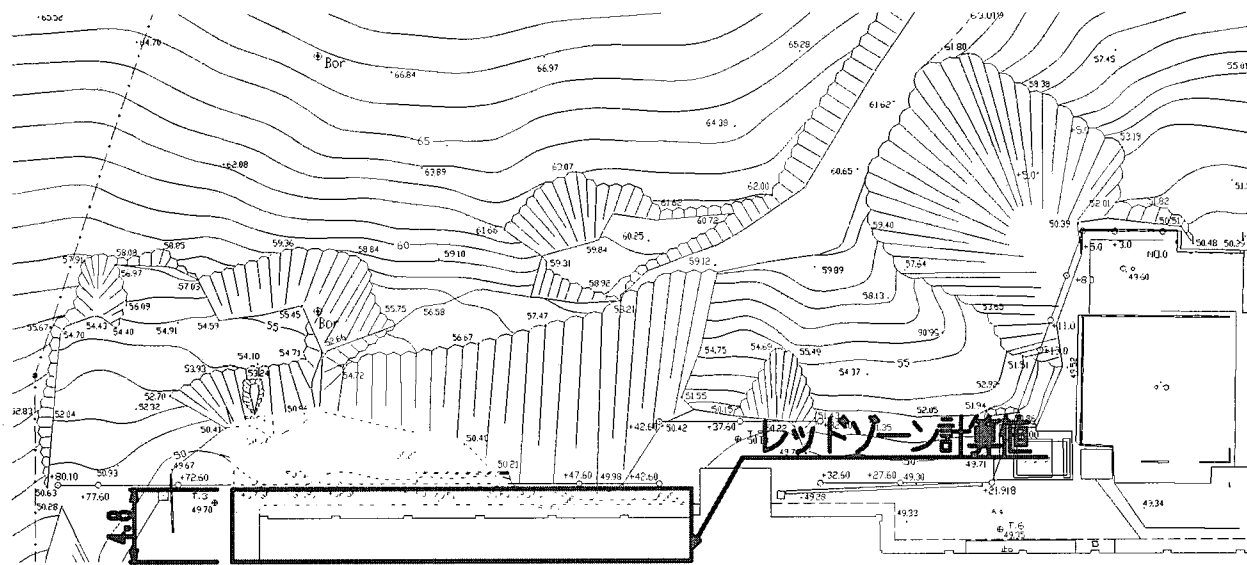
比較平面図  
ケース 1



崩壊土砂が家屋まで到達していない。

立岩  
S=1:500

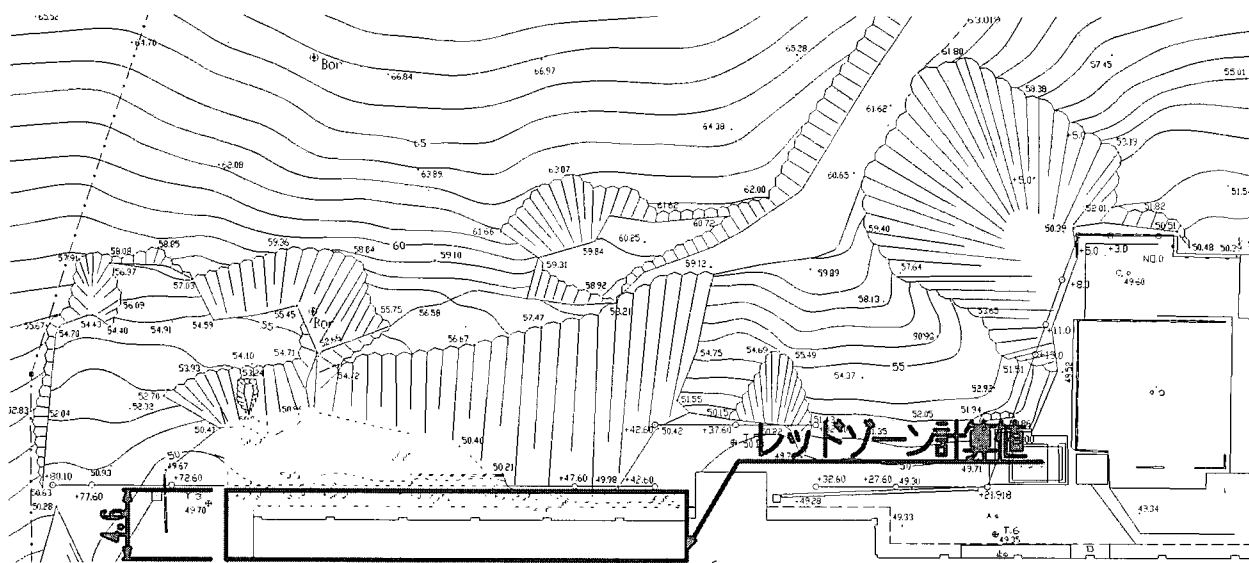
## 比較平面図 ケース 2



崩壊土砂が家屋まで到達していない。

立岩  
S=1:500

## 比較平面図 ケース 3



崩壊土砂が家屋まで到達していない。

## 西丸山町

### 1) 計算諸元一覧

| 項目         | 記号              | 単位               | ケース1  | ケース2  | ケース3  | 備考           |
|------------|-----------------|------------------|-------|-------|-------|--------------|
| 計算高さ       | H               | m                | 19.5  | 19.5  | 5.5   |              |
| 斜面勾配       | $\theta_u$      | °                | 31.0  | 31.0  | 31.0  |              |
| 土石等の密度     | $\rho_m$        | t/m <sup>3</sup> | 1.80  | 1.79  | 1.79  | 三軸圧縮試験(UU)あり |
| 重力加速度      | g               | m/s <sup>2</sup> | 9.80  | 9.80  | 9.80  |              |
| 土石等の比重     | $\sigma$        | t/m <sup>3</sup> | 2.60  | 2.71  | 2.71  |              |
| 土石等の容積濃度   | c               | —                | 0.50  | 0.50  | 0.50  |              |
| 土石等の流体抵抗係数 | f <sub>b</sub>  | —                | 0.025 | 0.025 | 0.025 |              |
| 土石等の内部摩擦角  | $\phi$          | °                | 30    | 4.8   | 4.8   | 粘性土          |
| 移動の高さ      | h <sub>sm</sub> | m                | 1.00  | 0.65  | 0.65  |              |

\*斜字は実測値、その他の値はケース1で設定した値と同じ値とした。

### 2) 計算結果一覧

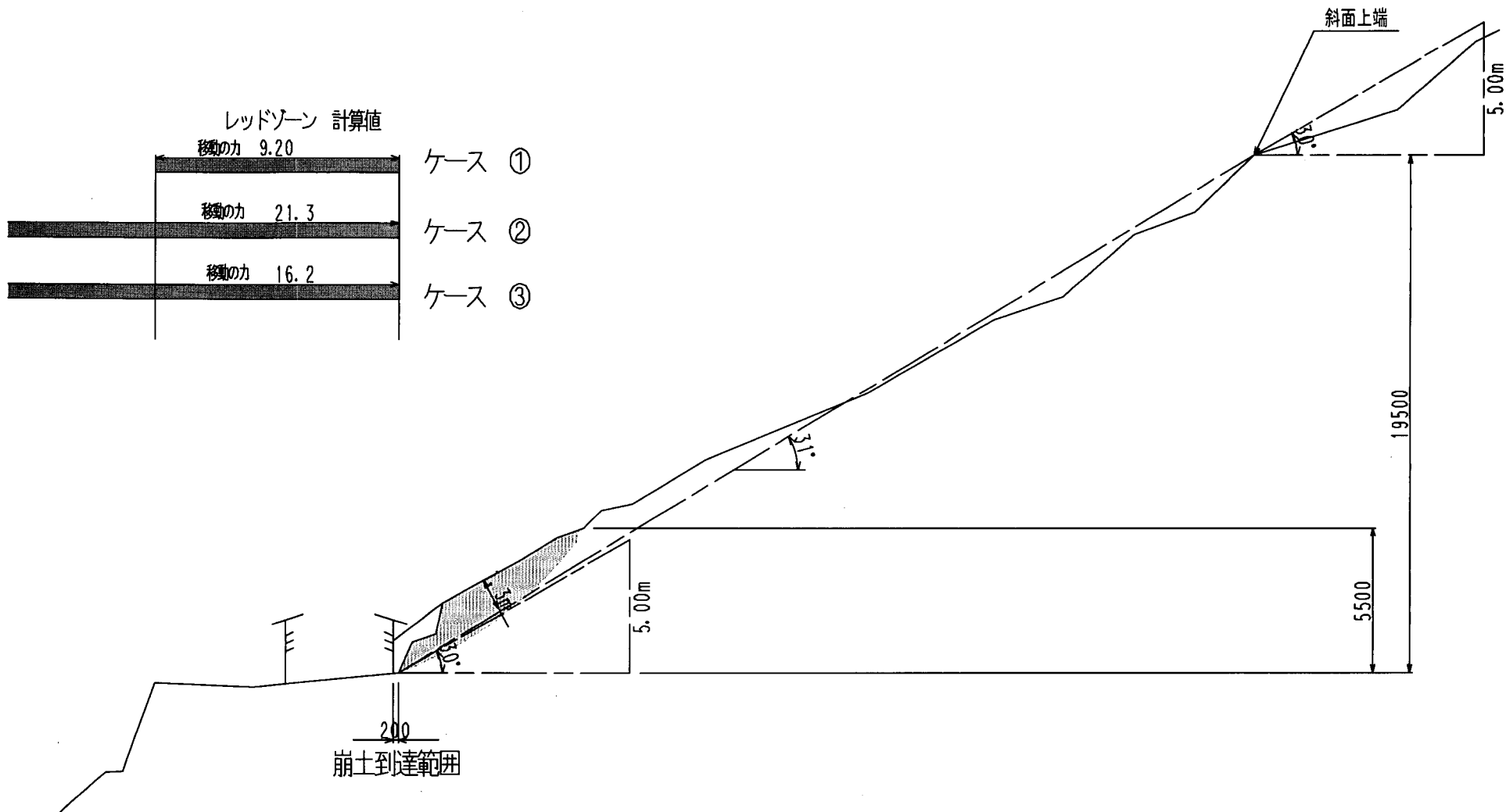
|                            | ケース1 | ケース2 | ケース3 |
|----------------------------|------|------|------|
| 家屋被災範囲<br>(レッドゾーン)<br>(m)  | 9.2  | 21.3 | 16.2 |
| 崩土到達範囲<br>(イエローゾーン)<br>(m) | 39.0 | 39.0 | 11.0 |

|           |       | ケース1 | ケース2 | ケース3 | 備考 |
|-----------|-------|------|------|------|----|
| 被災家屋      | 区域内   | 1    | 1    | 1    |    |
|           | 区域外   | 0    | 0    | 0    |    |
| 無被災家屋     | 区域内   | 0    | 1    | 1    |    |
|           | 区域外   | 0    | 0    | 0    |    |
| 区域内家屋合計   |       | 1    | 2    | 2    |    |
| 崩壊土砂到達範囲内 | 被災家屋  | 区域内  | 1    | 1    |    |
|           |       | 区域外  | 0    | 0    |    |
|           | 無被災家屋 | 区域内  | 0    | 0    |    |
|           |       | 区域外  | 0    | 0    |    |
|           | 合計    | 1    | 1    | 1    |    |

西丸山町  
S=1:200

比較断面図

- 70 -

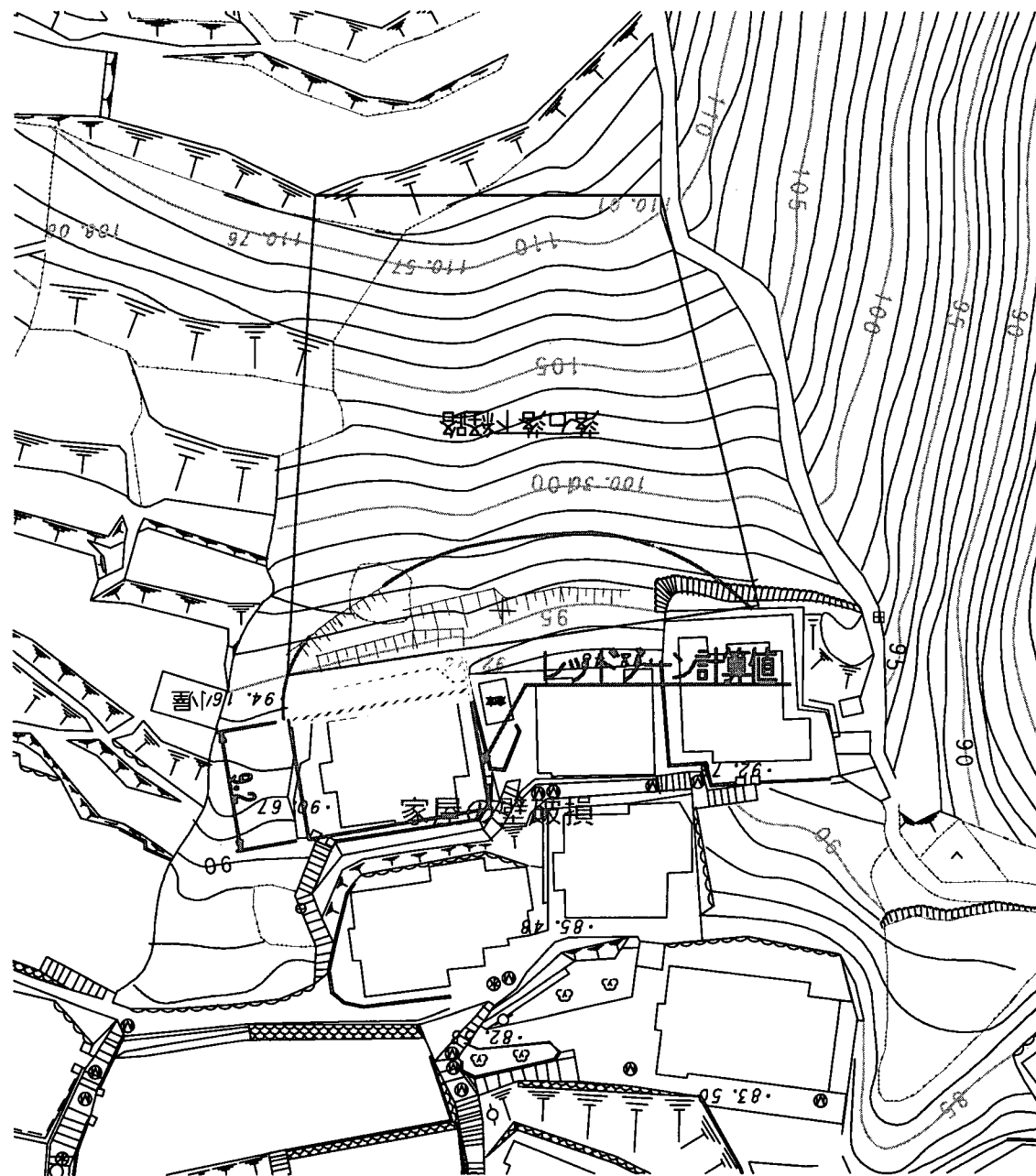


西丸山町

S=1:500

比較平面図

ケース 1

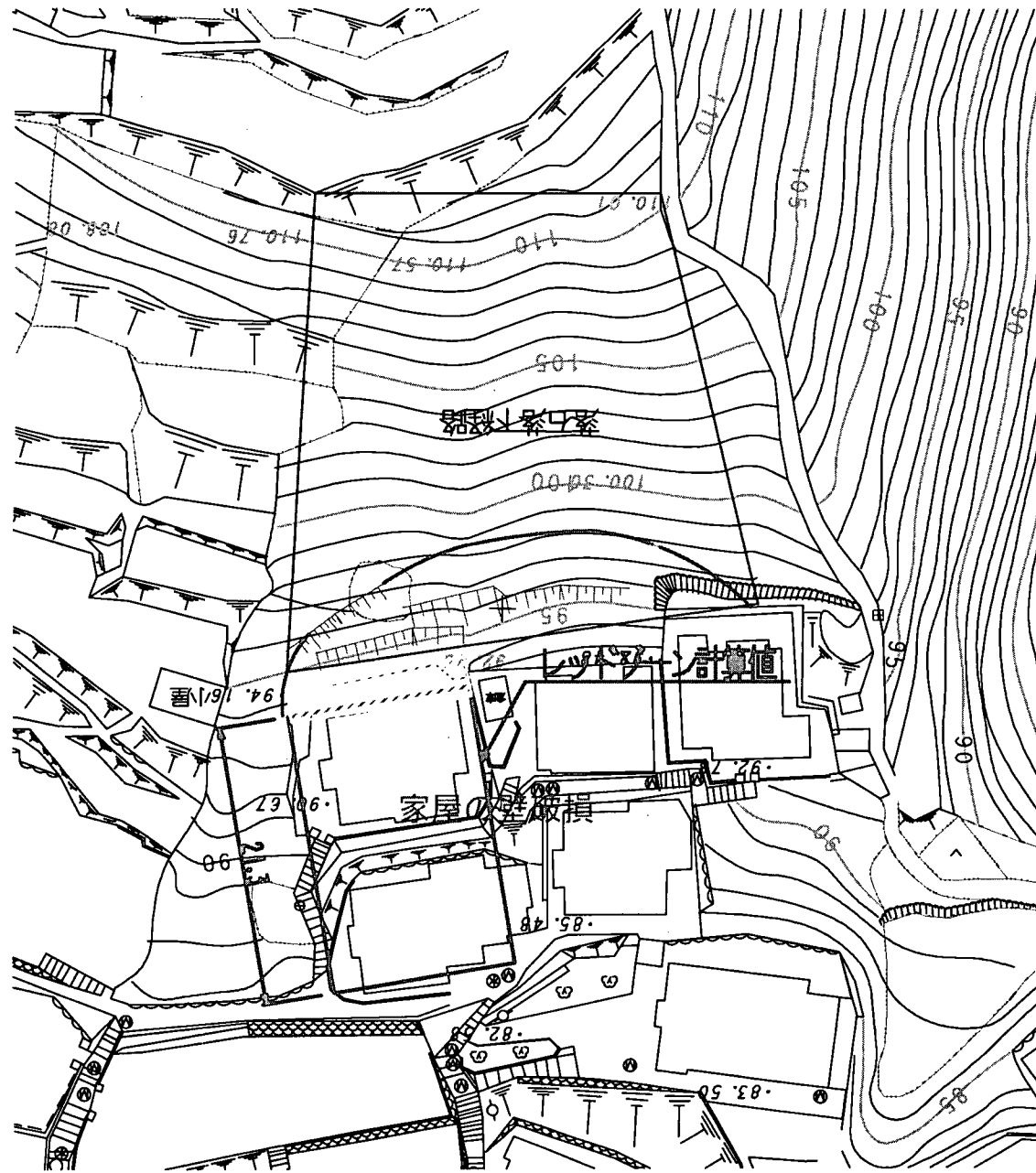


西丸山町

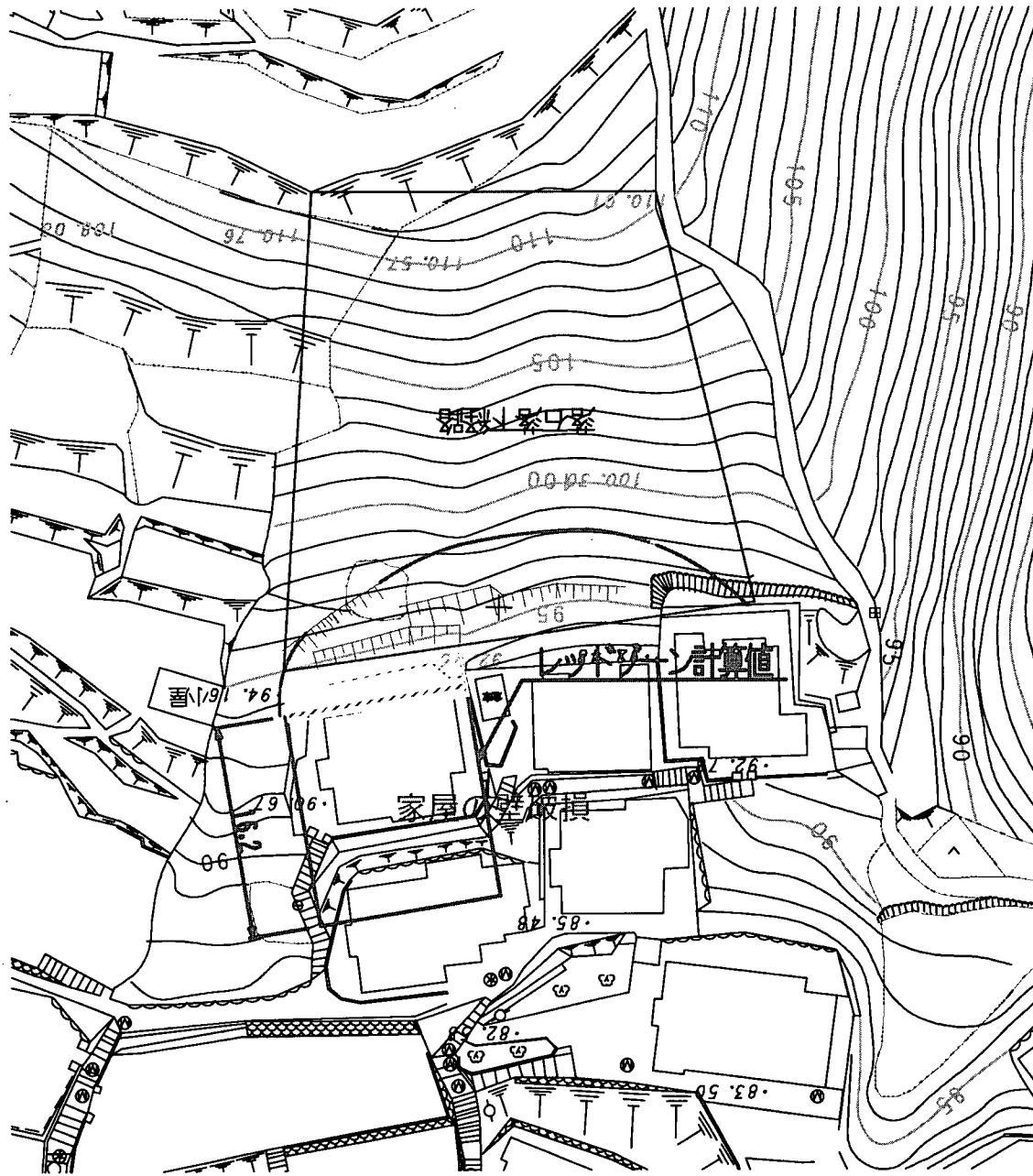
S=1:500

比較平面図

ケース 2



西丸山町  
S=1:500  
比較平面図  
ケース 3



## 津原①

### 1) 計算諸元一覧

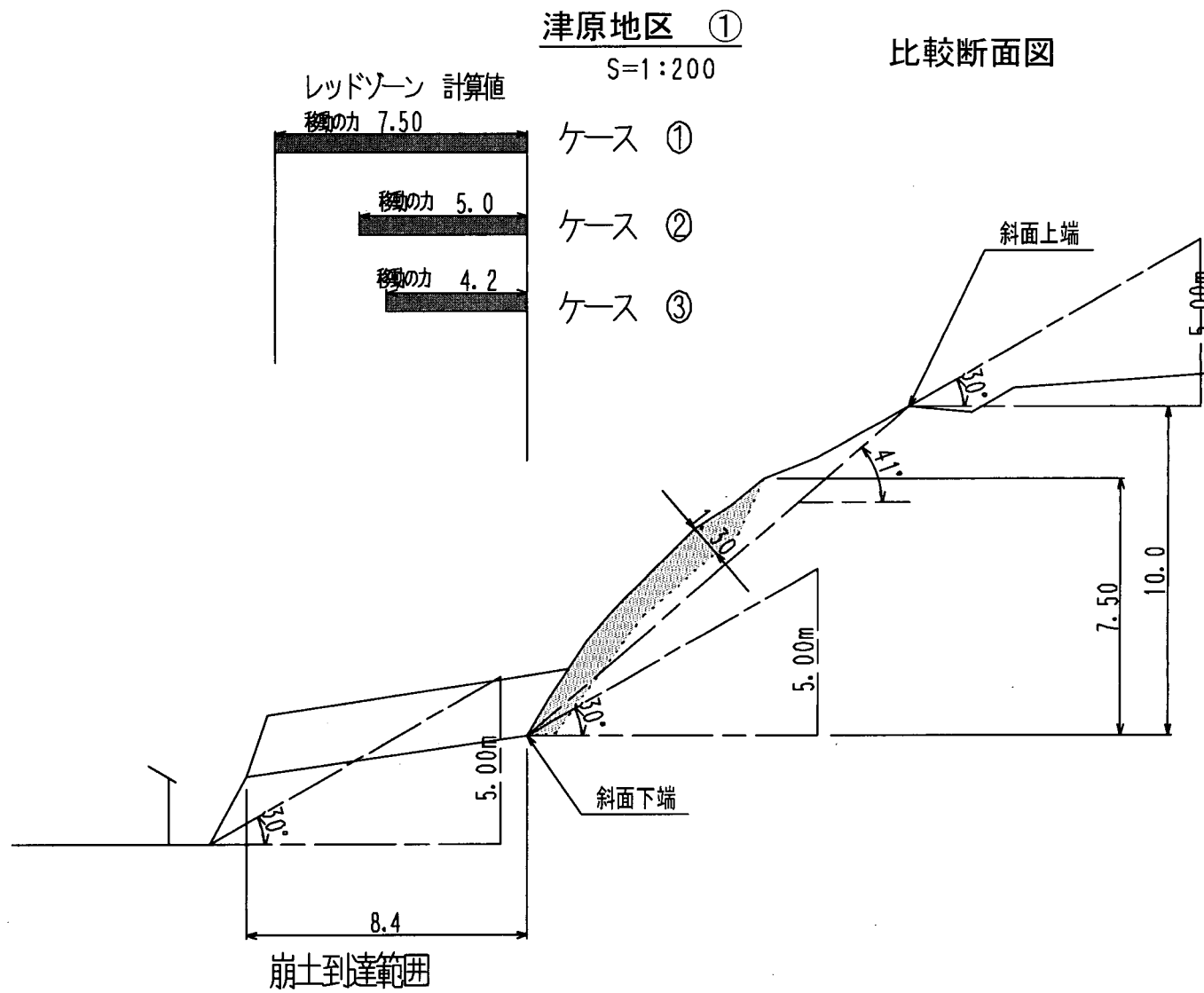
| 項目         | 記号              | 単位               | ケース1  | ケース2  | ケース3  | 備考           |
|------------|-----------------|------------------|-------|-------|-------|--------------|
| 計算高さ       | H               | m                | 10.0  | 10.0  | 7.5   |              |
| 斜面勾配       | $\theta_u$      | °                | 41.0  | 41.0  | 41.0  |              |
| 土石等の密度     | $\rho_m$        | t/m <sup>3</sup> | 1.80  | 1.68  | 1.68  | 三軸圧縮試験(CD)あり |
| 重力加速度      | g               | m/s <sup>2</sup> | 9.80  | 9.80  | 9.80  |              |
| 土石等の比重     | $\sigma$        | t/m <sup>3</sup> | 2.60  | 2.64  | 2.64  |              |
| 土石等の容積濃度   | c               | —                | 0.50  | 0.50  | 0.50  |              |
| 土石等の流体抵抗係数 | f <sub>b</sub>  | —                | 0.025 | 0.025 | 0.025 |              |
| 土石等の内部摩擦角  | $\phi$          | °                | 30    | 33.7  | 33.7  |              |
| 移動の高さ      | h <sub>sm</sub> | m                | 1.00  | 0.75  | 0.75  |              |

\*斜字は実測値、その他の値はケース1で設定した値と同じ値とした。

### 2) 計算結果一覧

|                            | ケース1 | ケース2 | ケース3 |
|----------------------------|------|------|------|
| 家屋被災範囲<br>(レッドゾーン)<br>(m)  | 7.5  | 5.0  | 4.2  |
| 崩土到達範囲<br>(イエローゾーン)<br>(m) | 20.0 | 20.0 | 15.0 |

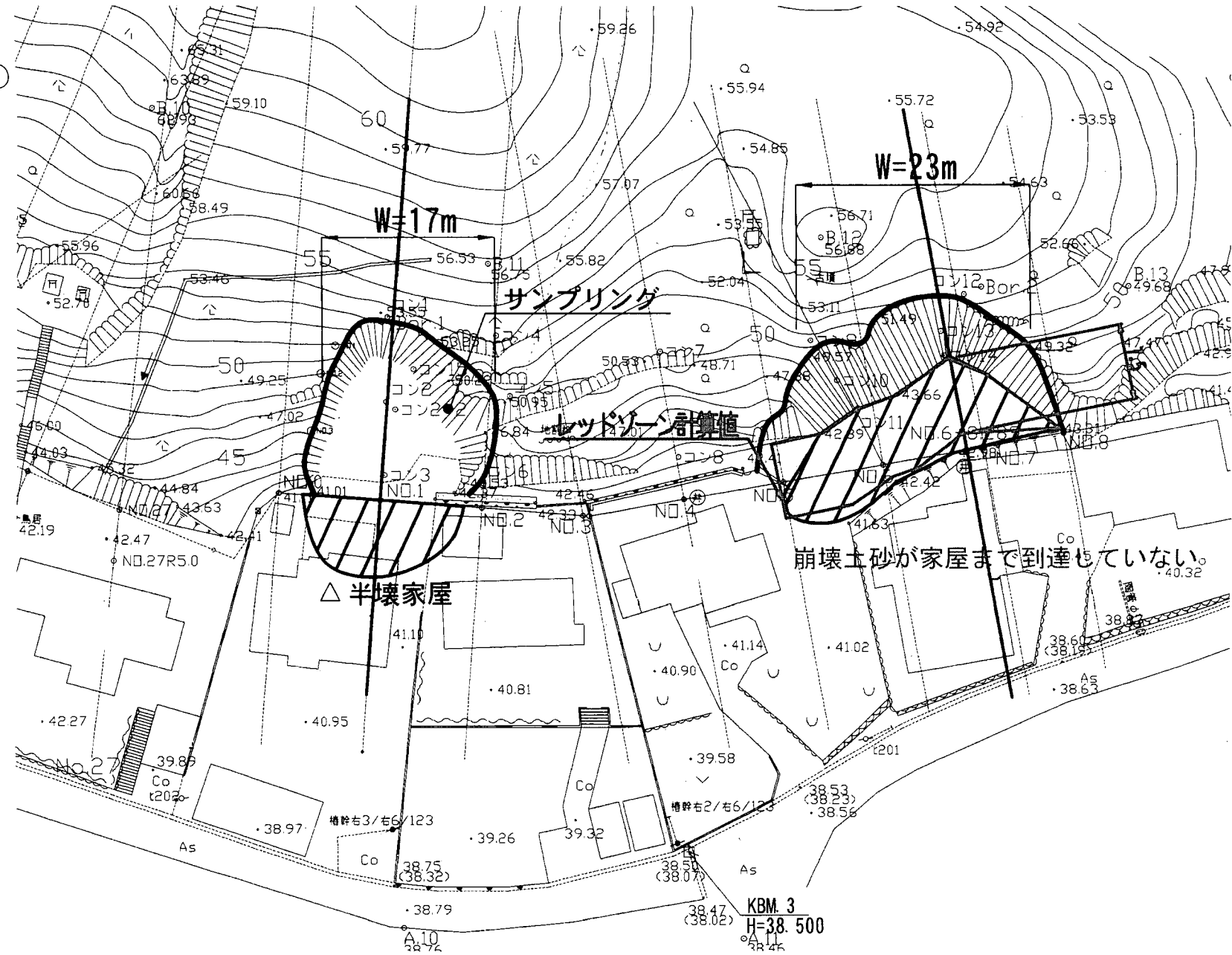
|           | ケース1    | ケース2 | ケース3 | 備考        |
|-----------|---------|------|------|-----------|
| 被災家屋      | 区域内     | 0    | 0    | 崩壊土砂が家屋まで |
|           | 区域外     | 0    | 0    | 到達していない。  |
| 無被災家屋     | 区域内     | 0    | 0    |           |
|           | 区域内家屋合計 | 0    | 0    |           |
| 崩壊土砂到達範囲内 | 被災家屋    | 区域内  | 0    |           |
|           |         | 区域外  | 0    |           |
|           | 無被災家屋   | 区域内  | 0    |           |
|           |         | 区域外  | 0    |           |
|           | 合計      | 0    | 0    |           |



津原地区 ①

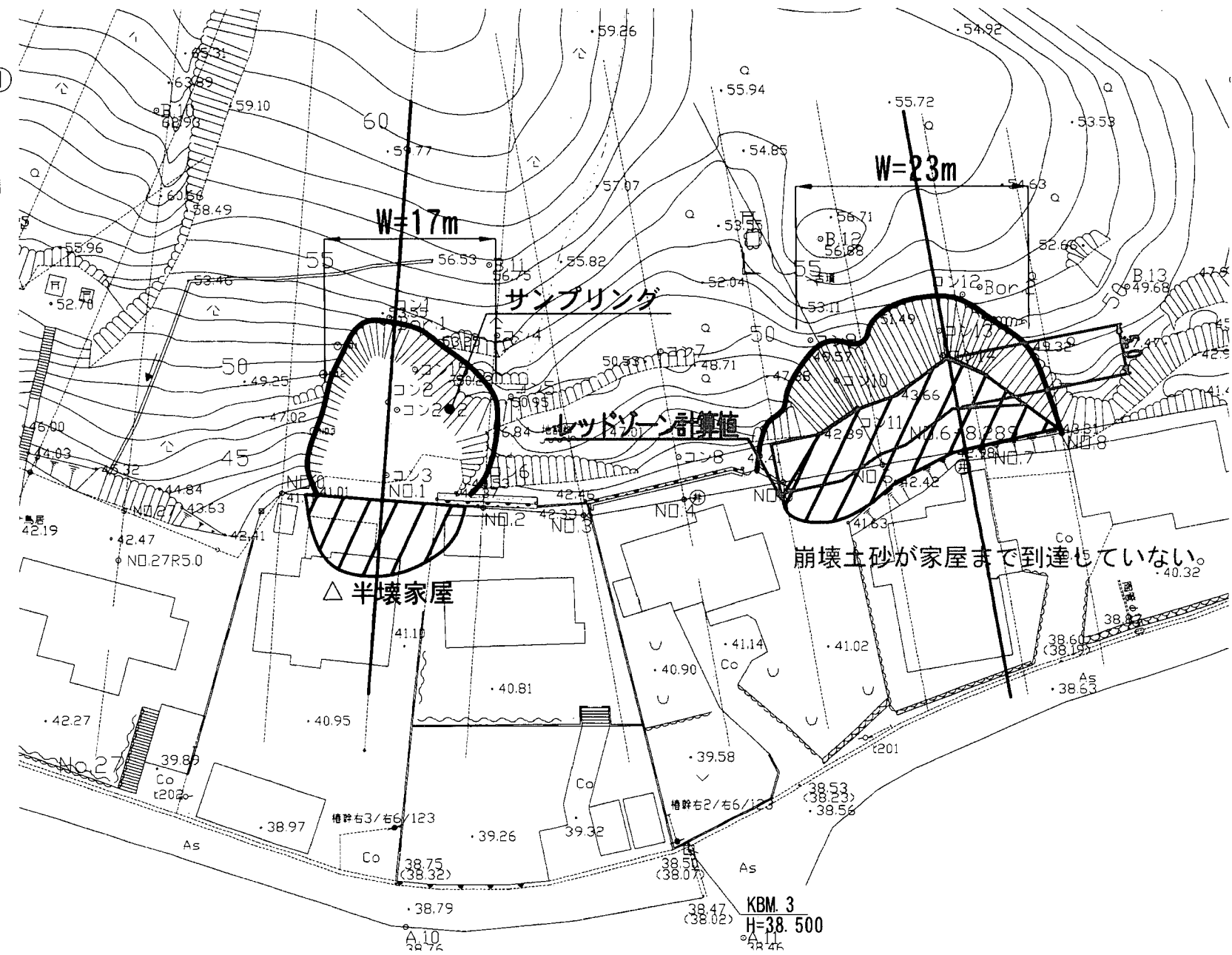
S=1:500

## 比較平面図 ケース 1



津原地区 ①  
S=1:500

## 比較平面図 ケース 2

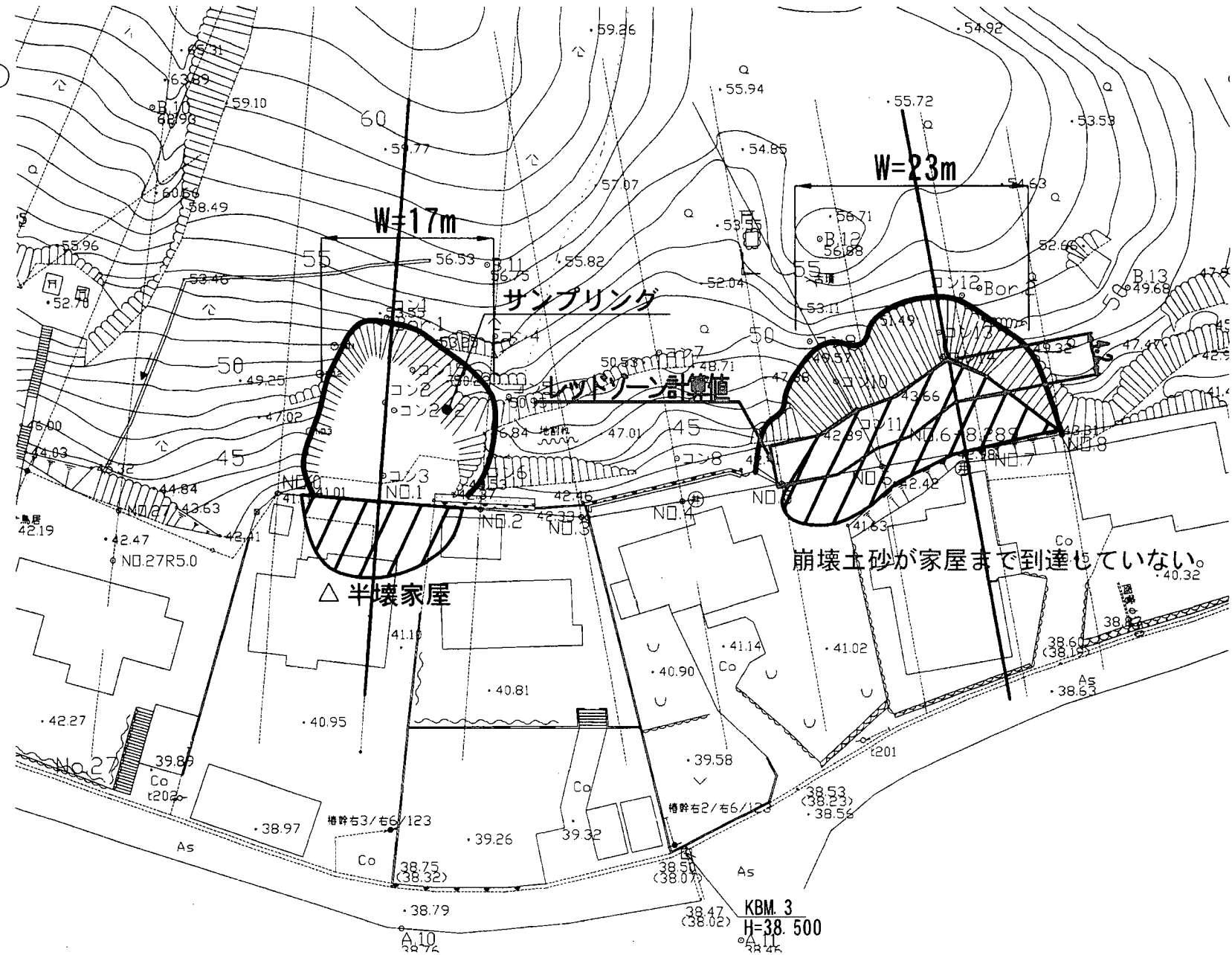


津原地区 ①

S=1:500

比較平面図

ケース 3



## 津原②

### 1) 計算諸元一覧

| 項目         | 記号              | 単位               | ケース1  | ケース2  | ケース3  | 備考           |
|------------|-----------------|------------------|-------|-------|-------|--------------|
| 計算高さ       | H               | m                | 13.5  | 13.5  | 11.0  |              |
| 斜面勾配       | $\theta_u$      | °                | 37.0  | 37.0  | 37.0  |              |
| 土石等の密度     | $\rho_m$        | t/m <sup>3</sup> | 1.80  | 1.68  | 1.68  | 三軸圧縮試験(CD)あり |
| 重力加速度      | g               | m/s <sup>2</sup> | 9.80  | 9.80  | 9.80  |              |
| 土石等の比重     | $\sigma$        | t/m <sup>3</sup> | 2.60  | 2.64  | 2.64  |              |
| 土石等の容積濃度   | c               | —                | 0.50  | 0.50  | 0.50  |              |
| 土石等の流体抵抗係数 | f <sub>b</sub>  | —                | 0.025 | 0.025 | 0.025 |              |
| 土石等の内部摩擦角  | $\phi$          | °                | 30    | 33.7  | 33.7  |              |
| 移動の高さ      | h <sub>sm</sub> | m                | 1.00  | 0.90  | 0.90  |              |

\*斜字は実測値、その他の値はケース1で設定した値と同じ値とした。

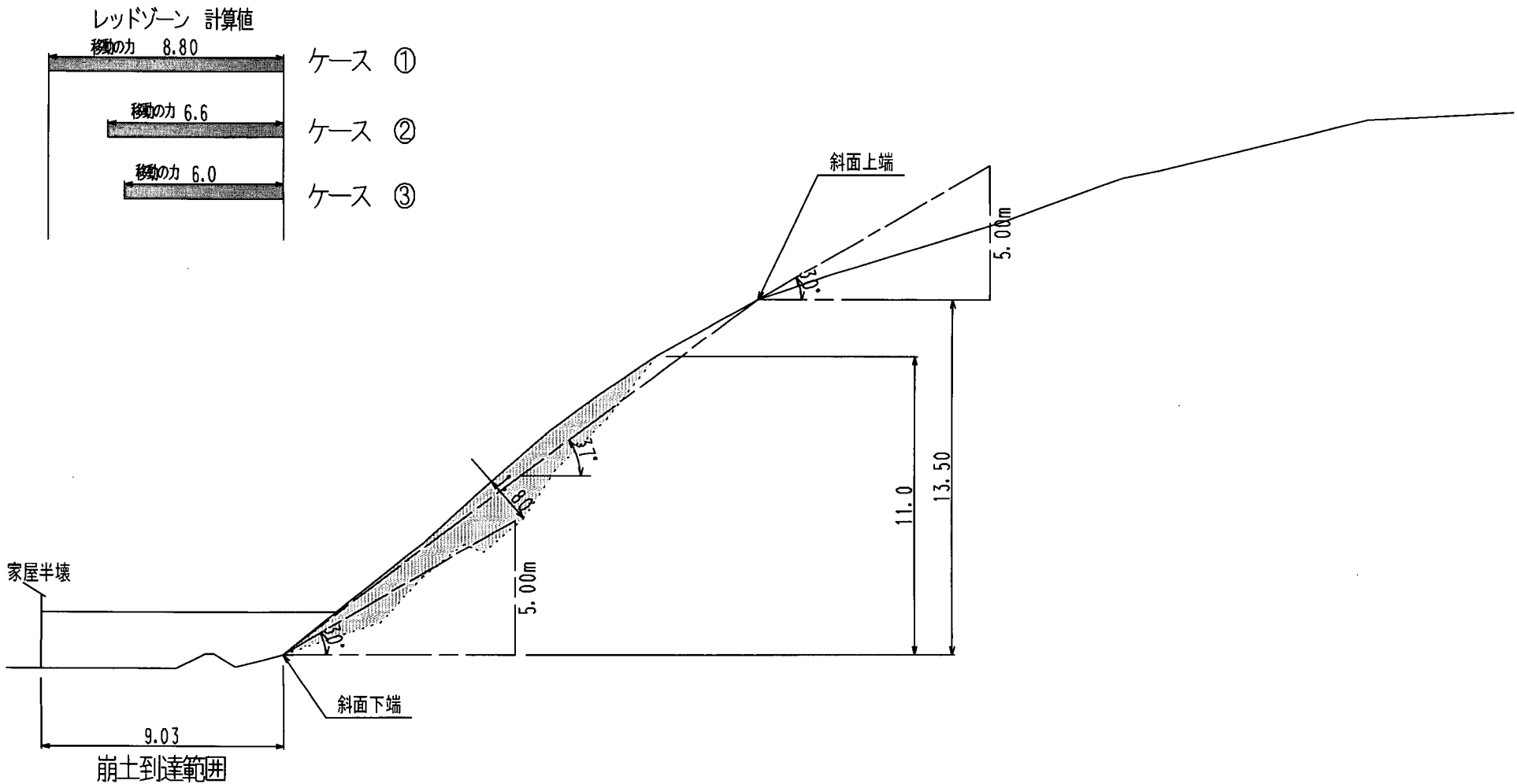
### 2) 計算結果一覧

|                            | ケース1 | ケース2 | ケース3 |
|----------------------------|------|------|------|
| 家屋被災範囲<br>(レッドゾーン)<br>(m)  | 8.8  | 6.6  | 6.0  |
| 崩土到達範囲<br>(イエローゾーン)<br>(m) | 27.0 | 27.0 | 22.0 |

|           | ケース1  | ケース2 | ケース3 | 備考 |
|-----------|-------|------|------|----|
| 被災家屋      | 区域内   | 0    | 0    |    |
|           | 区域外   | 1    | 1    |    |
| 無被災家屋     | 区域内   | 0    | 0    |    |
|           | 区域外   | 0    | 0    |    |
| 区域内家屋合計   |       | 0    | 0    |    |
| 崩壊土砂到達範囲内 | 被災家屋  | 区域内  | 0    |    |
|           |       | 区域外  | 1    |    |
|           | 無被災家屋 | 区域内  | 0    |    |
|           |       | 区域外  | 0    |    |
|           | 合計    | 1    | 1    |    |

津原地区 ②  
S=1:200

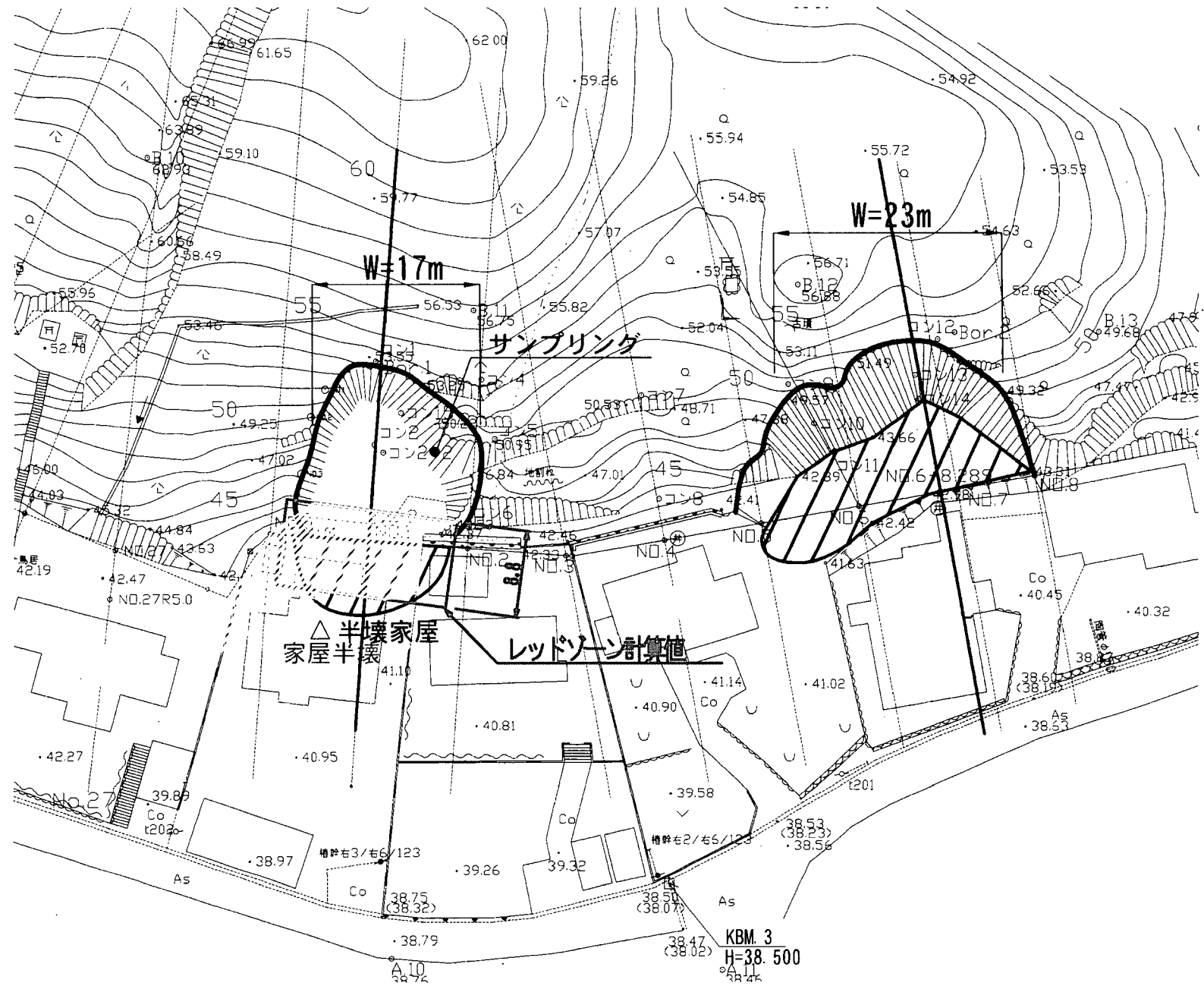
比較断面図



津原地区 ②  
S=1:500

比較平面図  
ケース 1

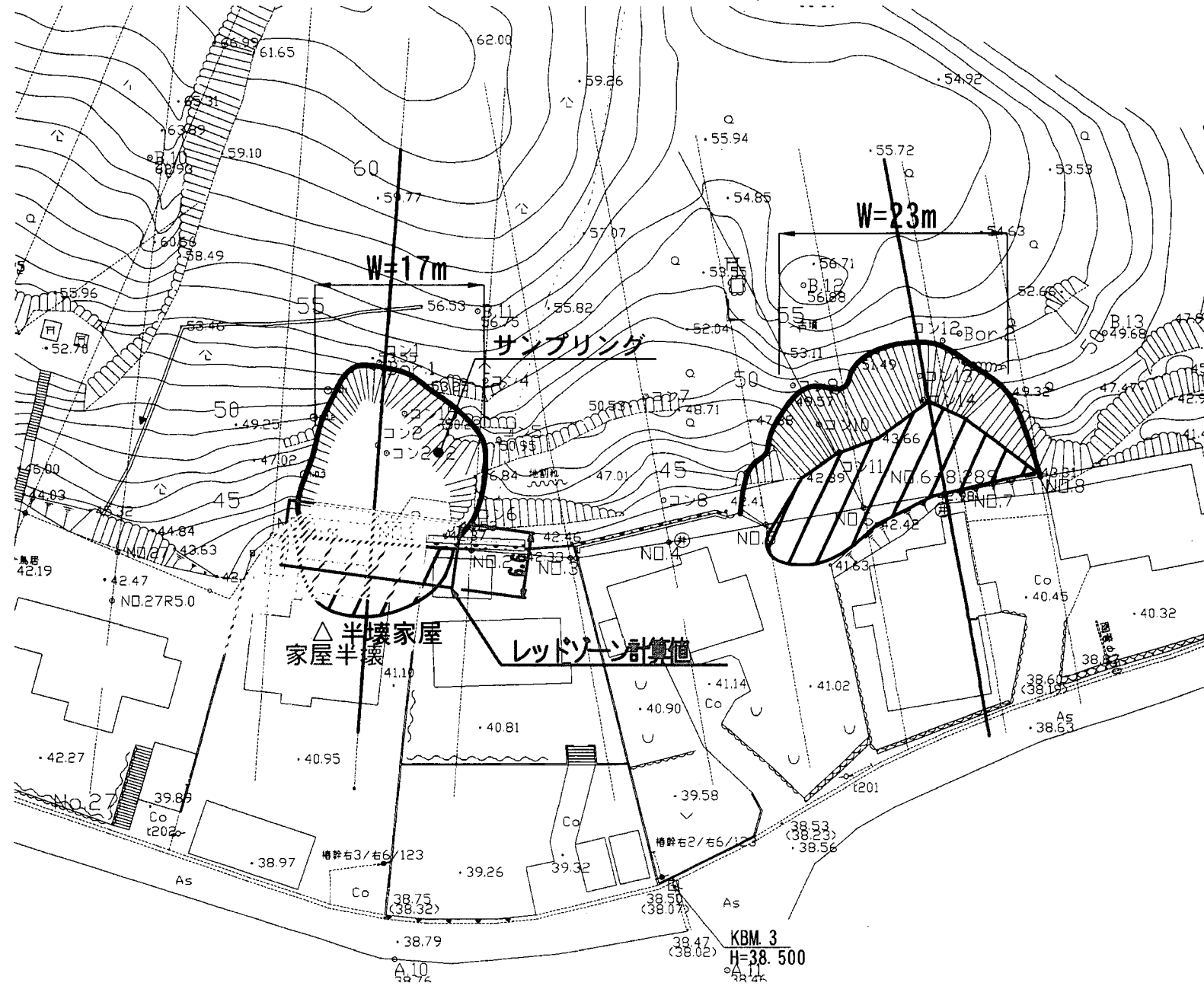
- 81 -



津原地区 ②

S=1:500

比較平面図  
ケース 2

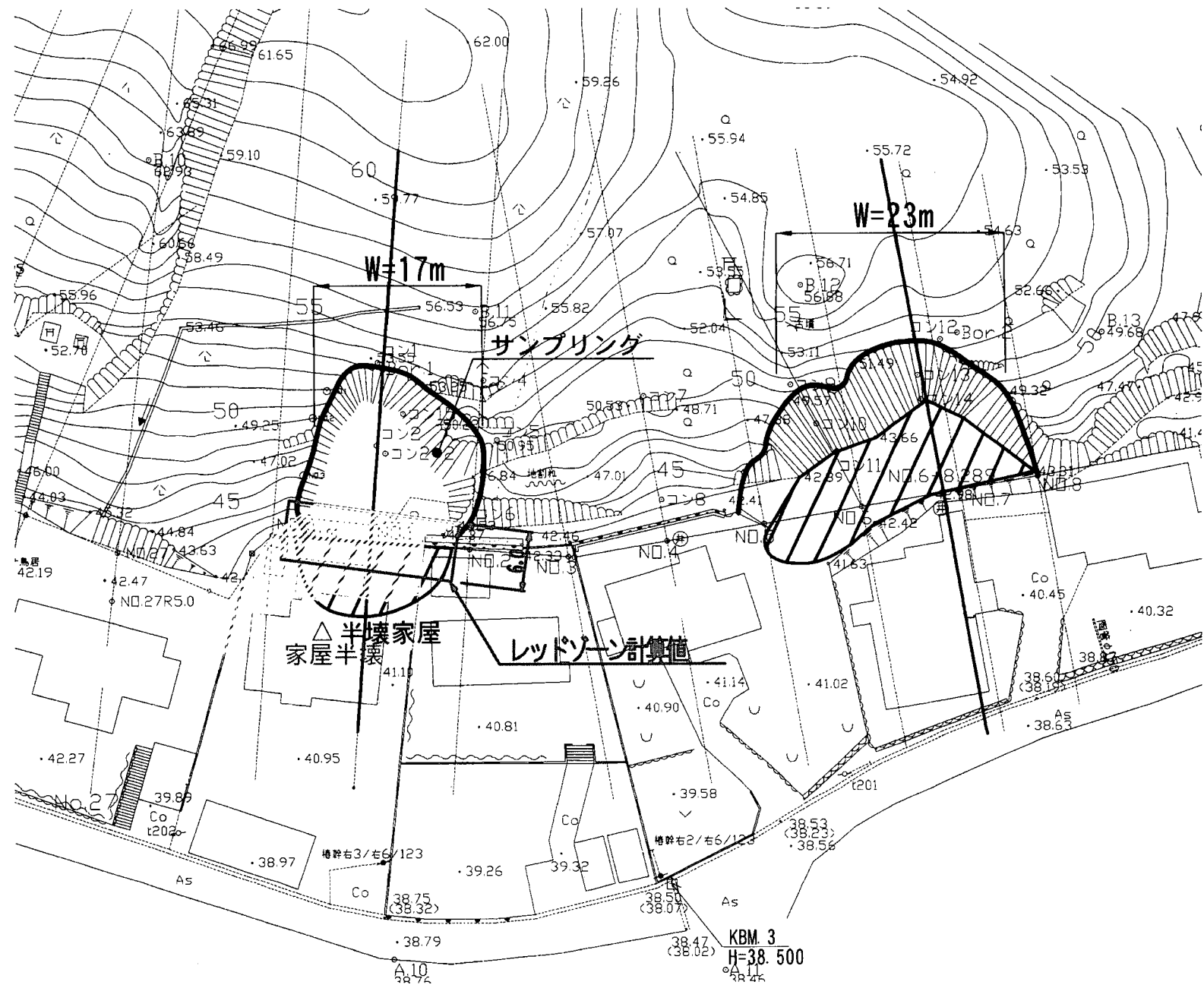


津原地区 ②

S=1:500

比較平面図  
ケース 3

- 83 -



## 小泊

### 1) 計算諸元一覧

| 項目         | 記号              | 単位               | ケース1  | ケース2  | ケース3  | 備考        |
|------------|-----------------|------------------|-------|-------|-------|-----------|
| 計算高さ       | H               | m                | 16.5  | 7.0   | 7.0   |           |
| 斜面勾配       | $\theta_u$      | °                | 43.0  | 43.0  | 43.0  |           |
| 土石等の密度     | $\rho_m$        | t/m <sup>3</sup> | 1.80  | 1.80  | 1.80  |           |
| 重力加速度      | g               | m/s <sup>2</sup> | 9.80  | 9.80  | 9.80  |           |
| 土石等の比重     | $\sigma$        | t/m <sup>3</sup> | 2.60  | 2.70  | 2.70  | 粒度・密度試験のみ |
| 土石等の容積濃度   | c               | —                | 0.50  | 0.50  | 0.50  |           |
| 土石等の流体抵抗係数 | f <sub>b</sub>  | —                | 0.025 | 0.025 | 0.025 |           |
| 土石等の内部摩擦角  | $\phi$          | °                | 30    | 30    | 30    |           |
| 移動の高さ      | h <sub>sm</sub> | m                | 1.00  | 0.60  | 0.60  |           |

\*斜字は実測値、その他の値はケース1で設定した値と同じ値とした。

### 2) 計算結果一覧

|                            | ケース1 | ケース2 | ケース3 |
|----------------------------|------|------|------|
| 家屋被災範囲<br>(レッドゾーン)<br>(m)  | 9.4  | 5.8  | 4.0  |
| 崩土到達範囲<br>(イエローノーン)<br>(m) | 33.0 | 33.0 | 14.0 |

|           |       | ケース1 | ケース2 | ケース3 | 備考 |
|-----------|-------|------|------|------|----|
| 被災家屋      | 区域内   | 1    | 1    | 1    |    |
|           | 区域外   | 0    | 0    | 0    |    |
| 無被災家屋     | 区域内   | 0    | 0    | 0    |    |
| 区域内家屋合計   |       | 1    | 1    | 1    |    |
| 崩壊土砂到達範囲内 | 被災家屋  | 区域内  | 1    | 1    |    |
|           |       | 区域外  | 0    | 0    |    |
|           | 無被災家屋 | 区域内  | 0    | 0    |    |
|           |       | 区域外  | 0    | 0    |    |
|           | 合計    | 1    | 1    | 1    |    |

小泊  
S=1:100

比較断面図

レッドゾーン 計算値  
移動力 9.4

ケース ①

移動力 5.8

ケース ②

移動力 4.0

ケース ③

崩壊前地表面  
推定

崩壊後地表面

堆積崩土

家屋壁破損

被災範囲  
1.0

斜面下端

30°

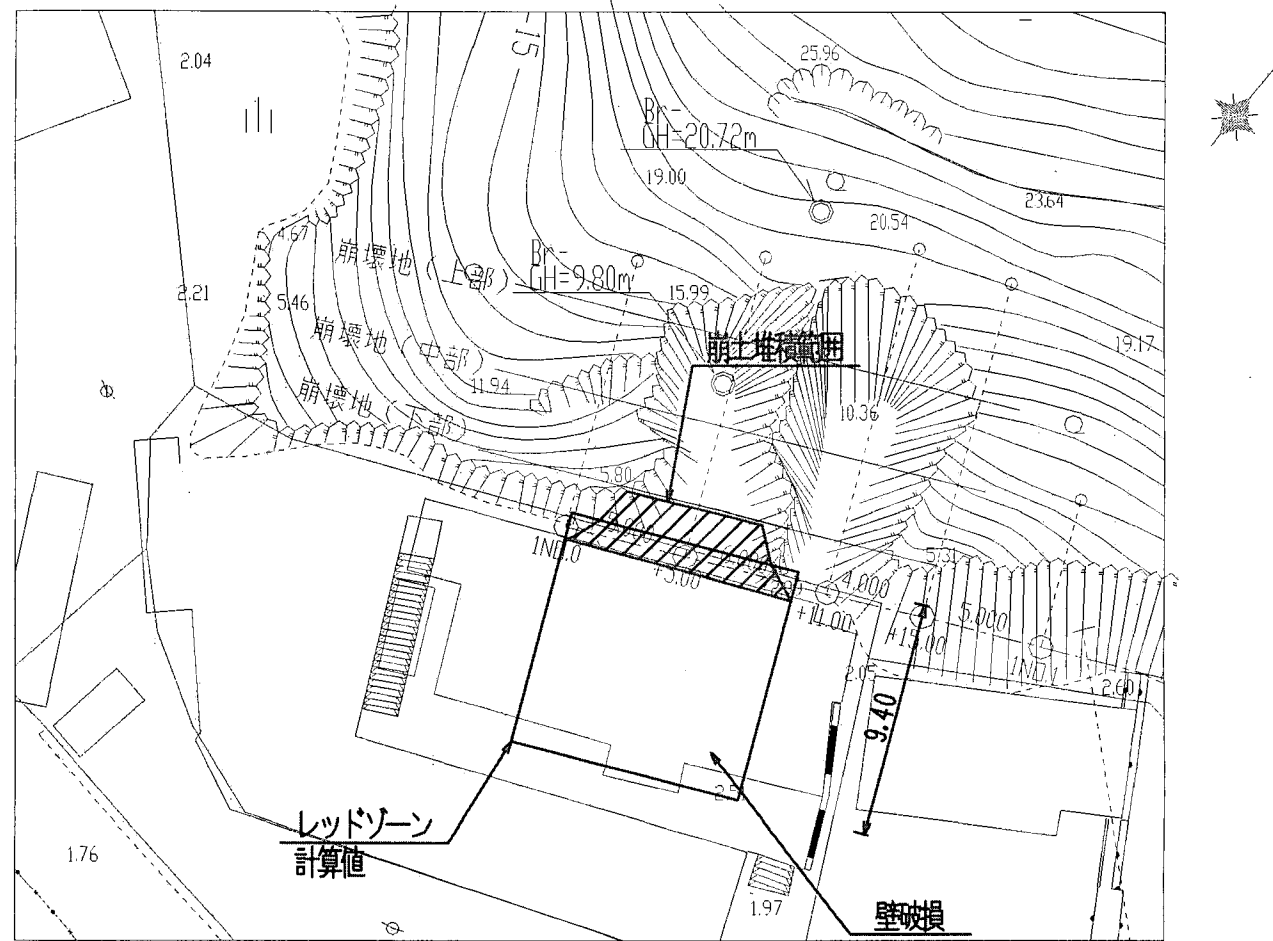
斜面上端  
推定

見通し角度

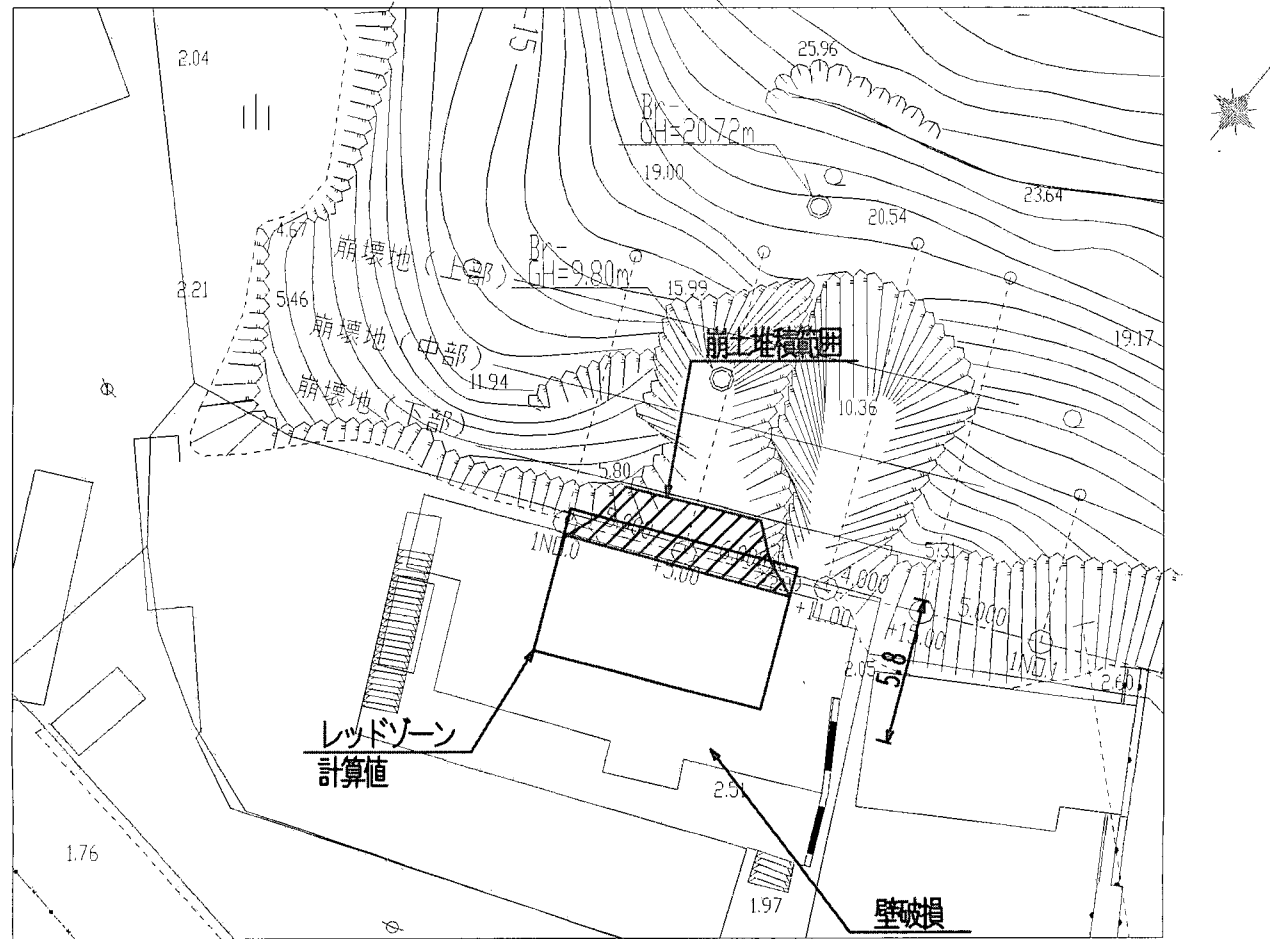
5.00m

斜面 H=16.5  
壁面 H=7.0

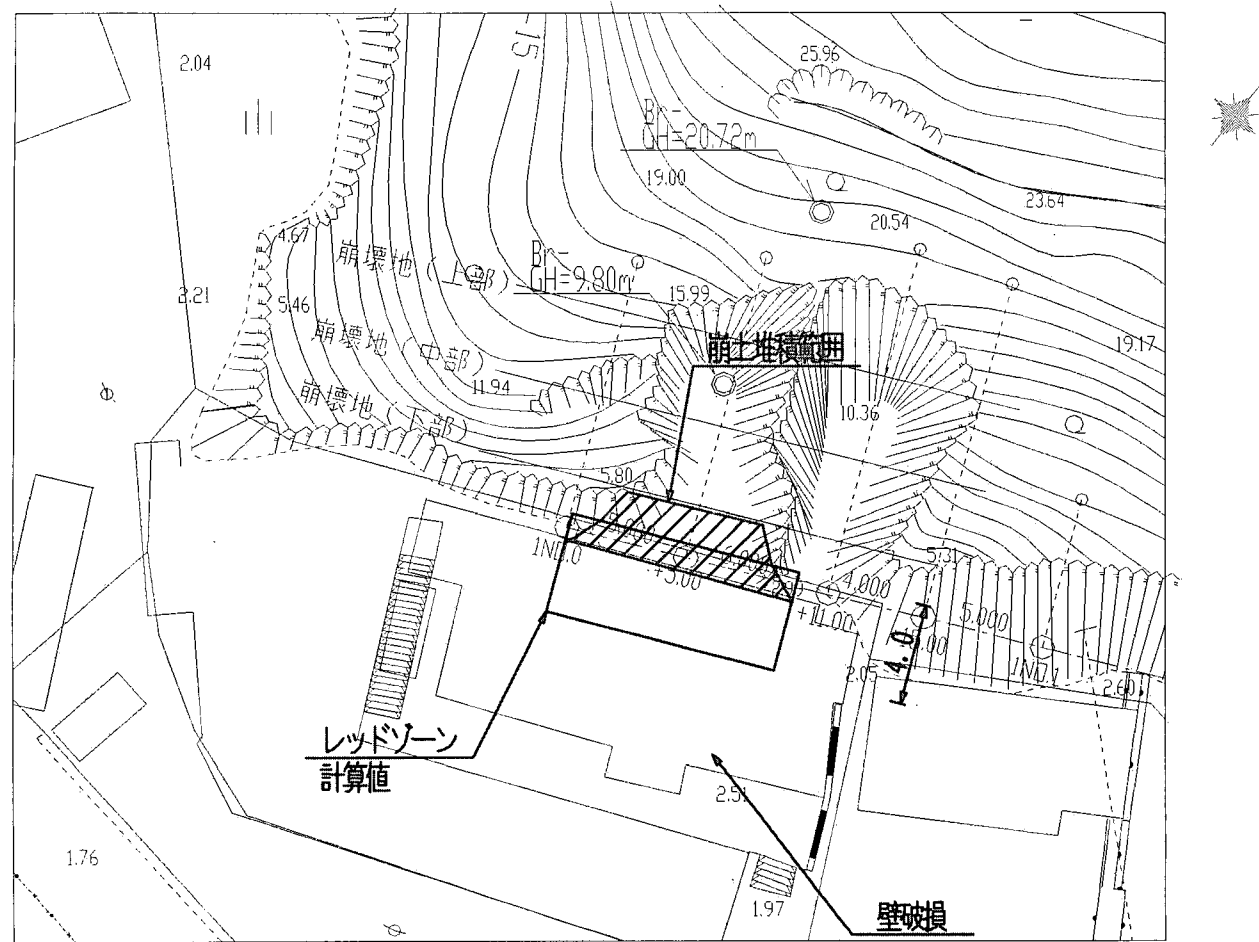
## 小泊 比較平面図



## 小泊 比較平面図



小泊  
ケース③  
比較平面図



## 鰐取

### 1) 計算諸元一覧

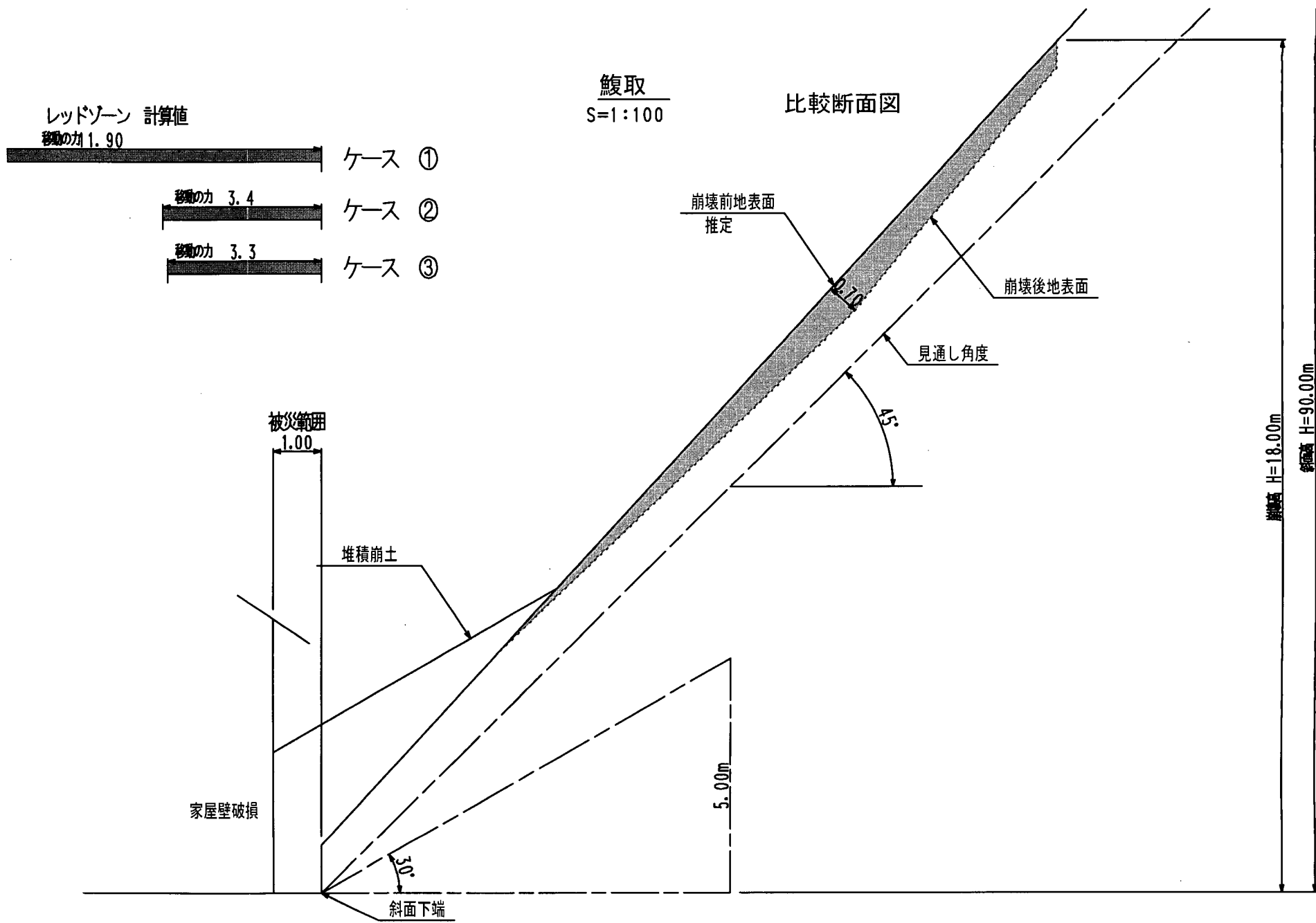
| 項目         | 記号              | 単位               | ケース1  | ケース2  | ケース3  | 備考     |
|------------|-----------------|------------------|-------|-------|-------|--------|
| 計算高さ       | H               | m                | 90.0  | 90.0  | 18.0  |        |
| 斜面勾配       | $\theta_u$      | °                | 45.0  | 45.0  | 45.0  |        |
| 土石等の密度     | $\rho_m$        | t/m <sup>3</sup> | 1.80  | 1.80  | 1.80  | 土質試験なし |
| 重力加速度      | g               | m/s <sup>2</sup> | 9.80  | 9.80  | 9.80  |        |
| 土石等の比重     | $\sigma$        | t/m <sup>3</sup> | 2.60  | 2.60  | 2.60  |        |
| 土石等の容積濃度   | c               | —                | 0.50  | 0.50  | 0.50  |        |
| 土石等の流体抵抗係数 | f <sub>b</sub>  | —                | 0.025 | 0.025 | 0.025 |        |
| 土石等の内部摩擦角  | $\phi$          | °                | 30    | 30    | 30    |        |
| 移動の高さ      | h <sub>sm</sub> | m                | 1.00  | 0.40  | 0.40  |        |

\*斜字は実測値、その他の値はケース1で設定した値と同じ値とした。

### 2) 計算結果一覧

|                            | ケース1 | ケース2 | ケース3 |
|----------------------------|------|------|------|
| 家屋被災範囲<br>(レッドゾーン)<br>(m)  | 11.9 | 3.4  | 3.3  |
| 崩土到達範囲<br>(イエローゾーン)<br>(m) | 50.0 | 50.0 | 36.0 |

|           |       | ケース1 | ケース2 | ケース3 | 備考    |
|-----------|-------|------|------|------|-------|
| 被災家屋      | 区域内   | 1    | 1    | 1    | 平面図なし |
|           | 区域外   | 0    | 0    | 0    |       |
| 無被災家屋     |       | 0    | 0    | 0    |       |
| 区域内家屋合計   |       | 1    | 1    | 1    |       |
| 崩壊土砂到達範囲内 | 被災家屋  | 区域内  | 1    | 1    |       |
|           |       | 区域外  | 0    | 0    |       |
|           | 無被災家屋 | 区域内  | 0    | 0    |       |
|           | 区域外   | 0    | 0    | 0    |       |
| 合計        |       | 1    | 1    | 1    |       |



## 梅垣

### 1) 計算諸元一覧

| 項目         | 記号              | 単位               | ケース1  | ケース2  | ケース3  | 備考           |
|------------|-----------------|------------------|-------|-------|-------|--------------|
| 計算高さ       | H               | m                | 28.0  | 28.0  | 21.0  |              |
| 斜面勾配       | $\theta_u$      | °                | 34.0  | 34.0  | 34.0  |              |
| 土石等の密度     | $\rho_m$        | t/m <sup>3</sup> | 1.80  | 1.36  | 1.36  | 三軸圧縮試験(CD)あり |
| 重力加速度      | g               | m/s <sup>2</sup> | 9.80  | 9.80  | 9.80  |              |
| 土石等の比重     | $\sigma$        | t/m <sup>3</sup> | 2.60  | 2.56  | 2.56  | 三軸圧縮試験(CD)あり |
| 土石等の容積濃度   | c               | —                | 0.50  | 0.50  | 0.50  |              |
| 土石等の流体抵抗係数 | f <sub>b</sub>  | —                | 0.025 | 0.025 | 0.025 |              |
| 土石等の内部摩擦角  | $\phi$          | °                | 30    | 35    | 35    | 三軸圧縮試験(CD)あり |
| 移動の高さ      | h <sub>sm</sub> | m                | 1.00  | 0.70  | 0.70  |              |

\*斜字は実測値、その他の値はケース1で設定した値と同じ値とした。

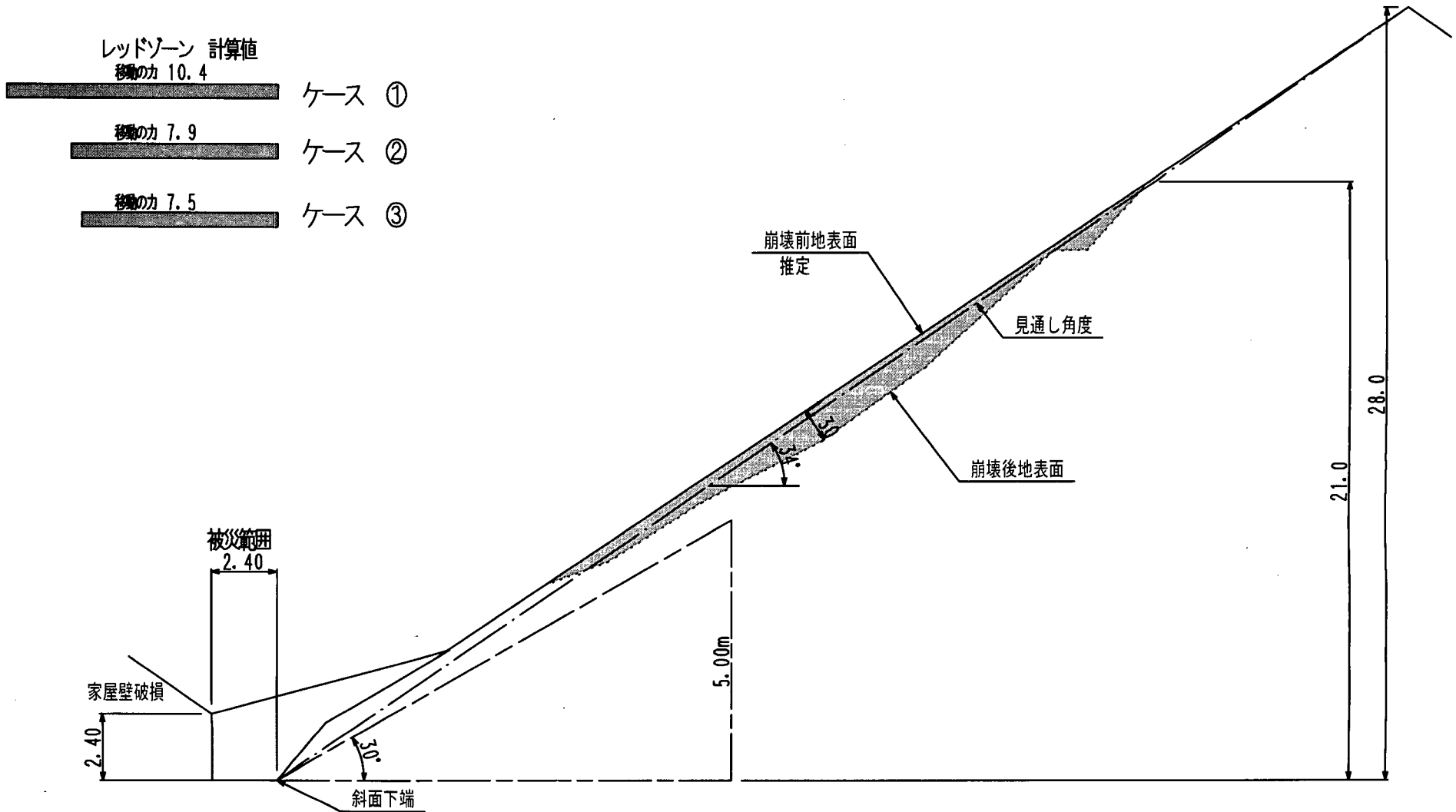
### 2) 計算結果一覧

|                            | ケース1 | ケース2 | ケース3 |
|----------------------------|------|------|------|
| 家屋被災範囲<br>(レッドゾーン)<br>(m)  | 10.4 | 7.9  | 7.5  |
| 崩土到達範囲<br>(イエローゾーン)<br>(m) | 50.0 | 50.0 | 42.0 |

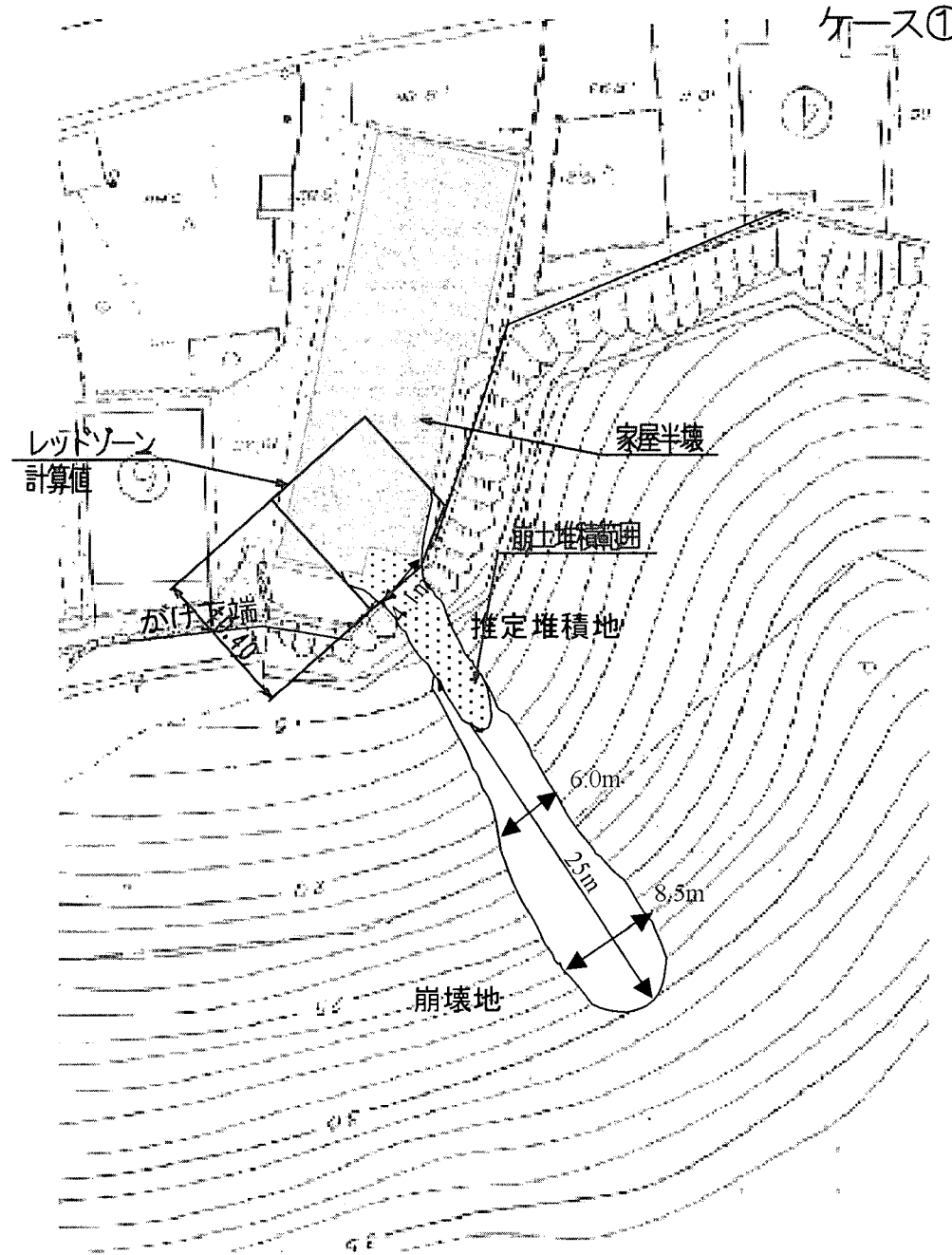
|           |         | ケース1 | ケース2 | ケース3 | 備考 |
|-----------|---------|------|------|------|----|
| 被災家屋      | 区域内     | 1    | 1    | 1    |    |
|           | 区域外     | 0    | 0    | 0    |    |
| 無被災家屋     | 区域内     | 0    | 0    | 0    |    |
|           | 区域内家屋合計 | 1    | 1    | 1    |    |
| 崩壊土砂到達範囲内 | 被災家屋    | 区域内  | 1    | 1    | 1  |
|           |         | 区域外  | 0    | 0    | 0  |
|           | 無被災家屋   | 区域内  | 0    | 0    | 0  |
|           |         | 区域外  | 0    | 0    | 0  |
|           | 合計      | 1    | 1    | 1    |    |

梅垣  
S=1:200

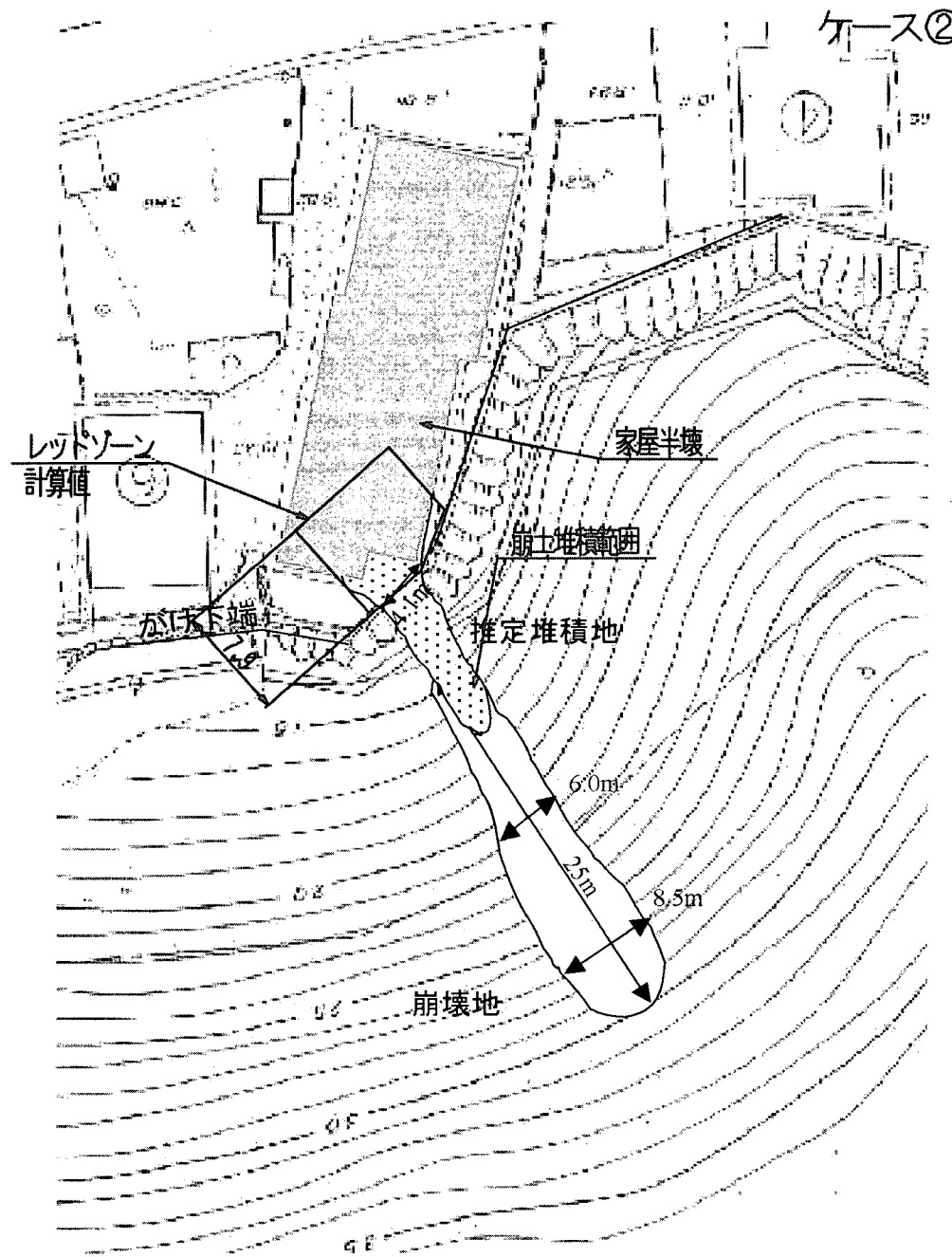
比較断面図



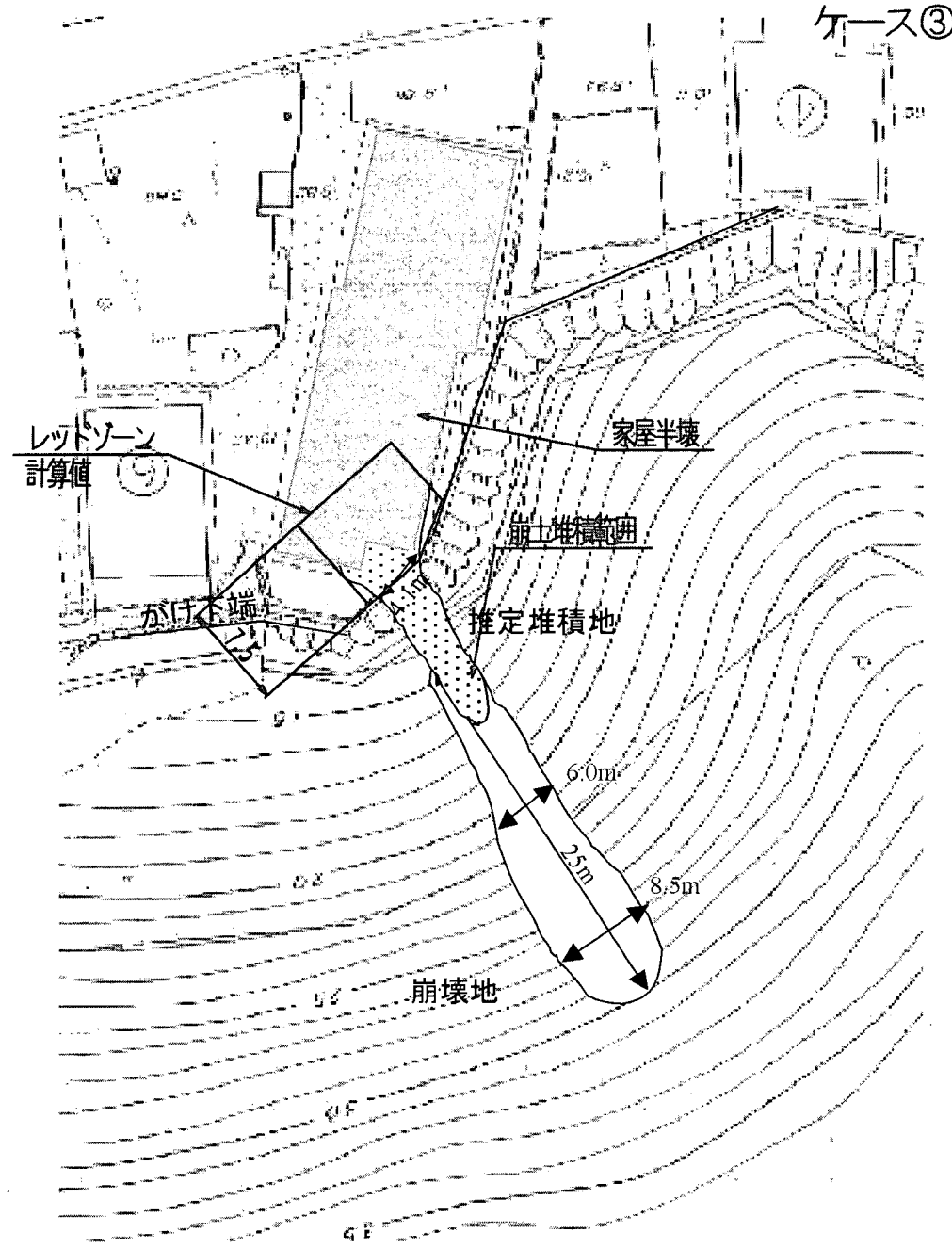
梅垣  
比較平面図



梅垣  
比較平面図



梅垣  
比較平面図



-----  
国土技術政策総合研究所資料  
TECHNICAL NOTE of N I L I M  
No. 225 January 2005

編集・発行 ©国土技術政策総合研究所

-----  
本資料の転載・複写の問い合わせは  
〒305-0804 茨城県つくば市旭1番地  
企画部研究評価・推進課 TEL 029-864-2675

